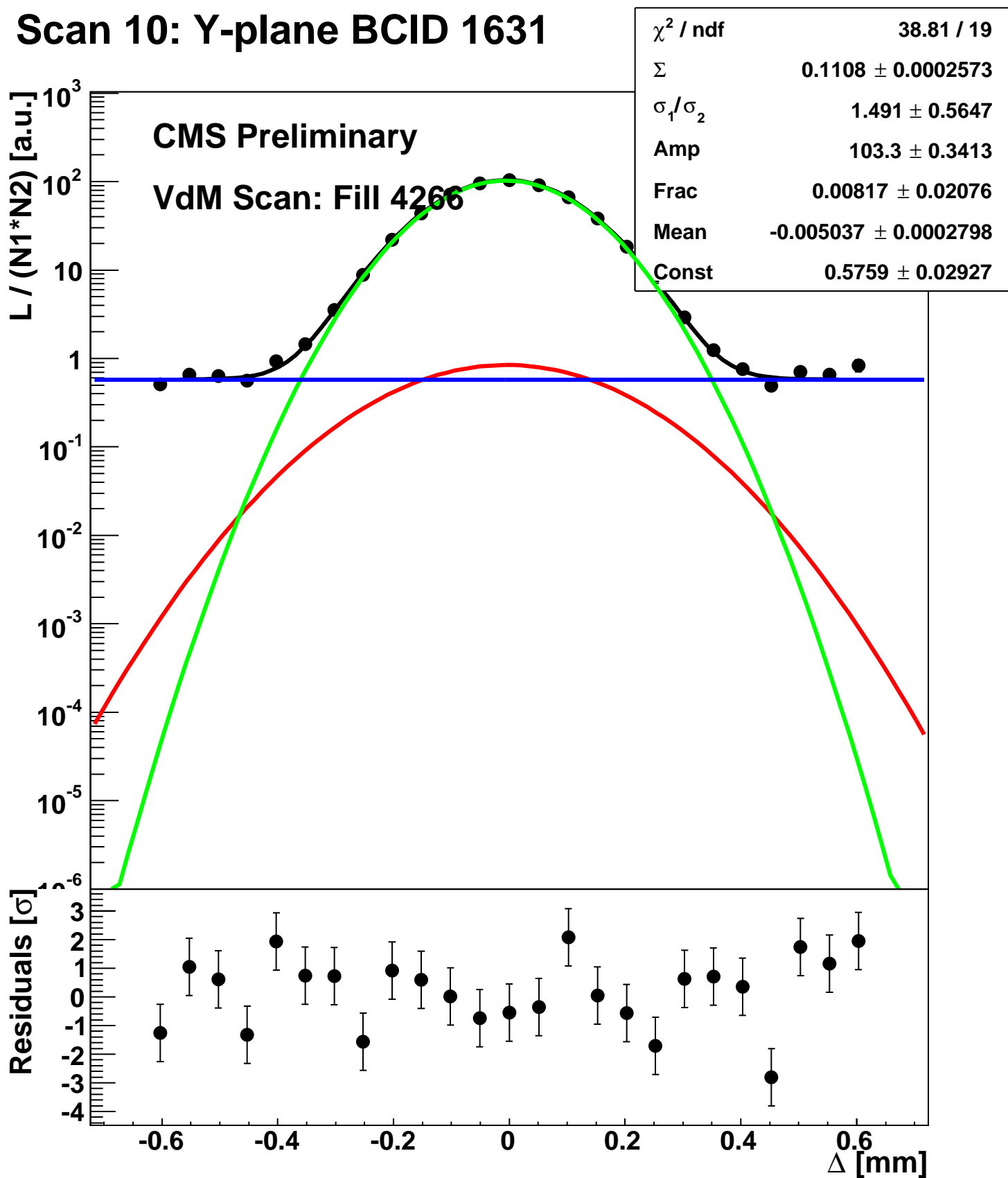
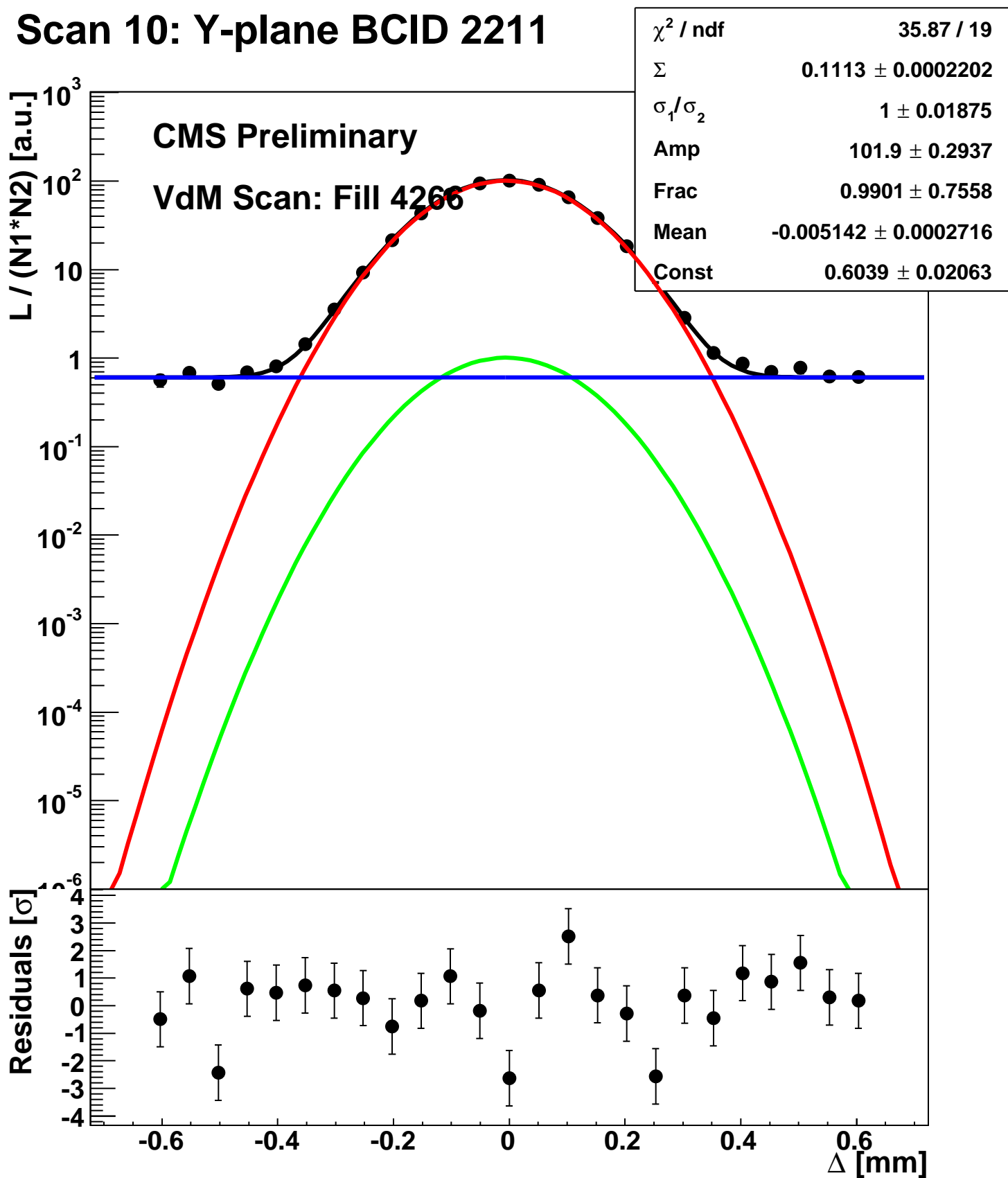


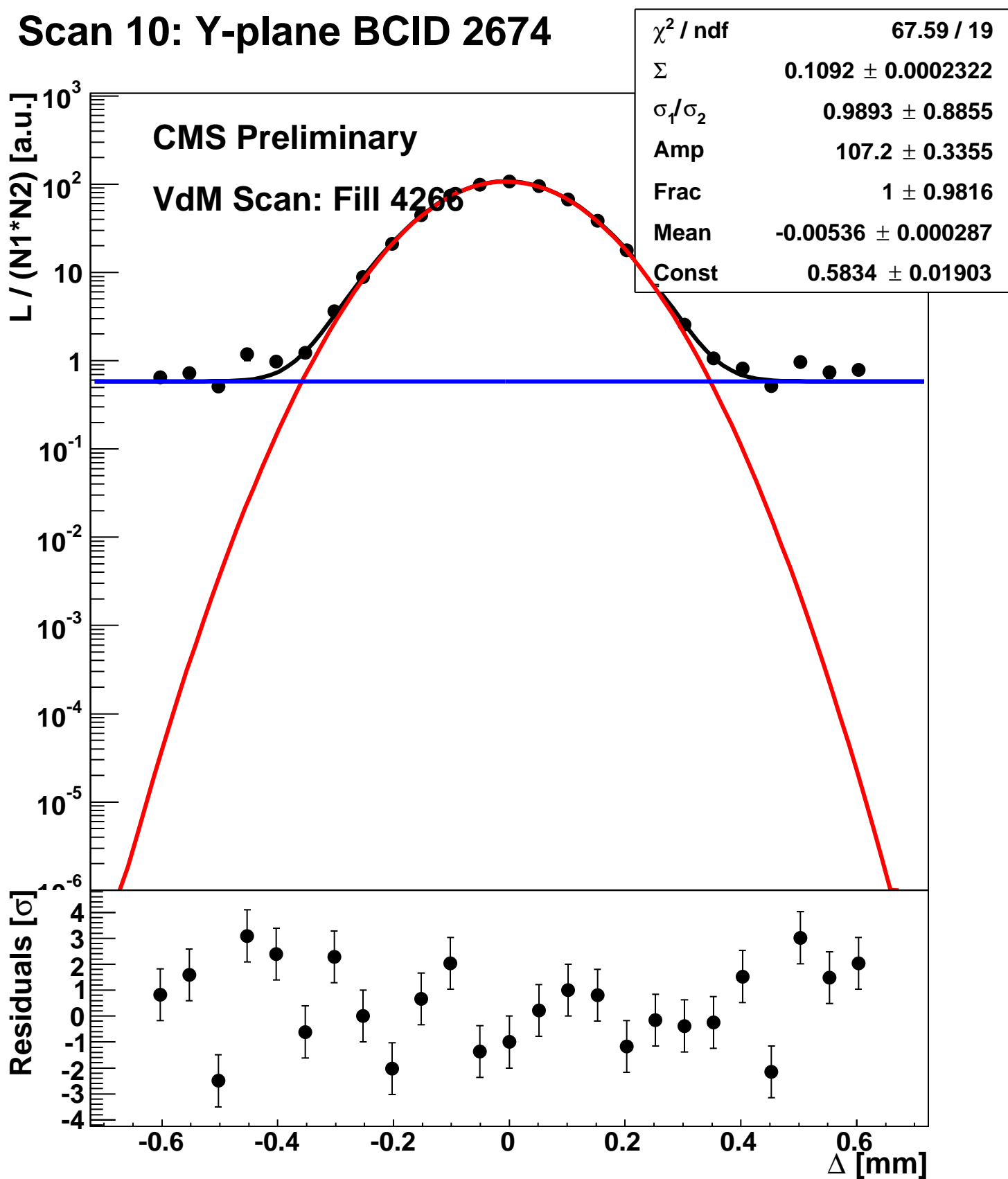
Scan 10: Y-plane BCID 1631



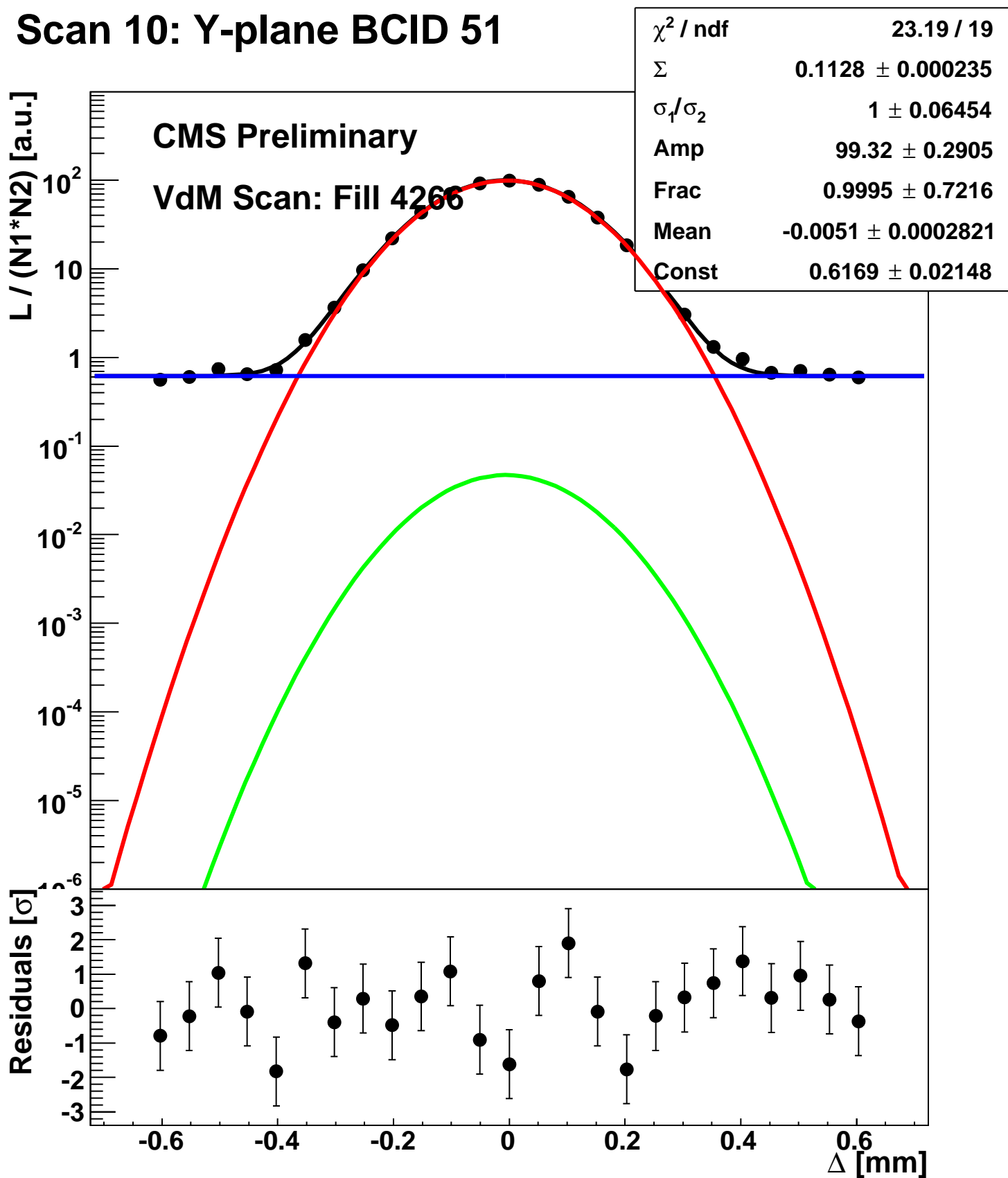
Scan 10: Y-plane BCID 2211



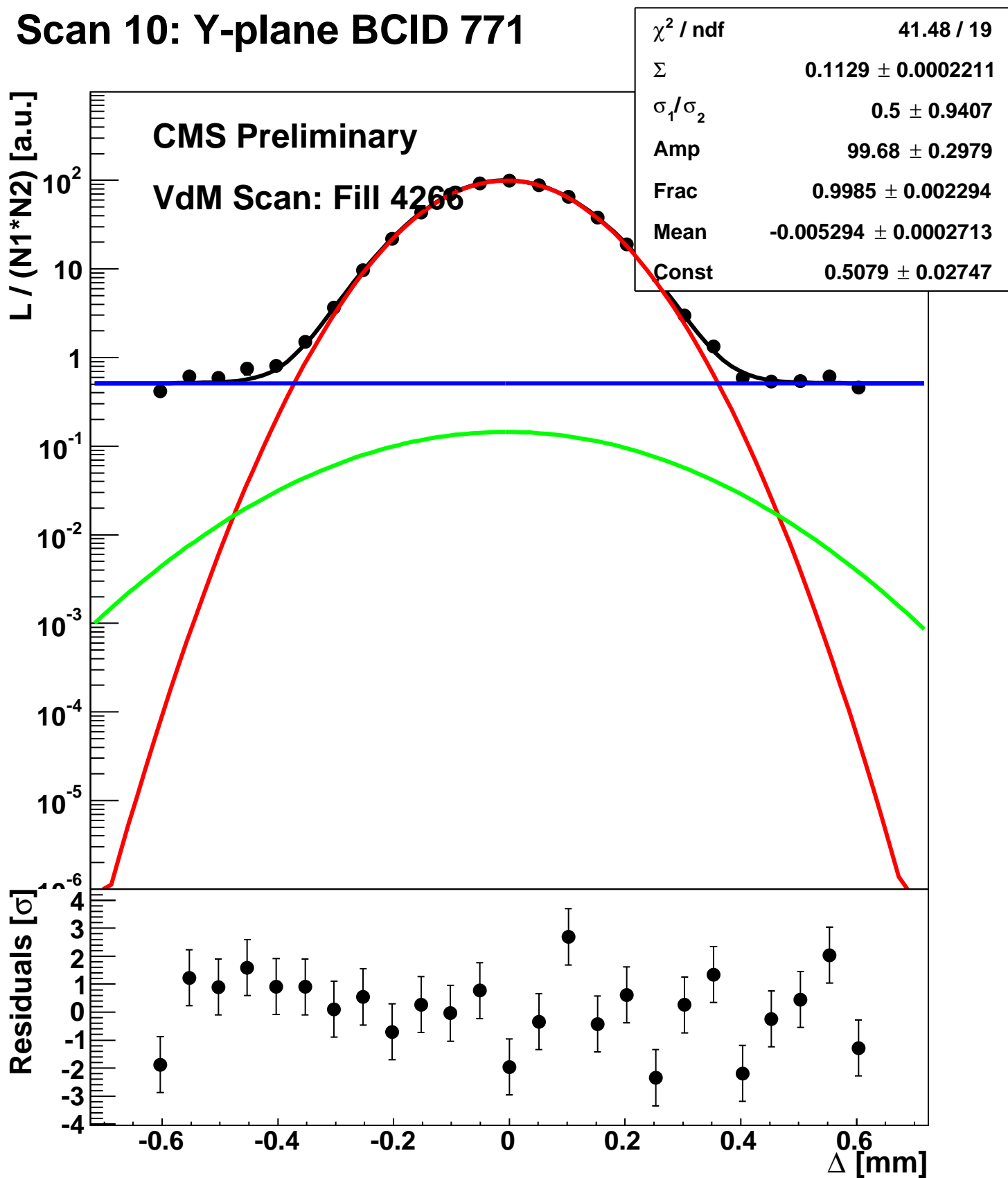
Scan 10: Y-plane BCID 2674



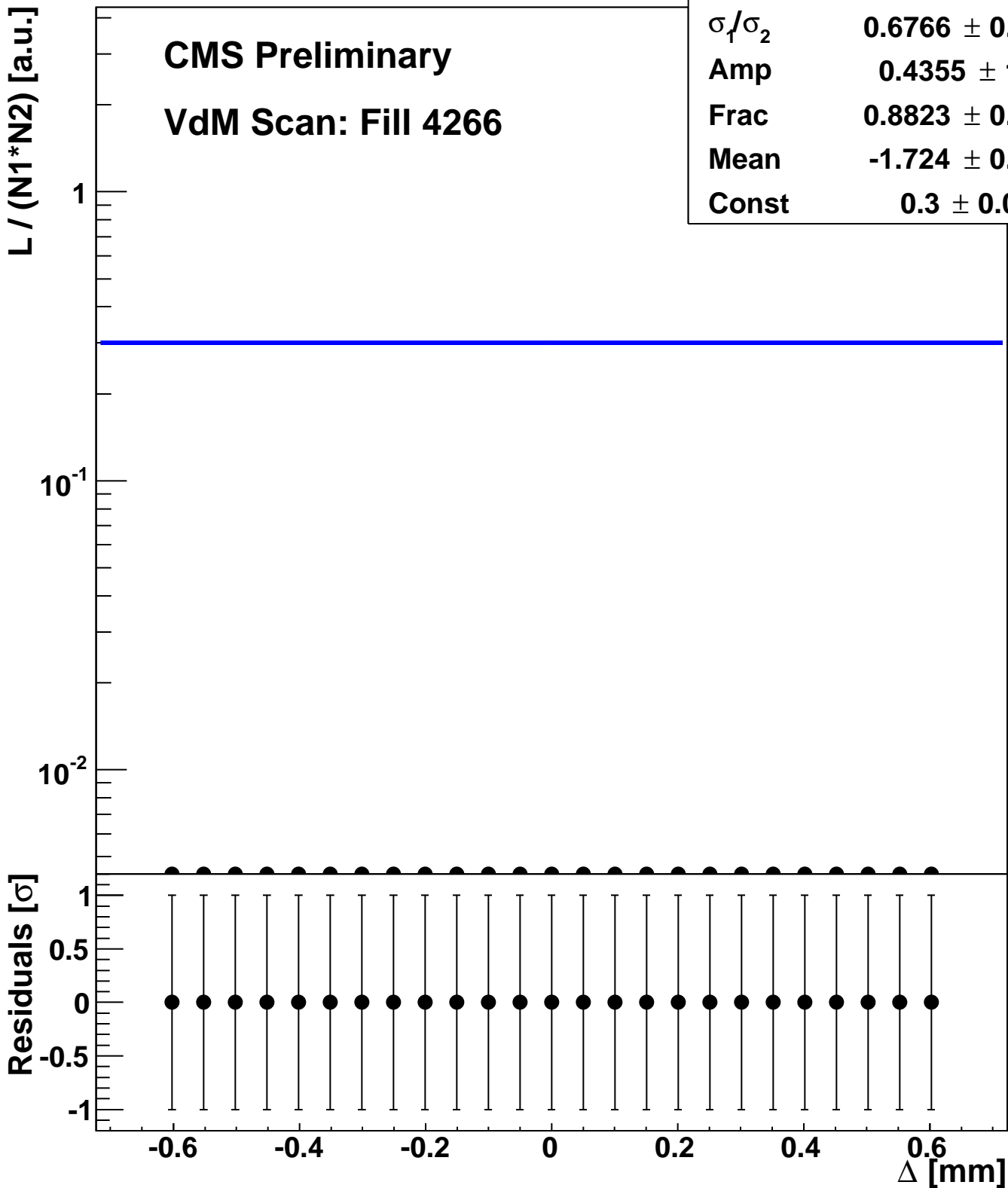
Scan 10: Y-plane BCID 51



Scan 10: Y-plane BCID 771

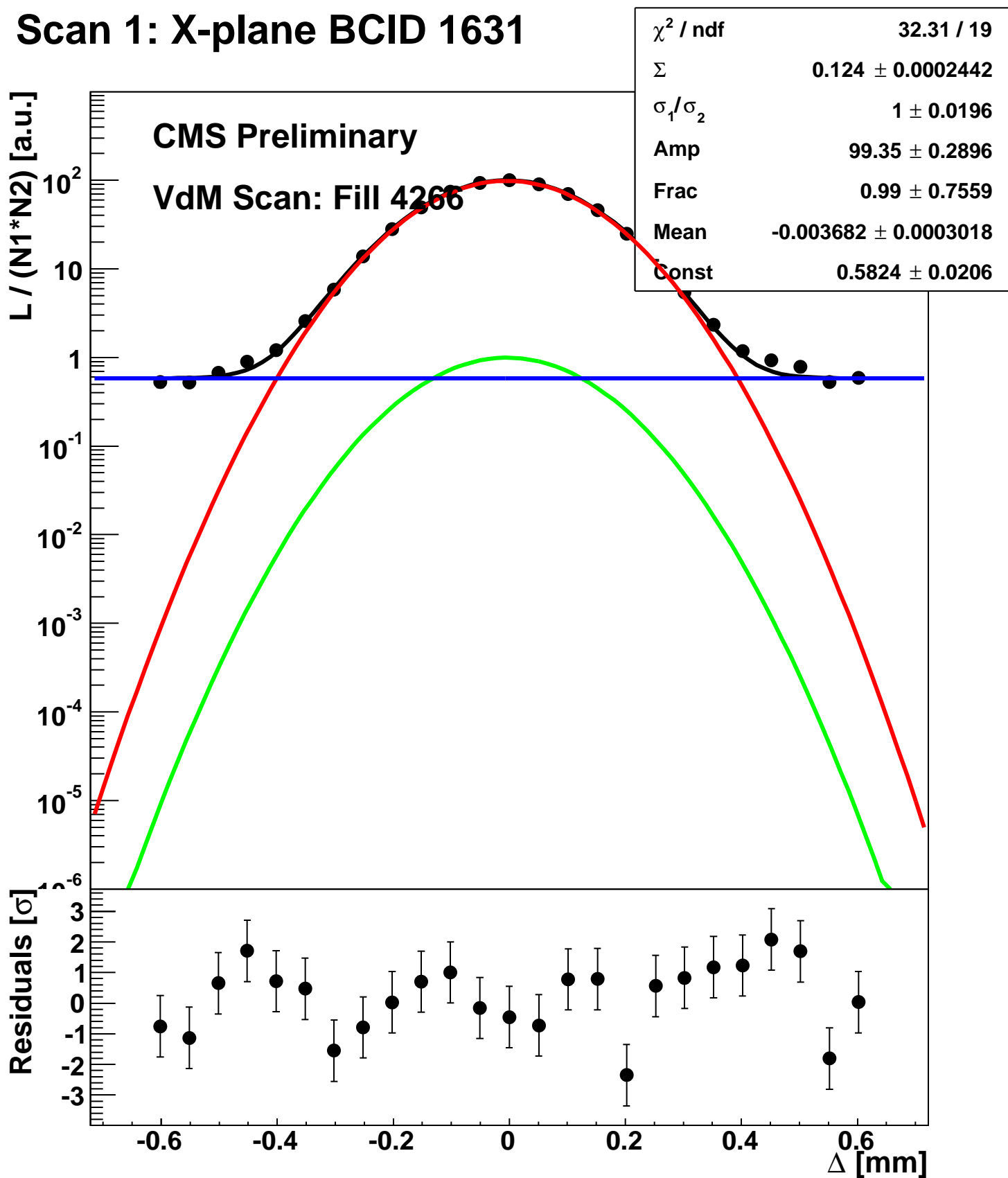


Scan 10: Y-plane BCID sum

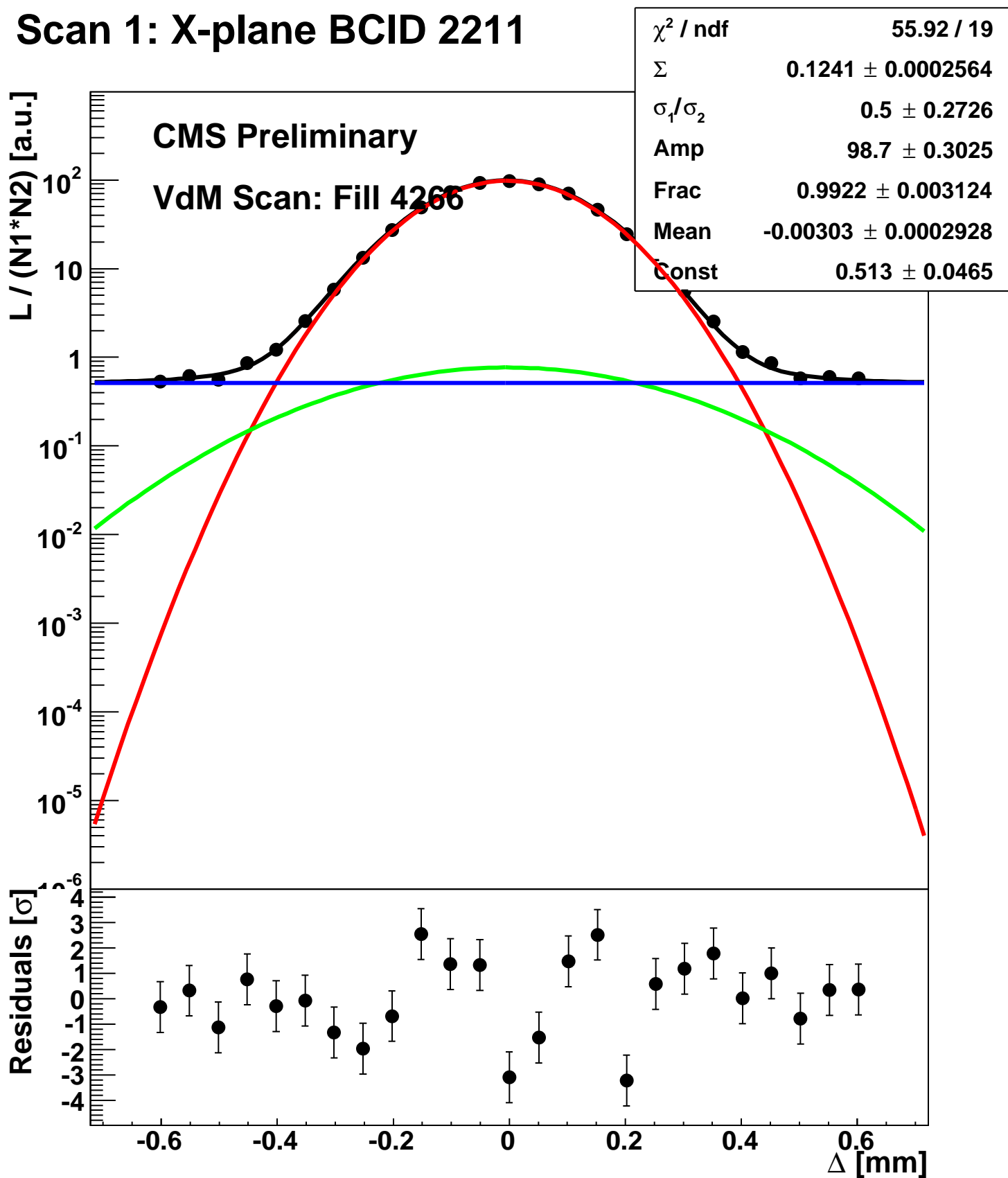


χ^2 / ndf	2.25 / 19
Σ	0.05129 ± 1.041
σ_1 / σ_2	0.6766 ± 0.0559
Amp	0.4355 ± 1.083
Frac	0.8823 ± 0.2824
Mean	-1.724 ± 0.4867
Const	0.3 ± 0.02231

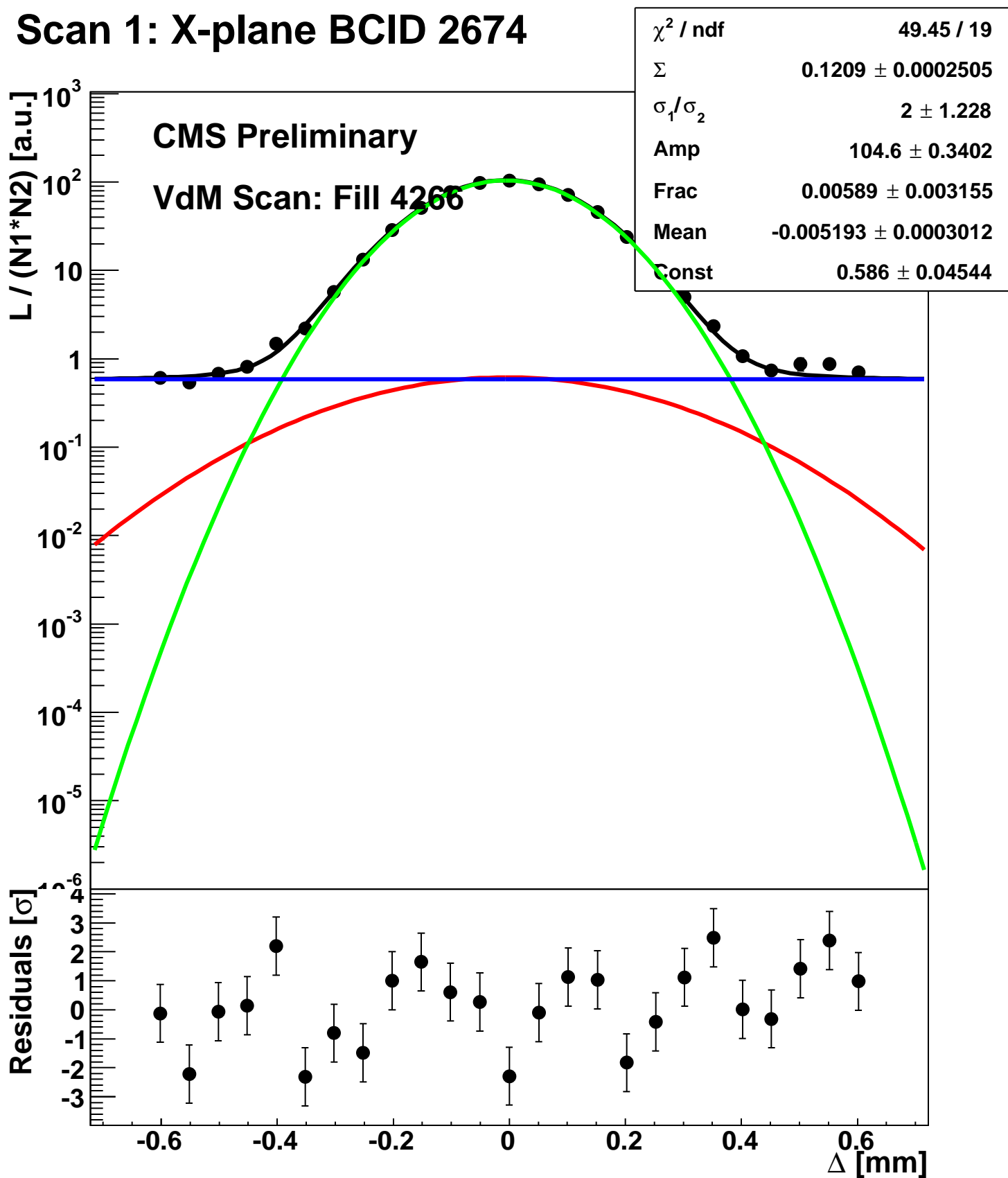
Scan 1: X-plane BCID 1631



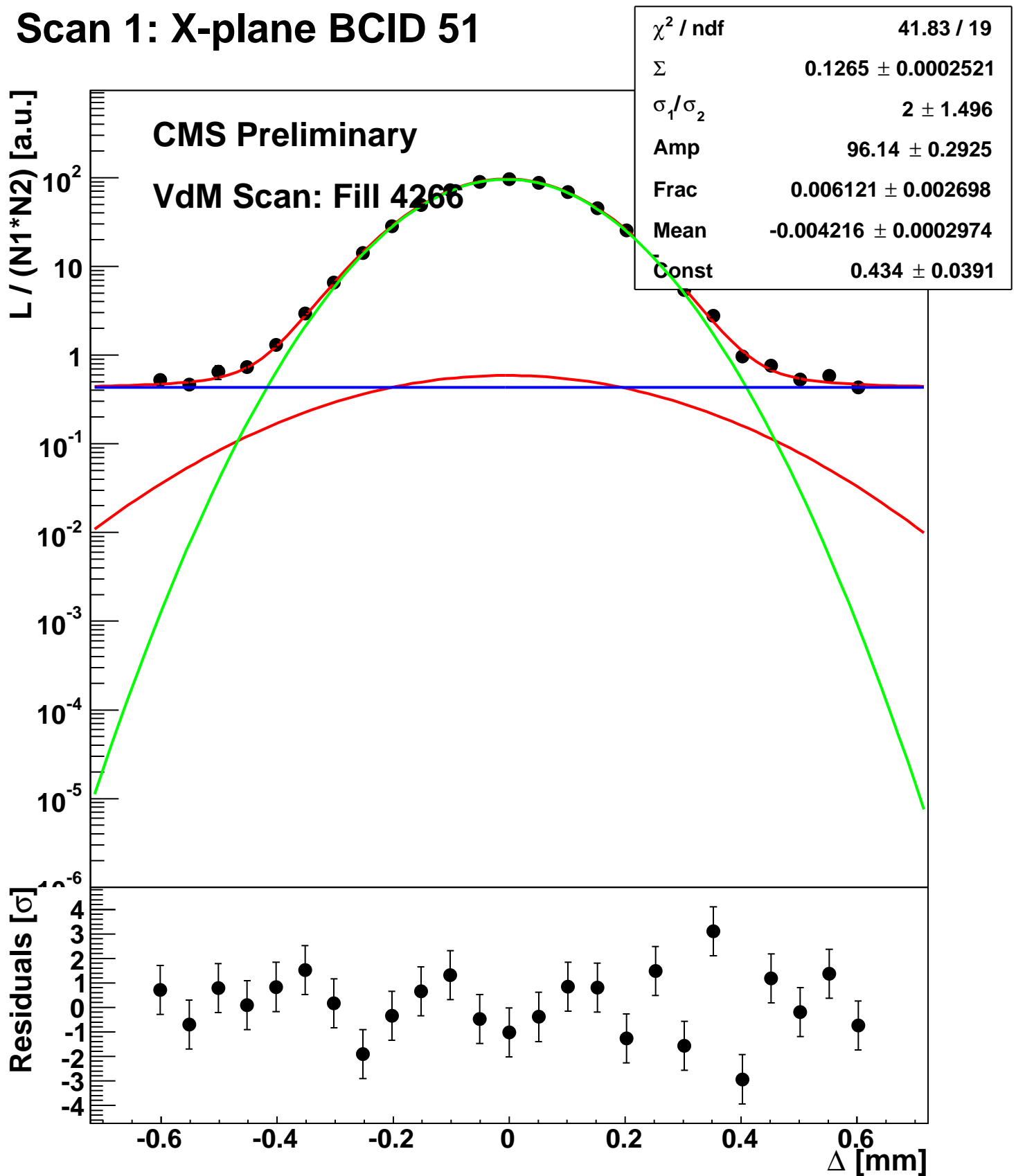
Scan 1: X-plane BCID 2211



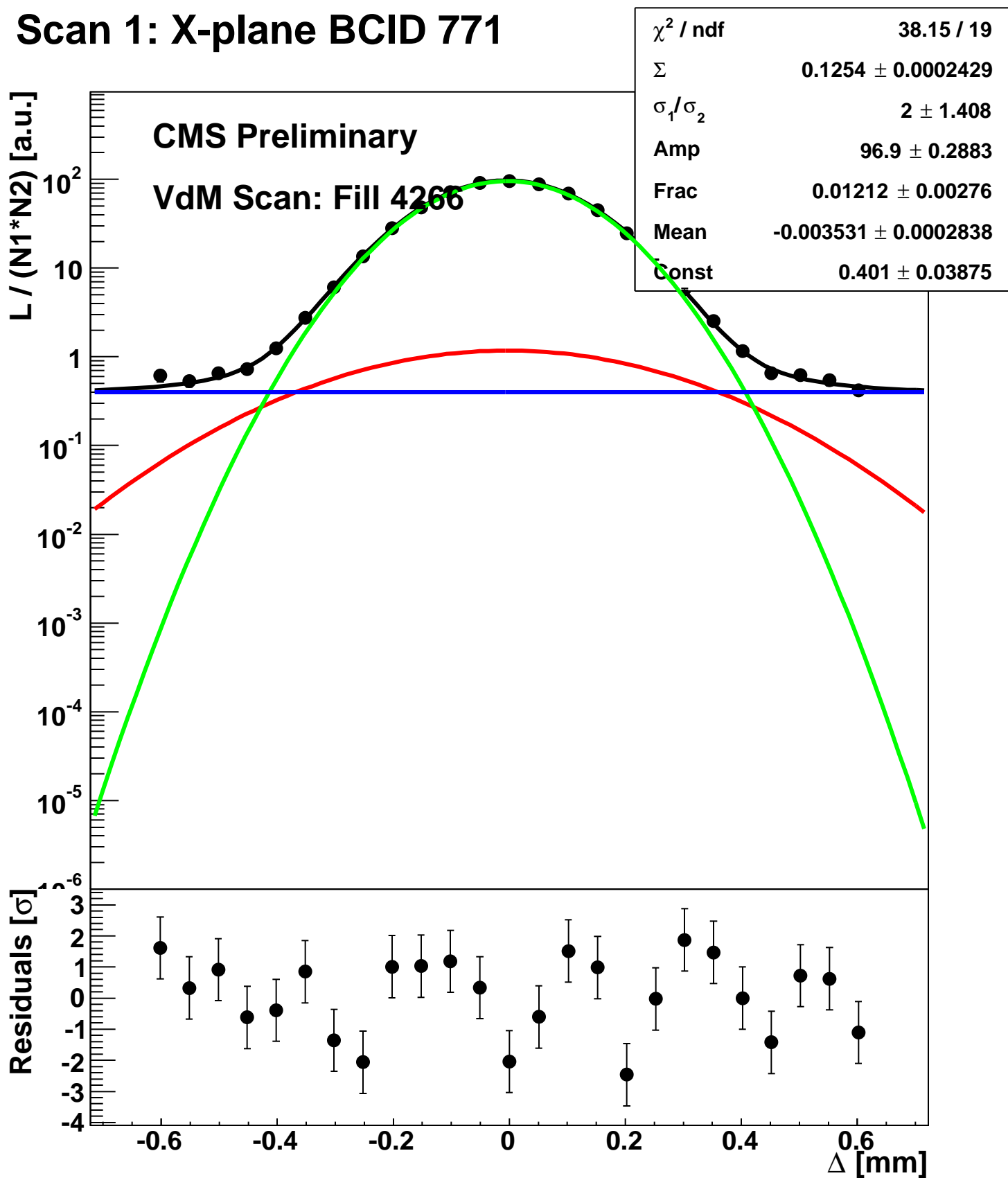
Scan 1: X-plane BCID 2674



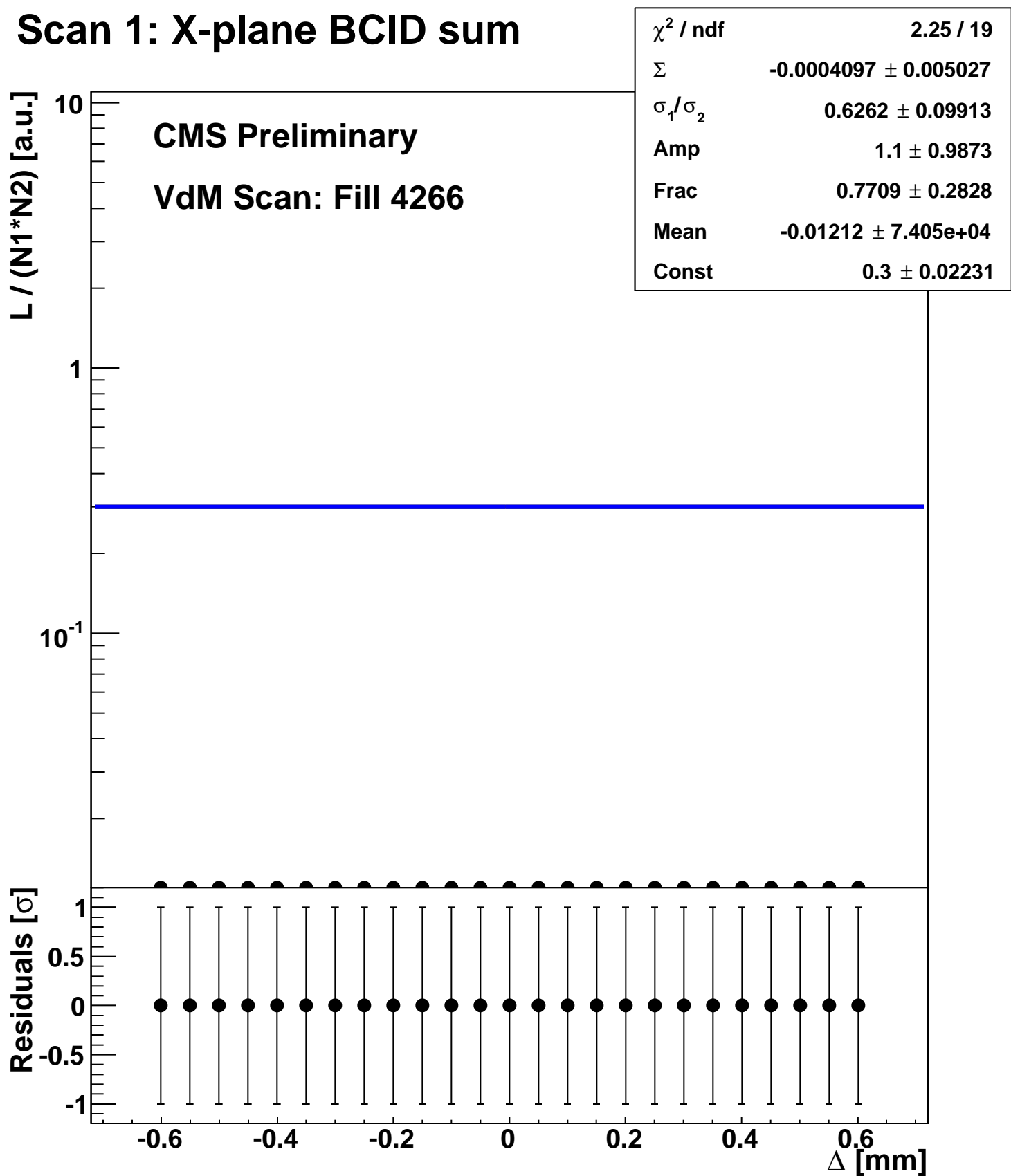
Scan 1: X-plane BCID 51



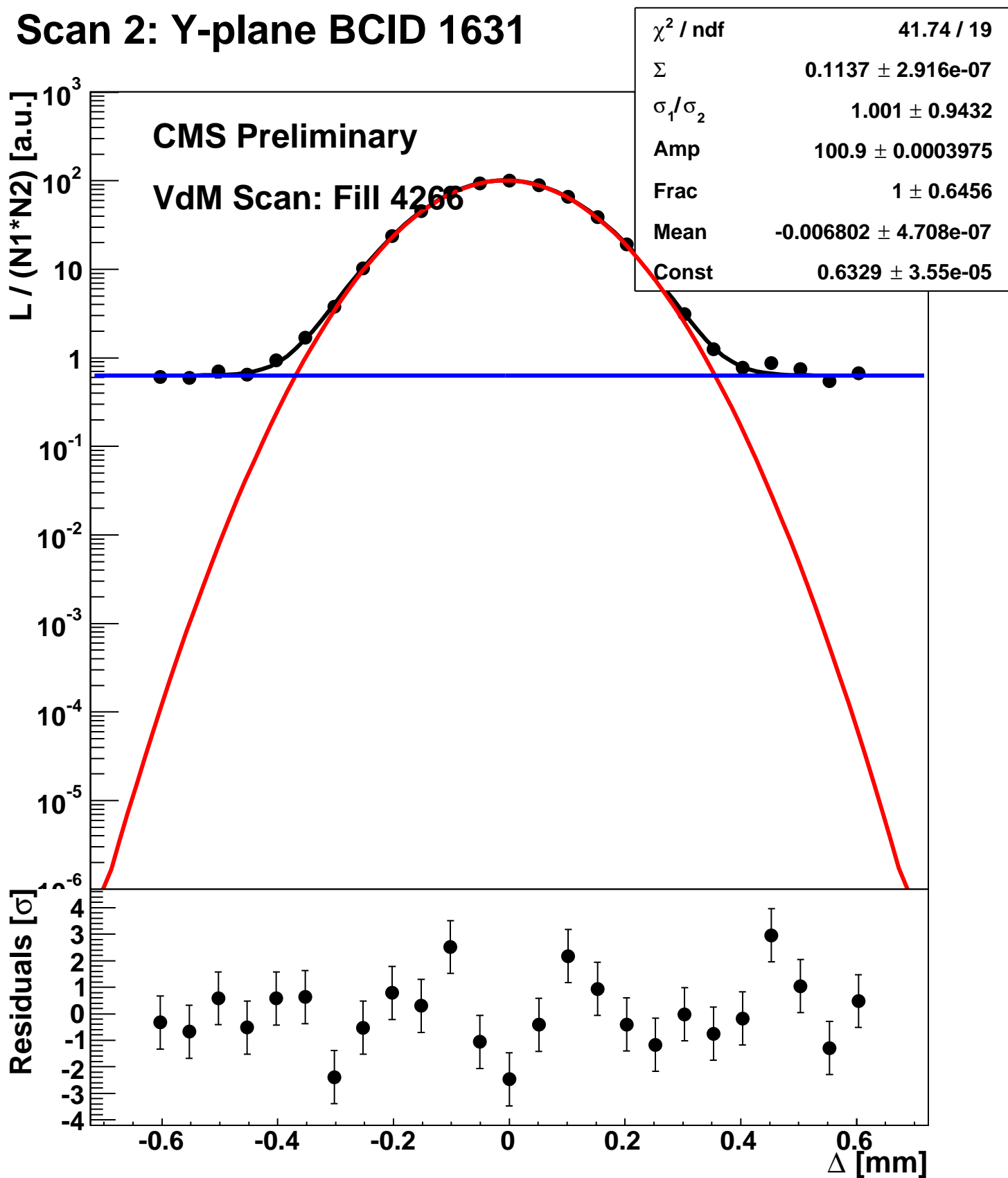
Scan 1: X-plane BCID 771



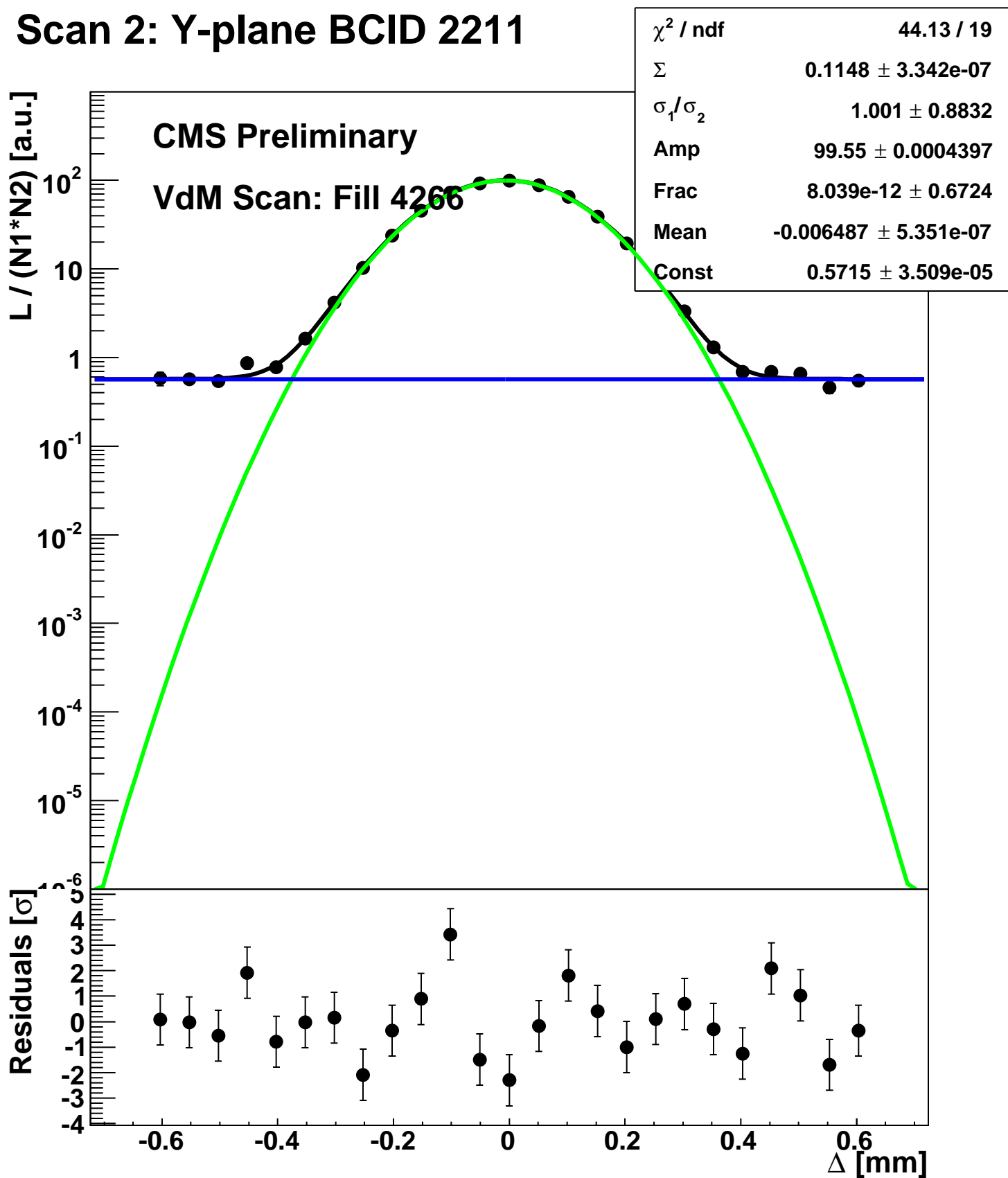
Scan 1: X-plane BCID sum



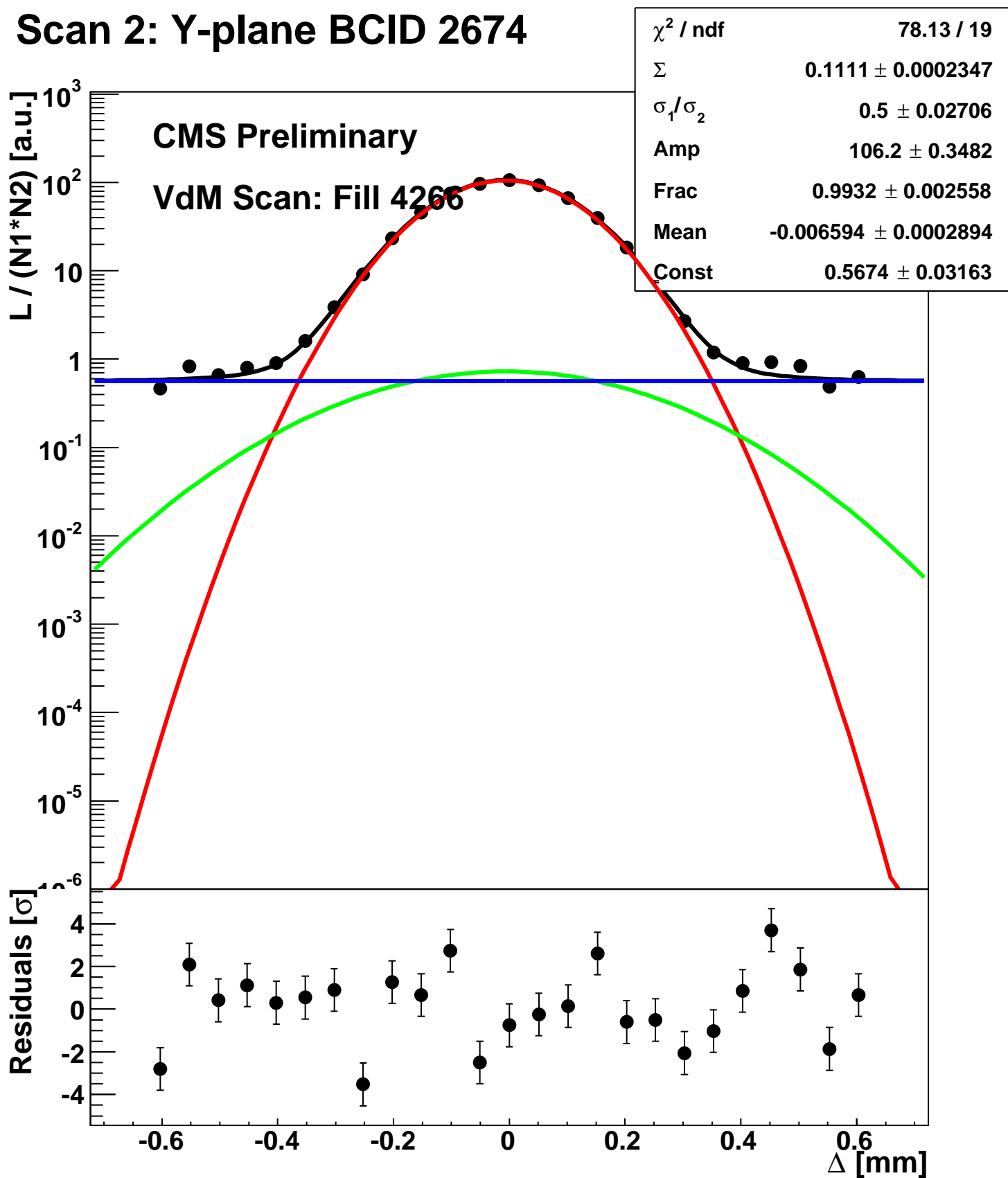
Scan 2: Y-plane BCID 1631



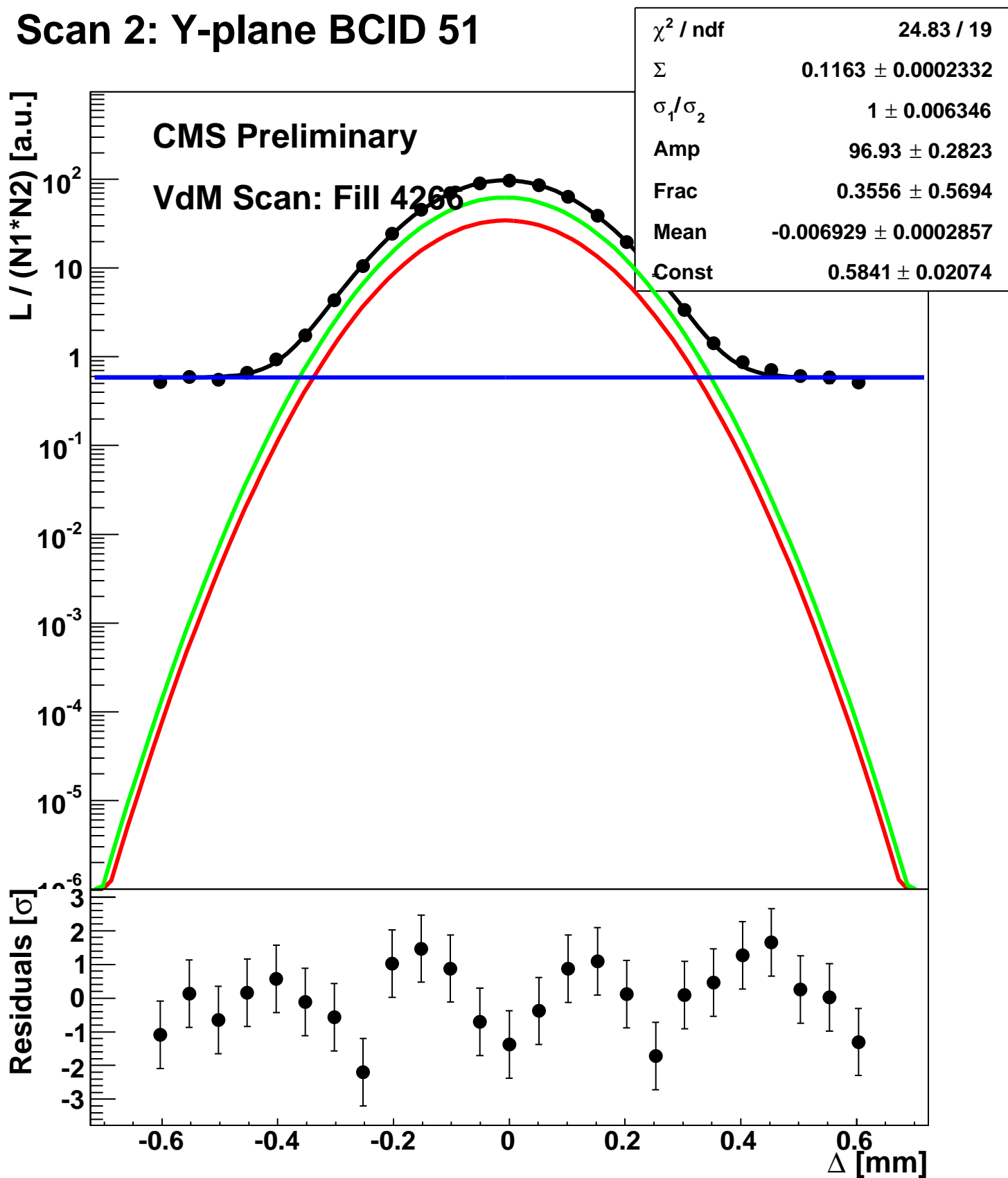
Scan 2: Y-plane BCID 2211



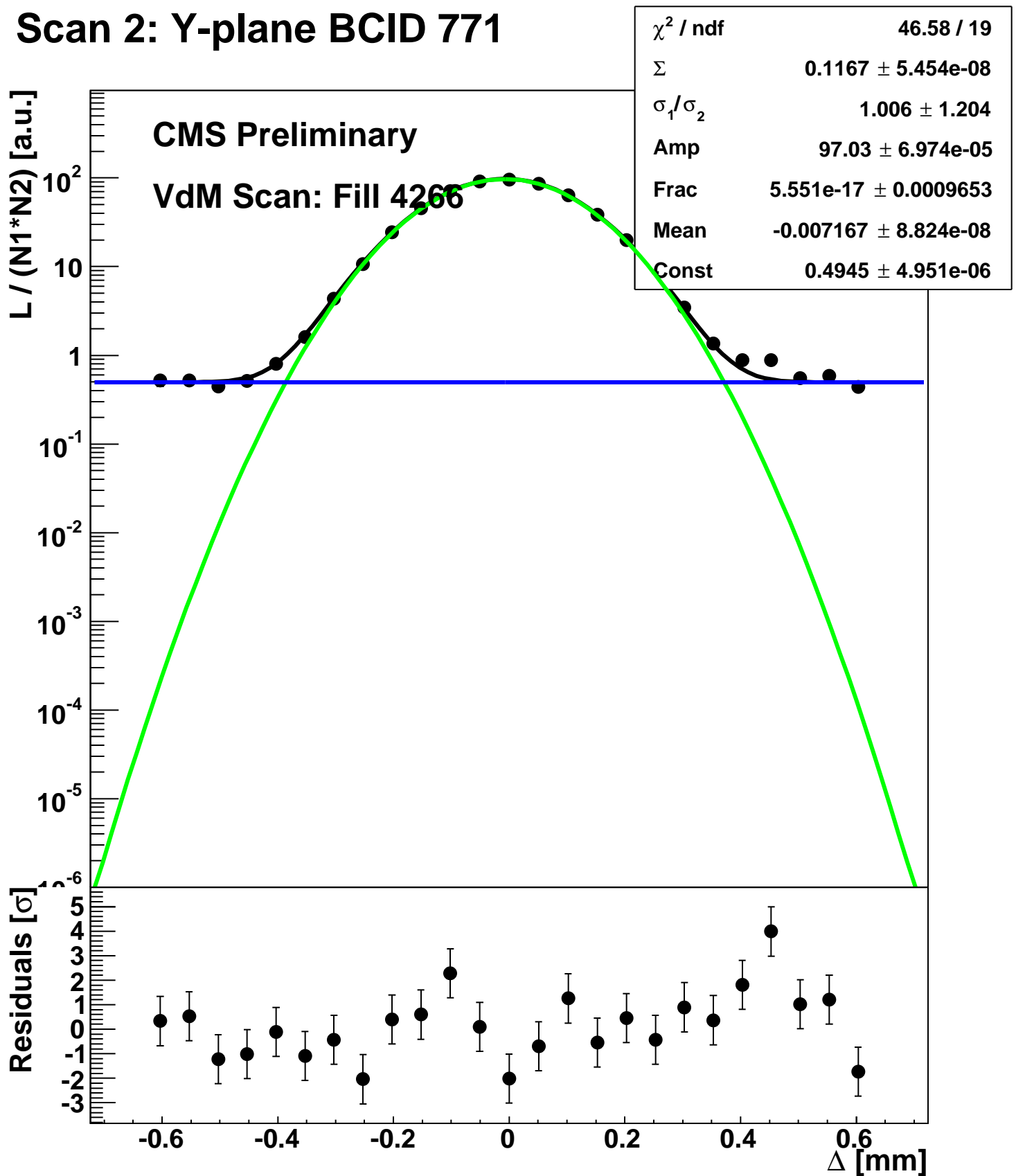
Scan 2: Y-plane BCID 2674



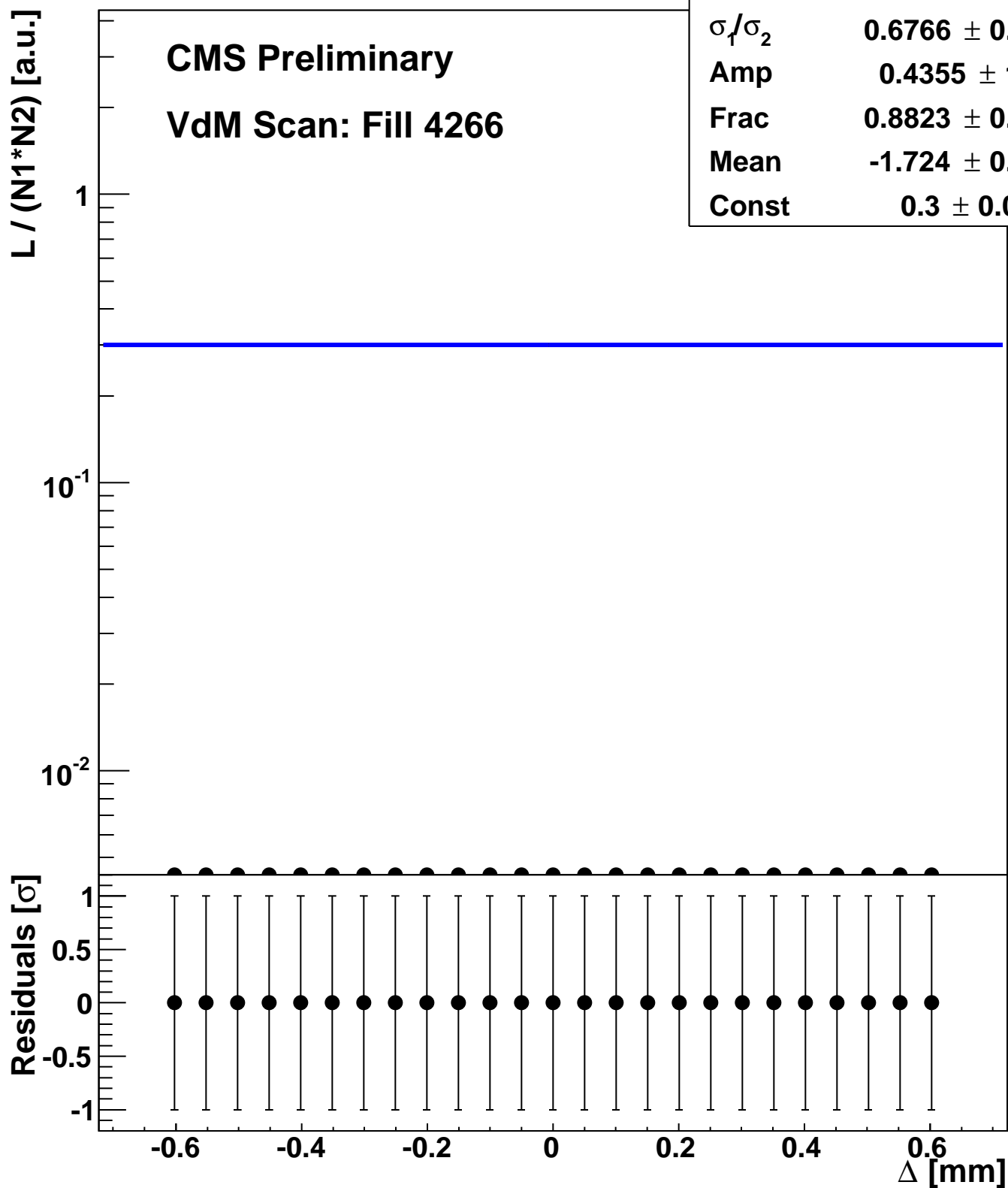
Scan 2: Y-plane BCID 51



Scan 2: Y-plane BCID 771

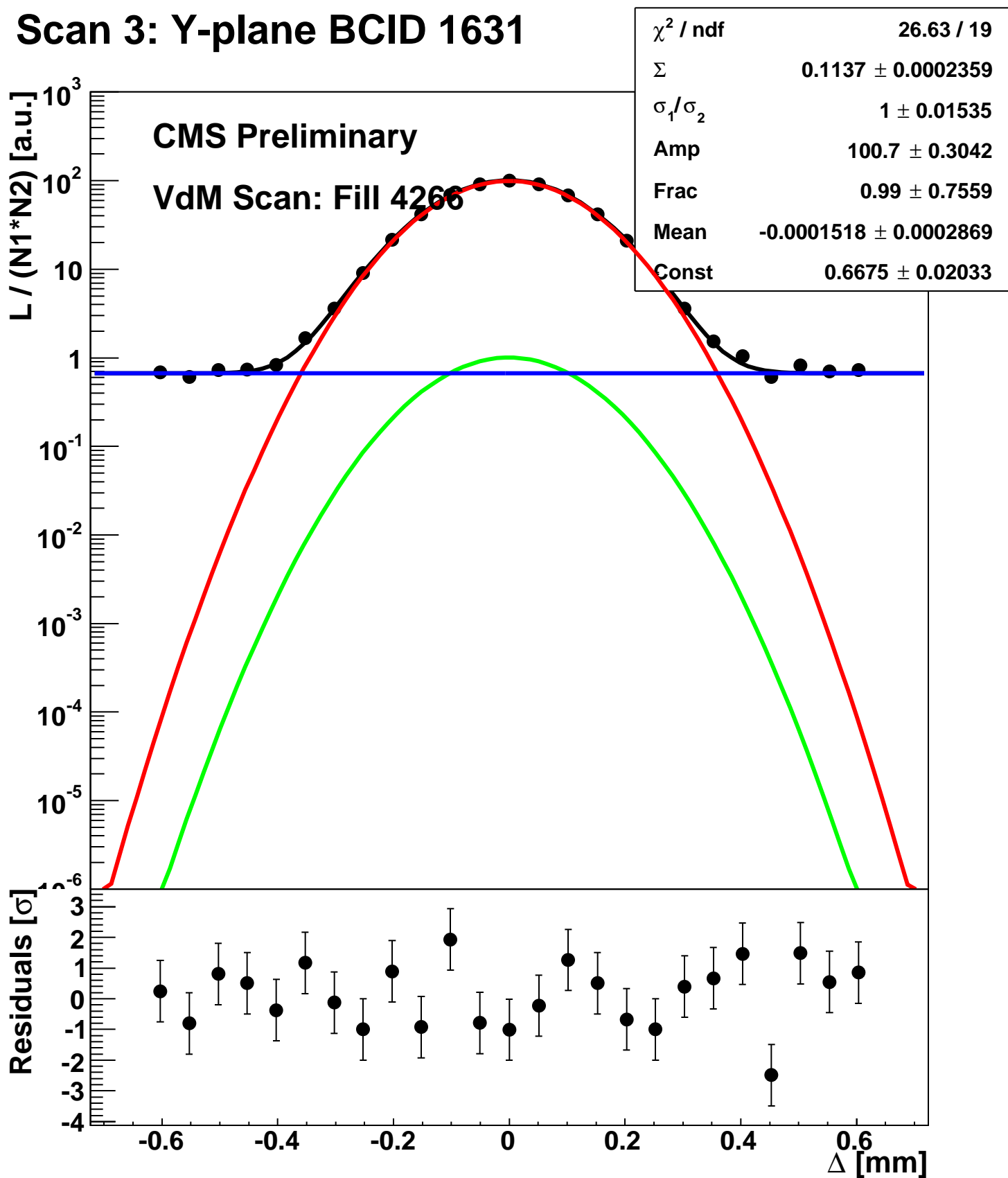


Scan 2: Y-plane BCID sum

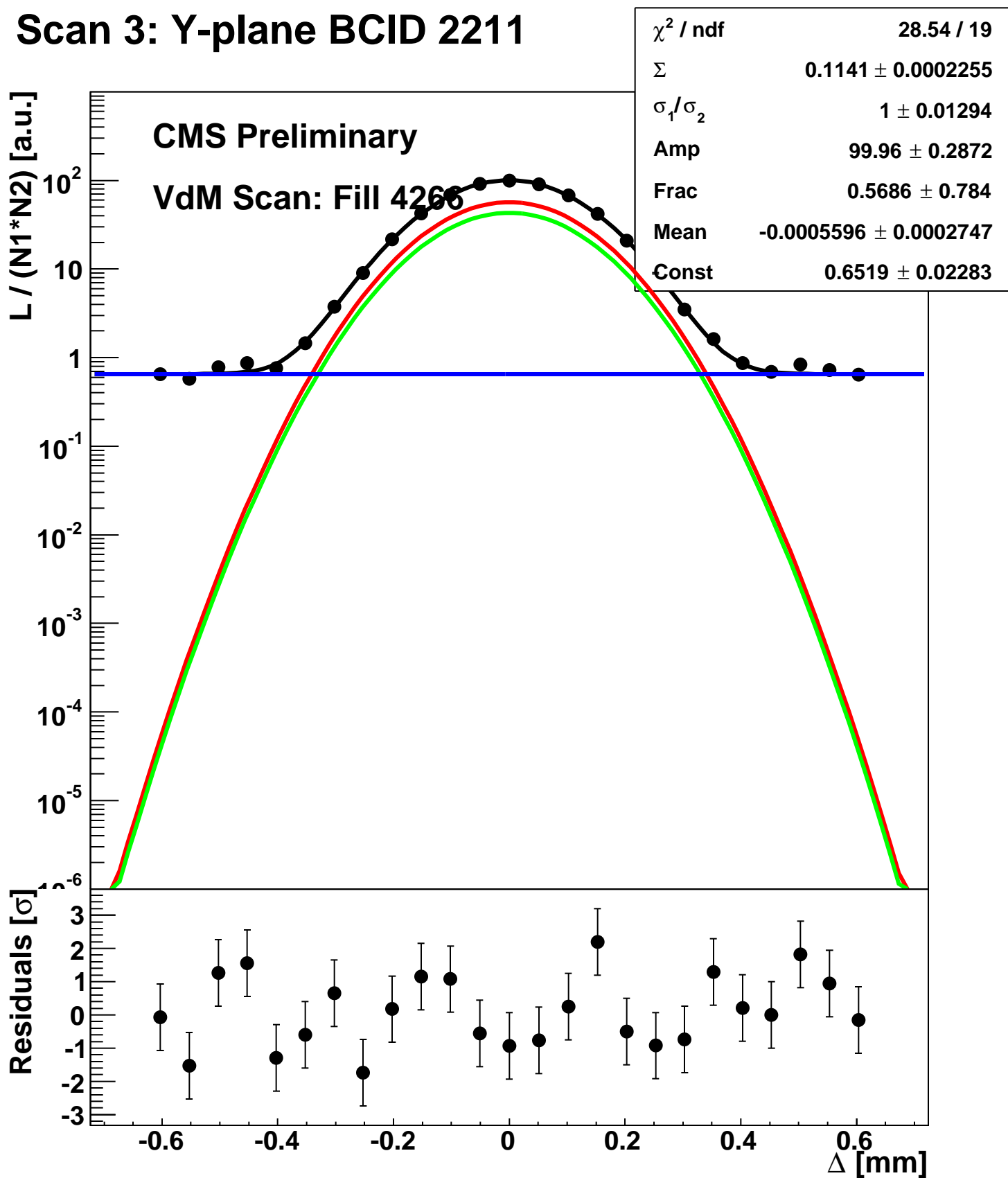


χ^2 / ndf	2.25 / 19
Σ	0.05129 ± 1.041
σ_1 / σ_2	0.6766 ± 0.0559
Amp	0.4355 ± 1.083
Frac	0.8823 ± 0.2824
Mean	-1.724 ± 0.4867
Const	0.3 ± 0.02231

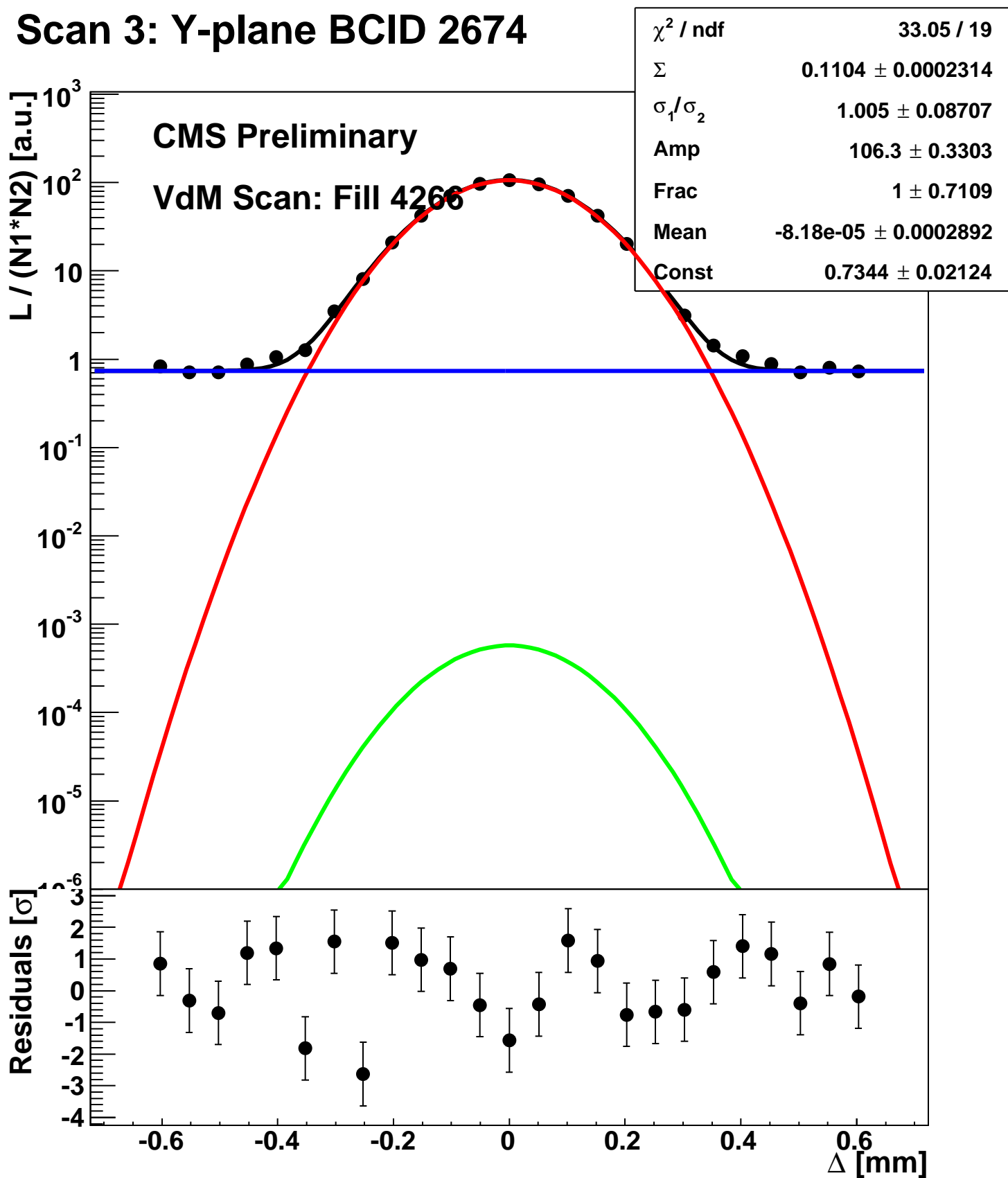
Scan 3: Y-plane BCID 1631



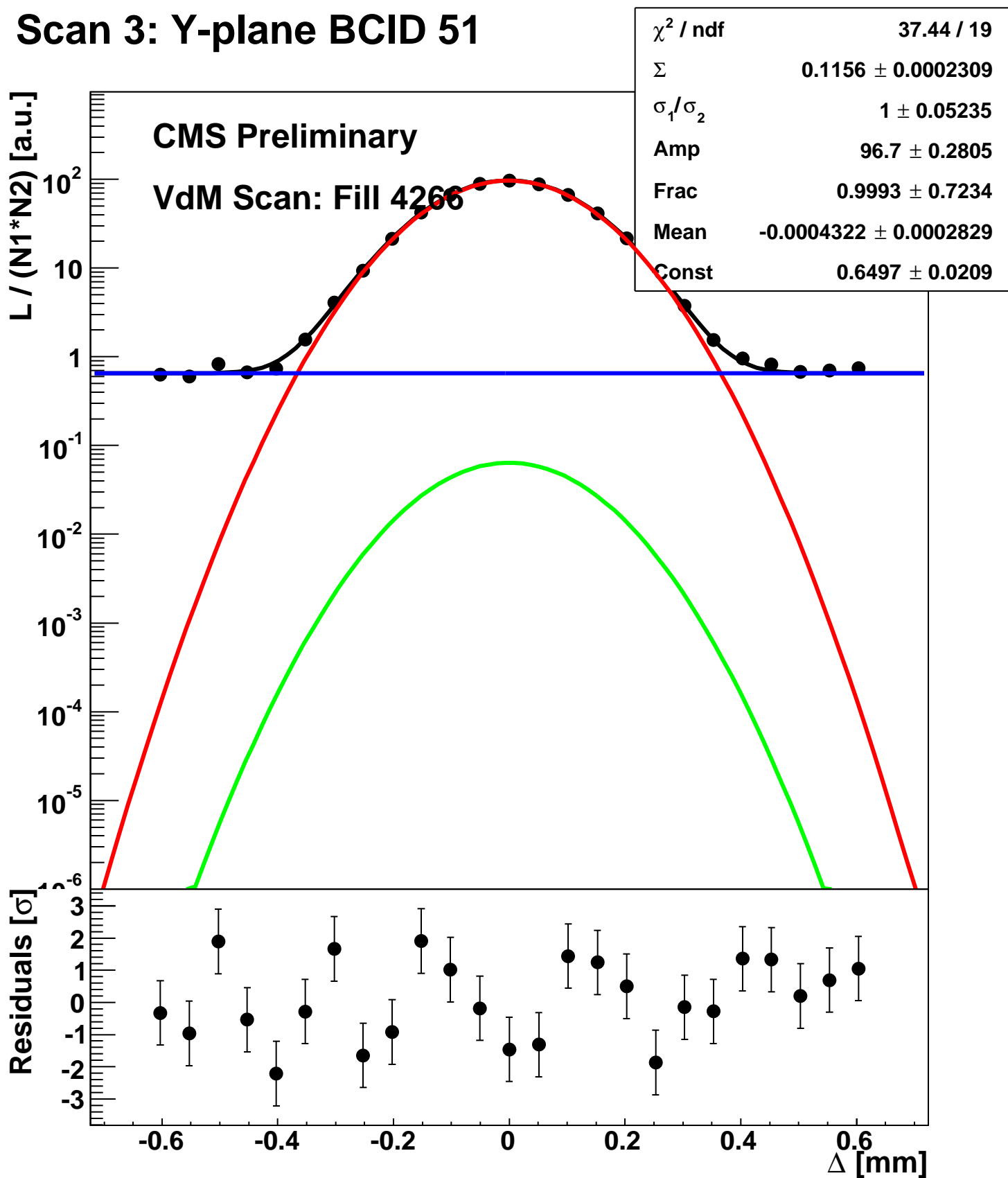
Scan 3: Y-plane BCID 2211



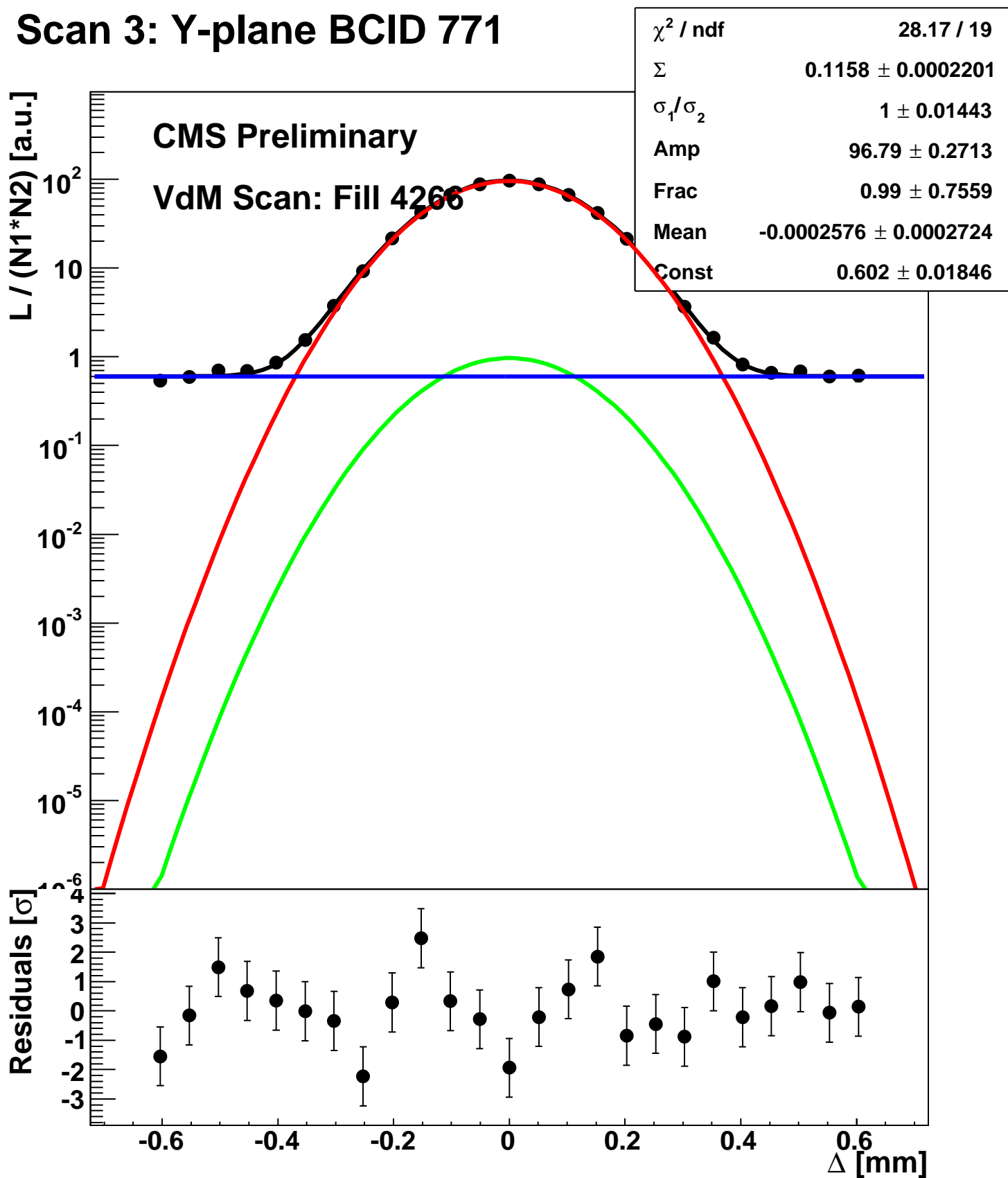
Scan 3: Y-plane BCID 2674



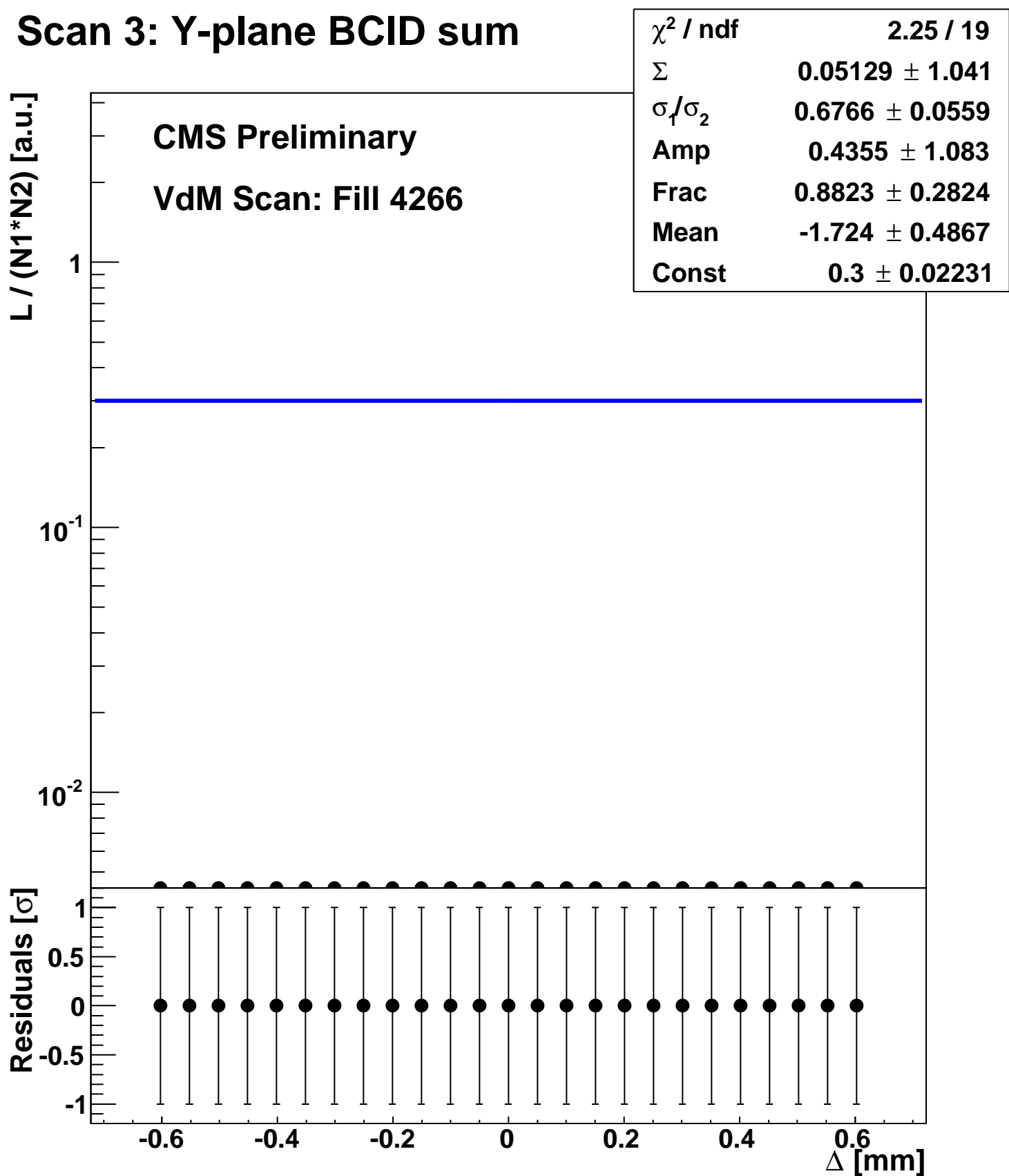
Scan 3: Y-plane BCID 51



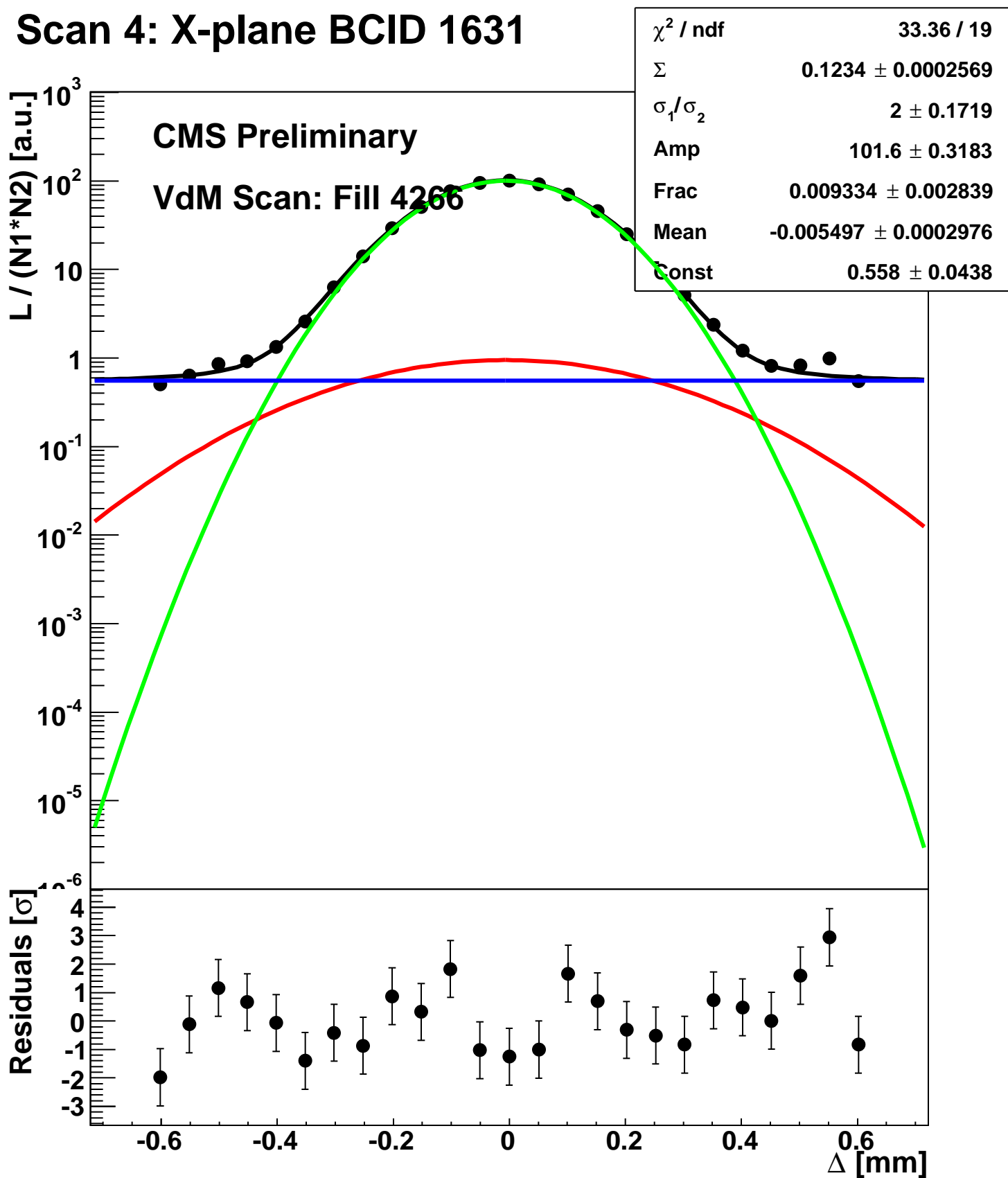
Scan 3: Y-plane BCID 771



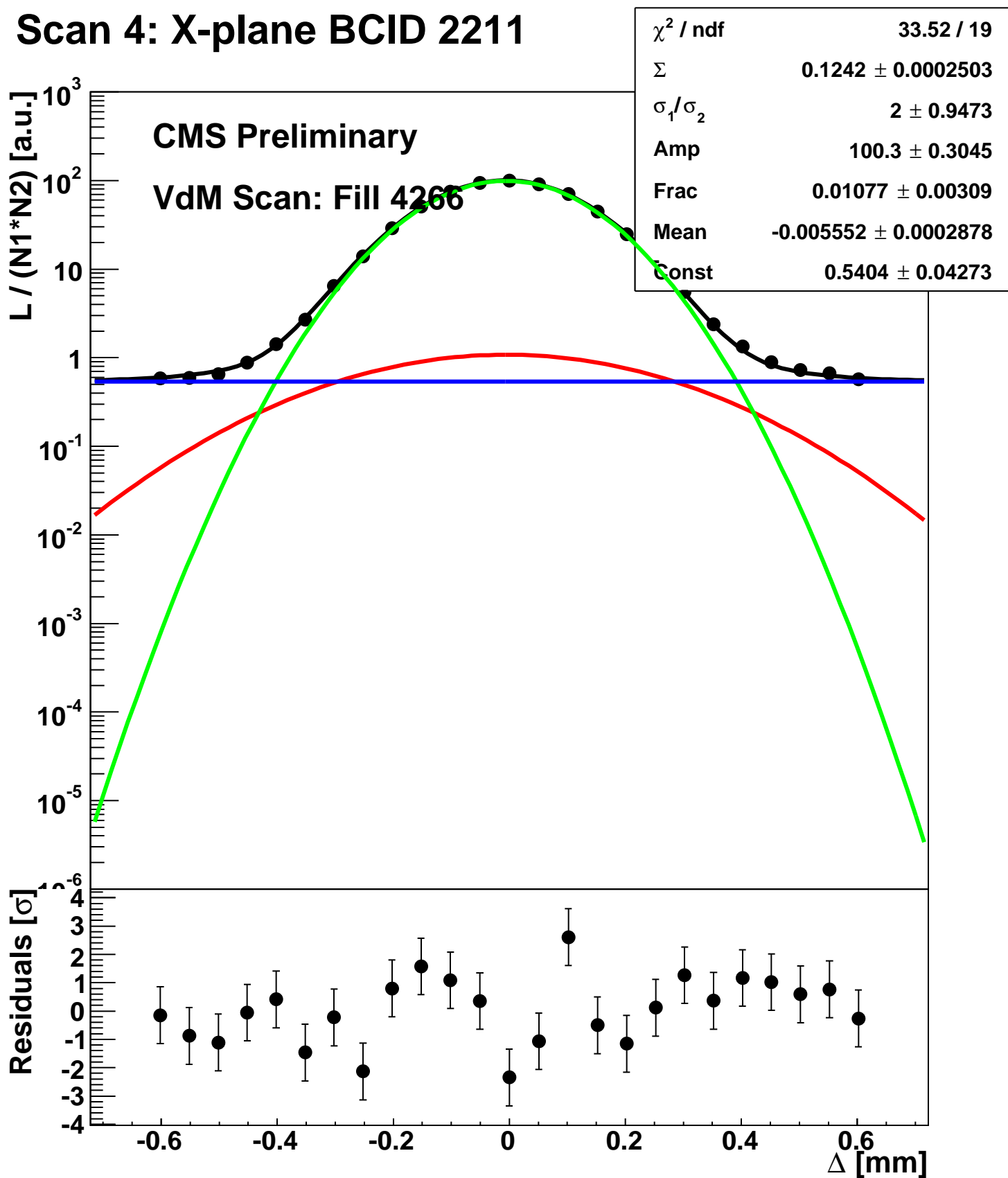
Scan 3: Y-plane BCID sum



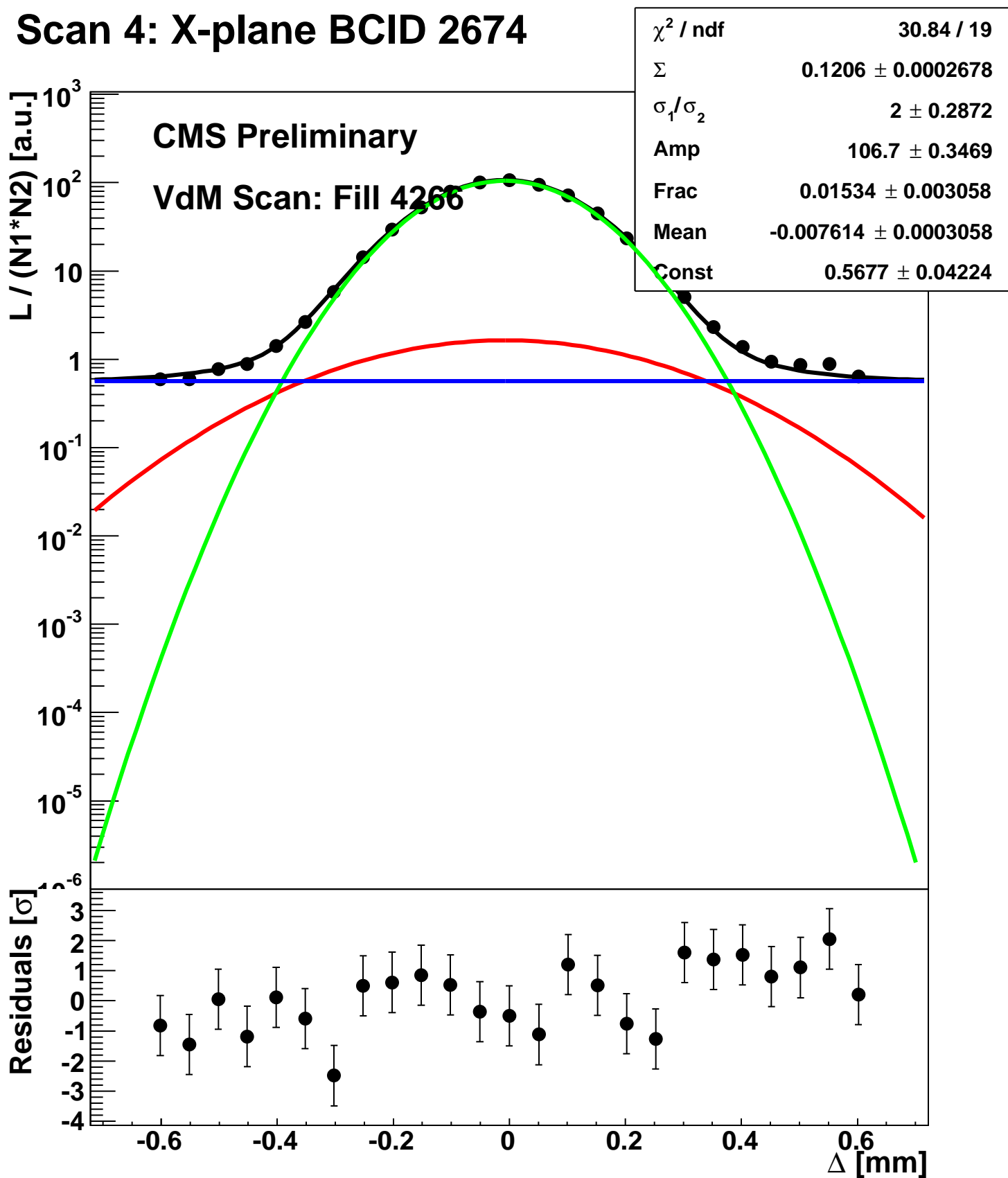
Scan 4: X-plane BCID 1631



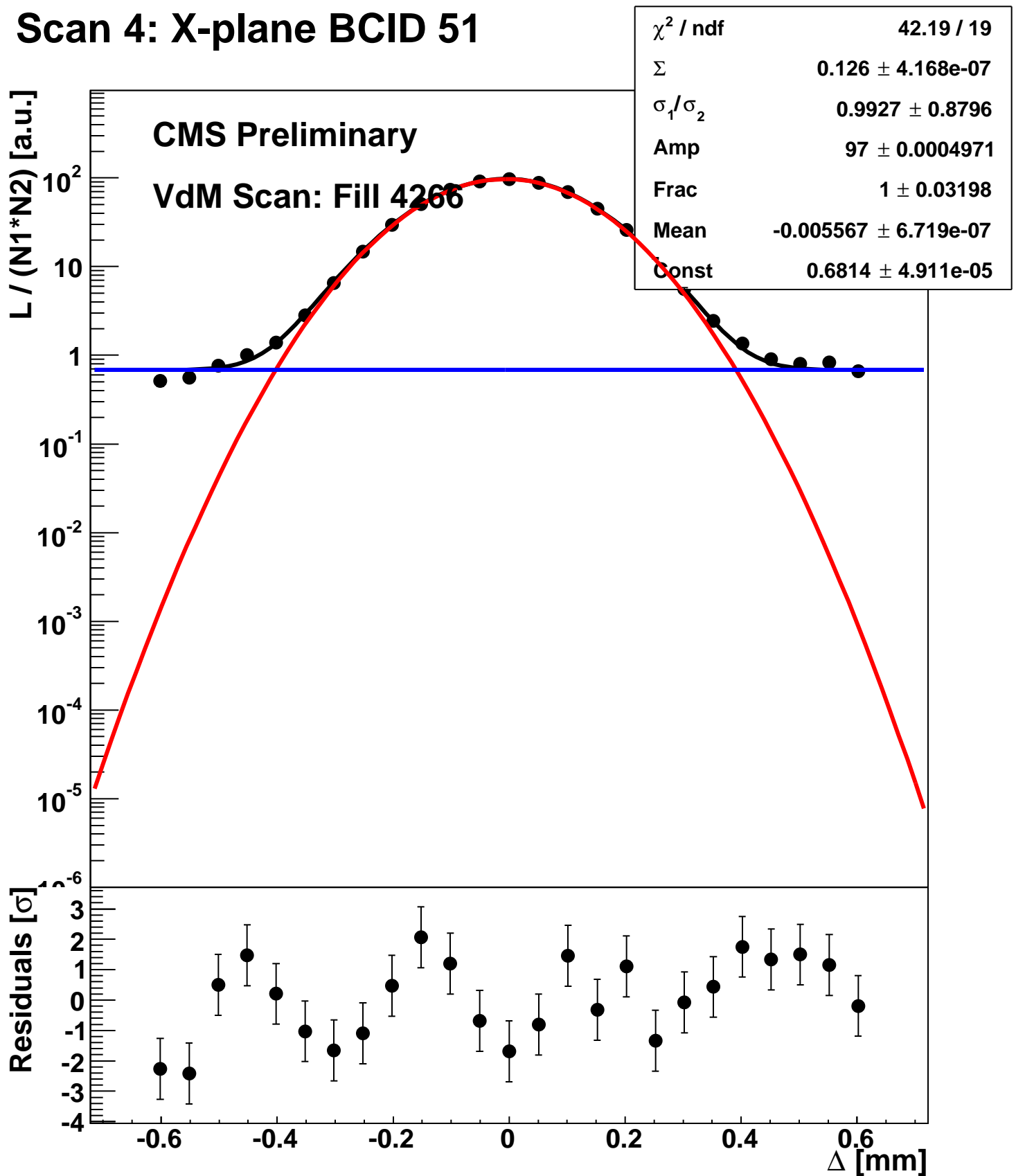
Scan 4: X-plane BCID 2211



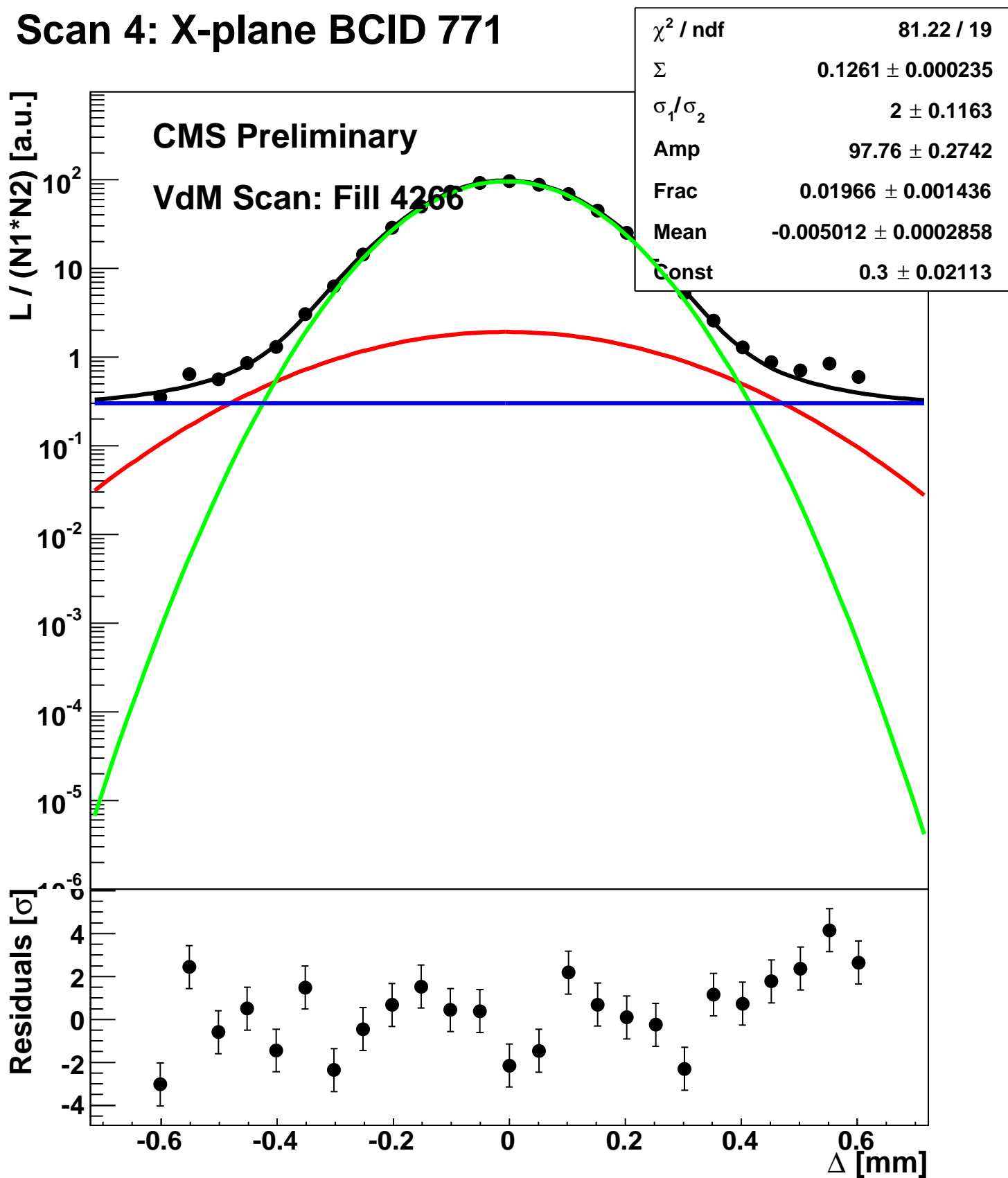
Scan 4: X-plane BCID 2674



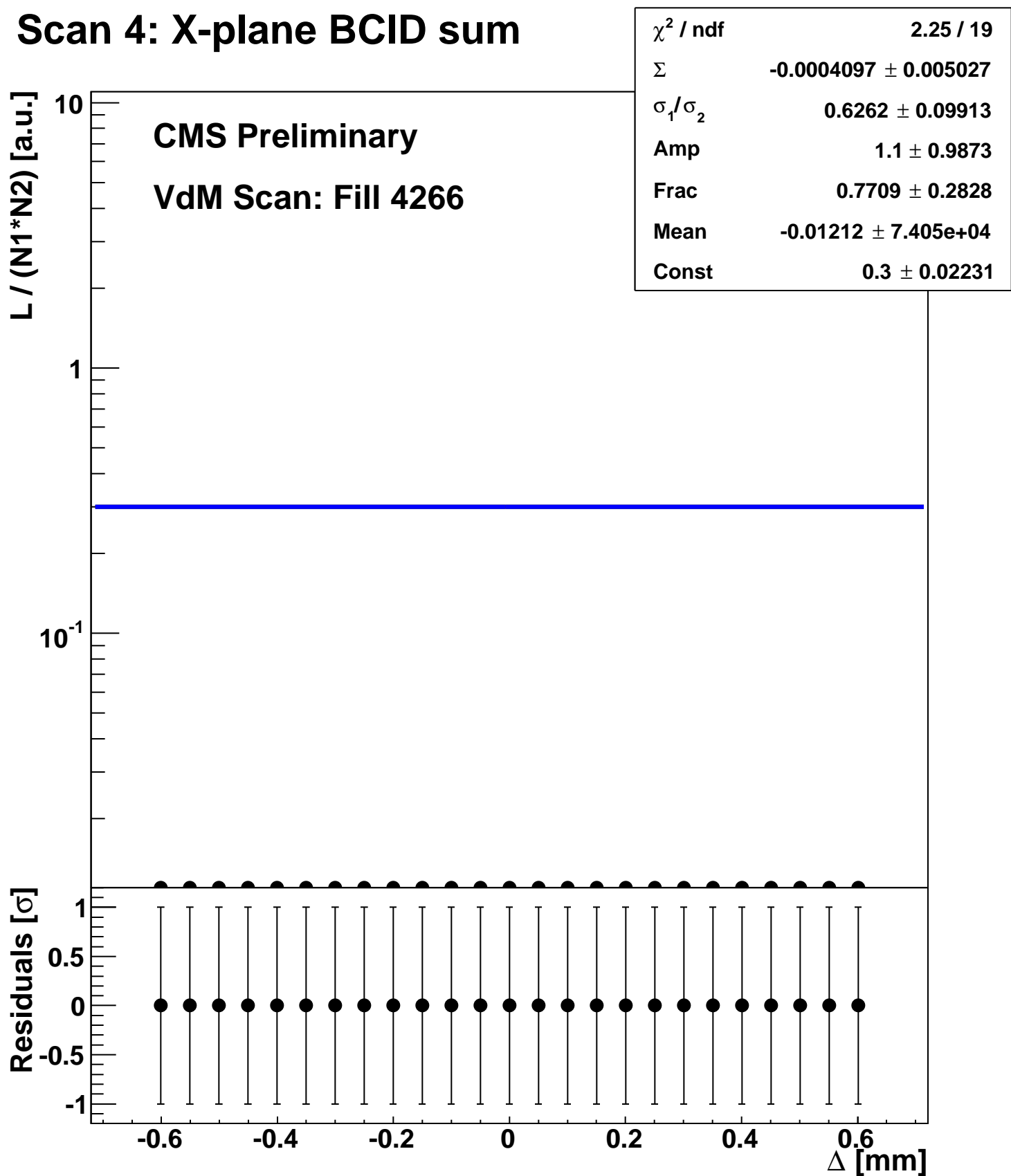
Scan 4: X-plane BCID 51



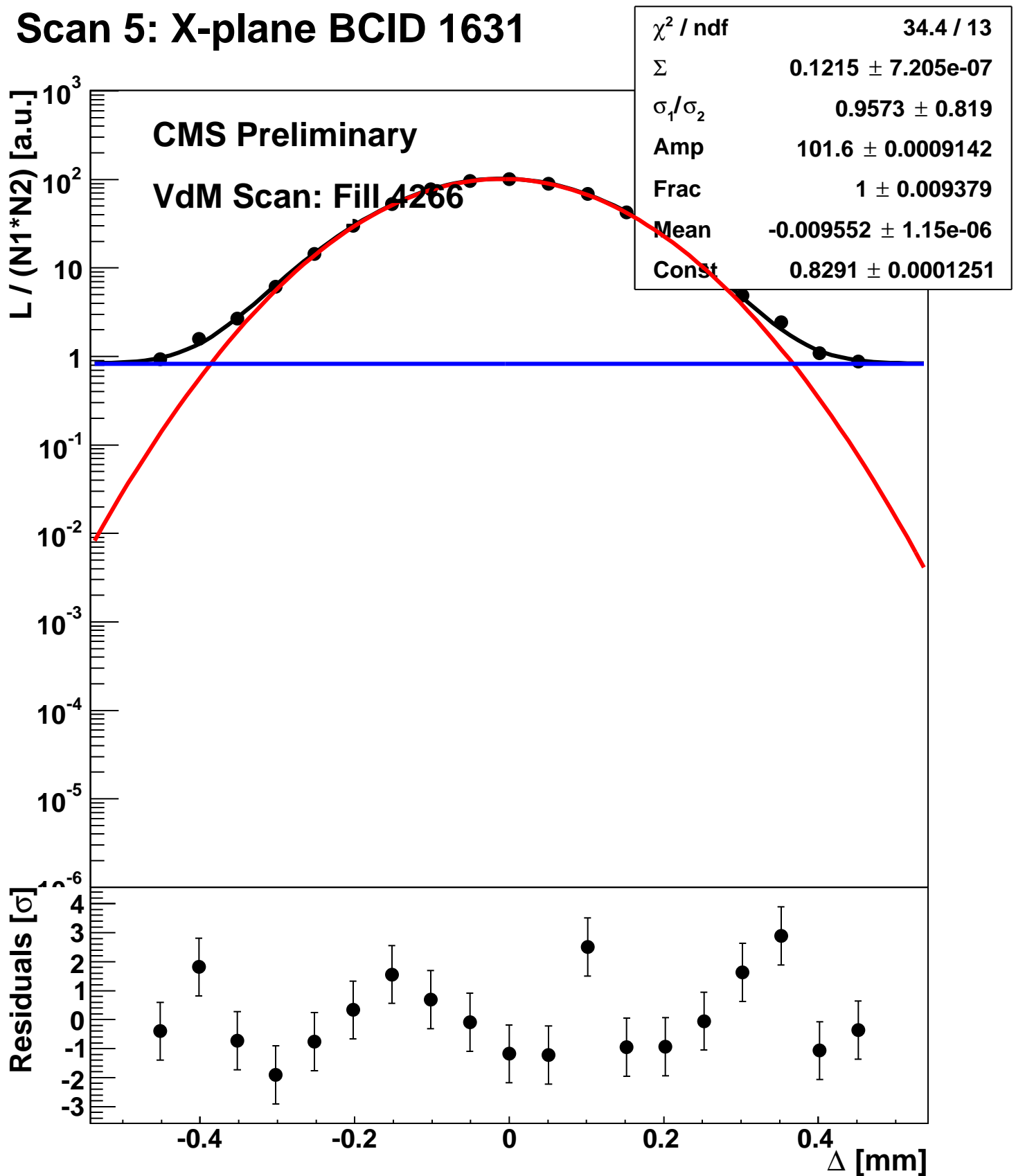
Scan 4: X-plane BCID 771



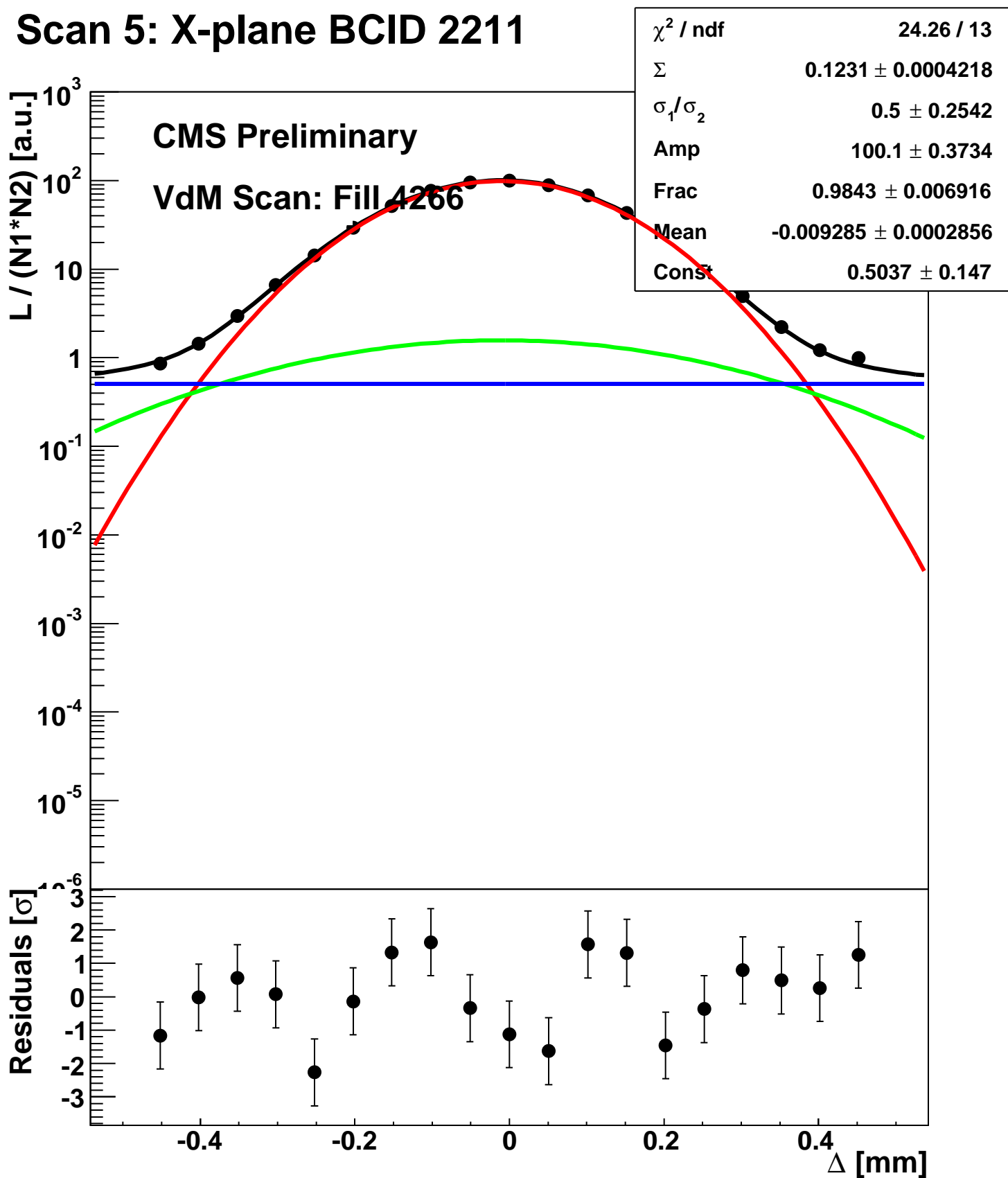
Scan 4: X-plane BCID sum



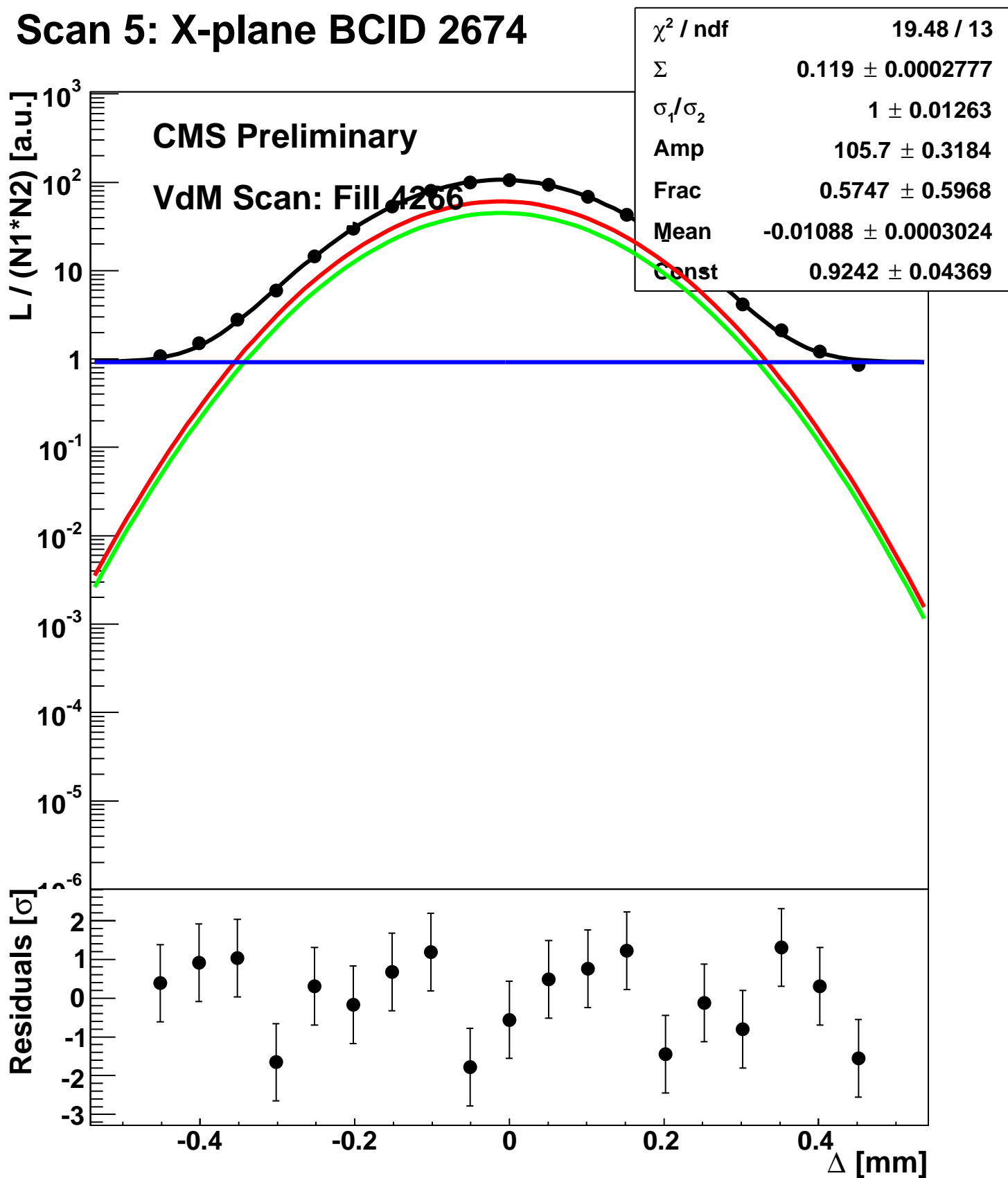
Scan 5: X-plane BCID 1631



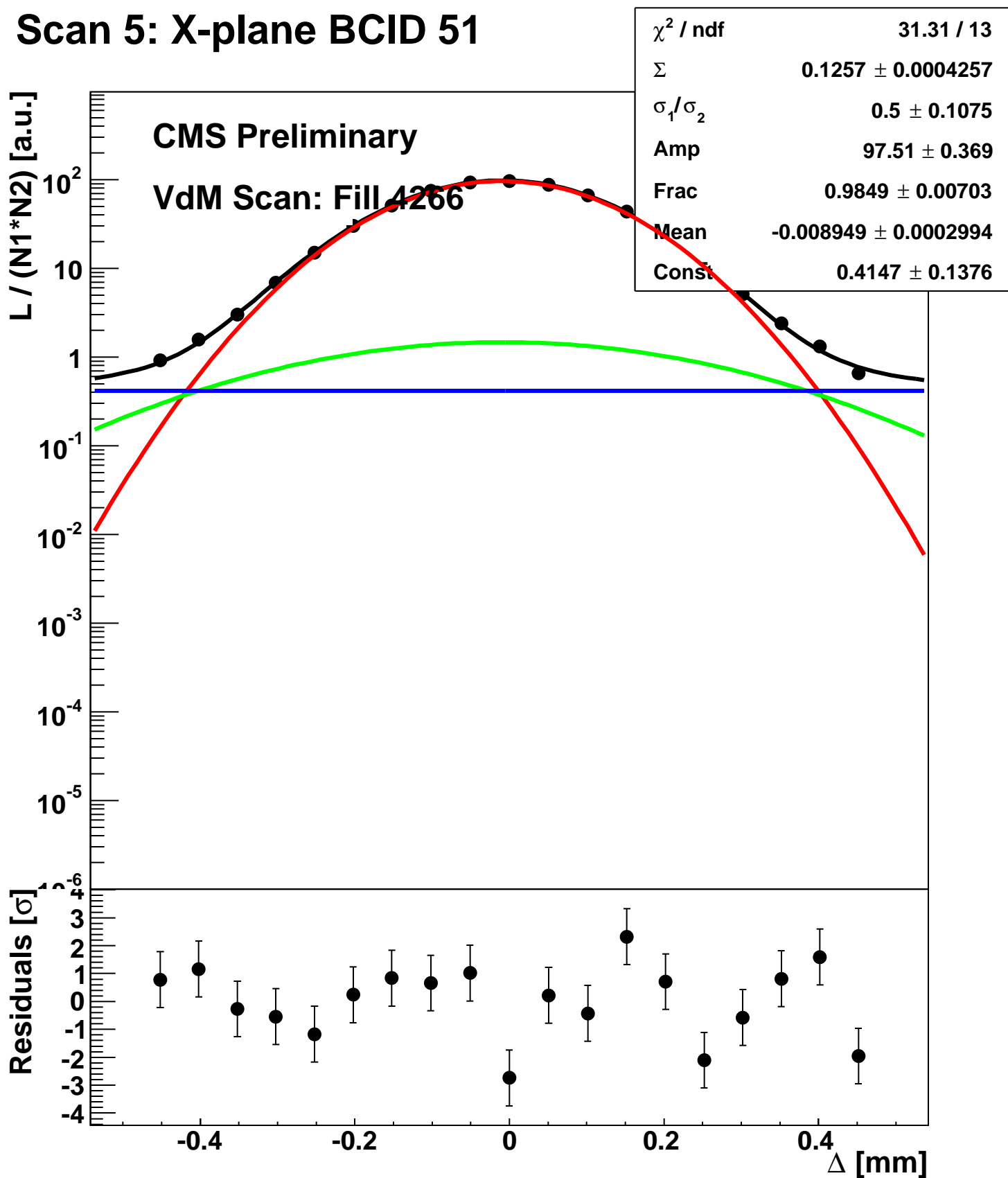
Scan 5: X-plane BCID 2211



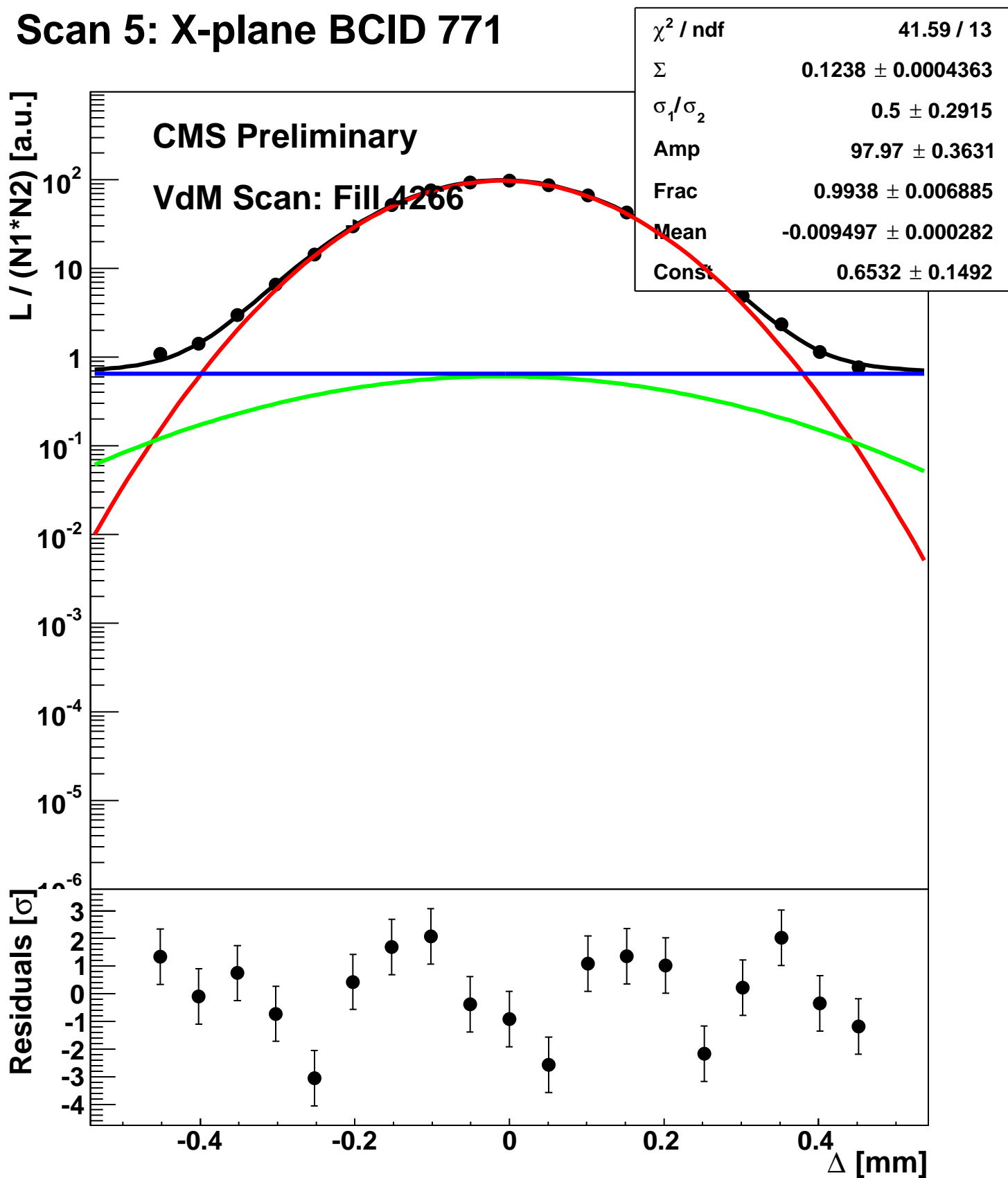
Scan 5: X-plane BCID 2674



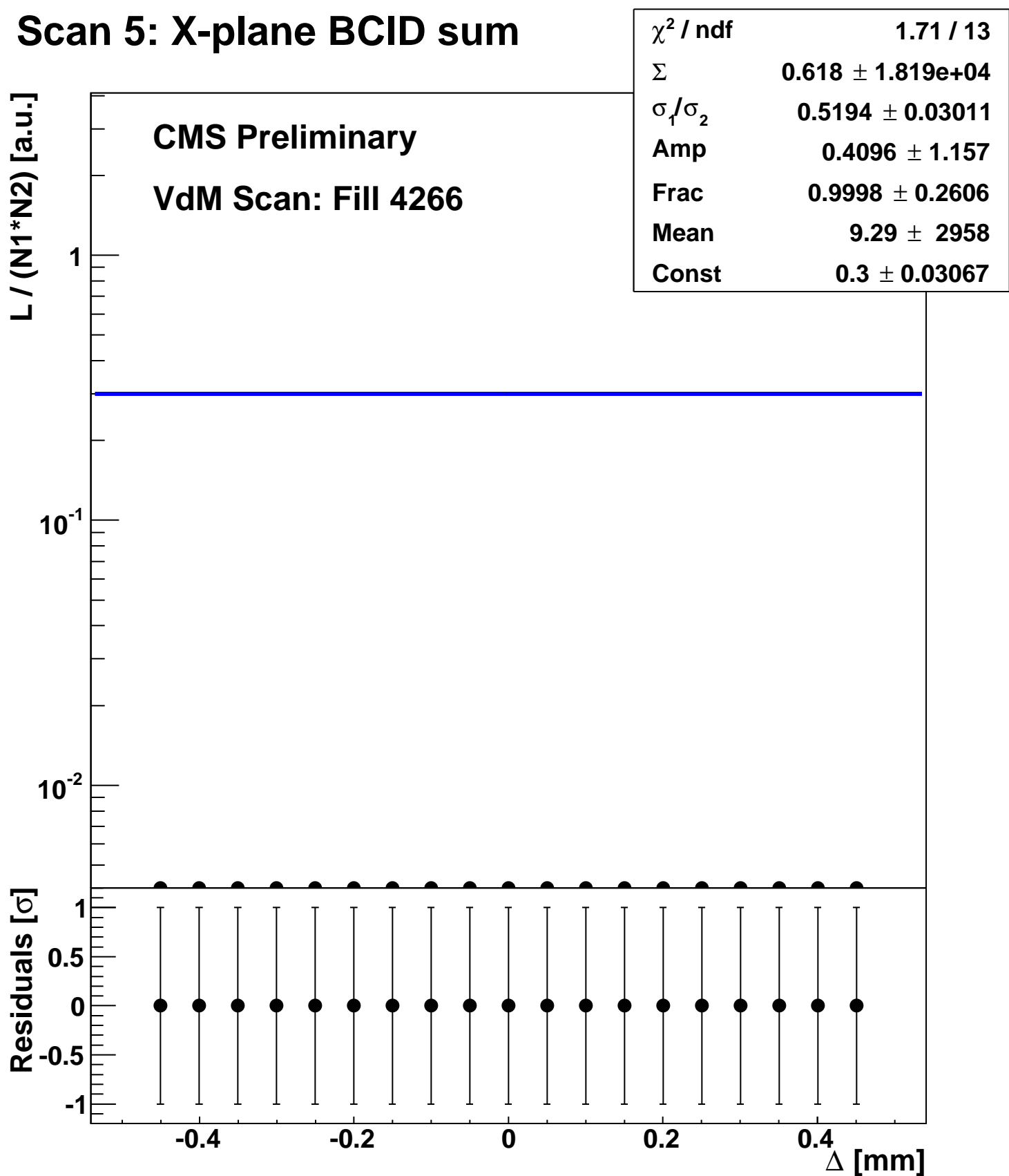
Scan 5: X-plane BCID 51



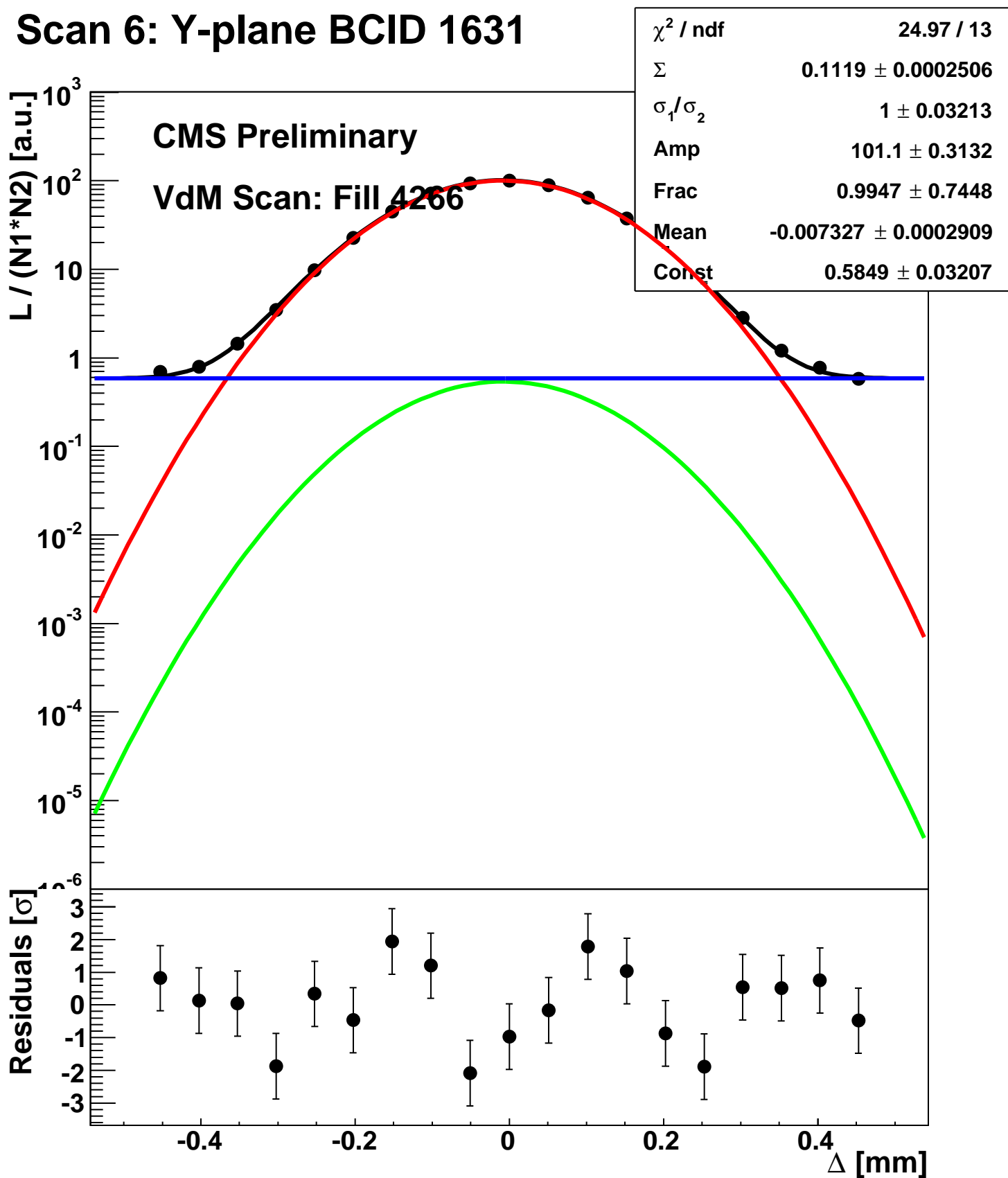
Scan 5: X-plane BCID 771



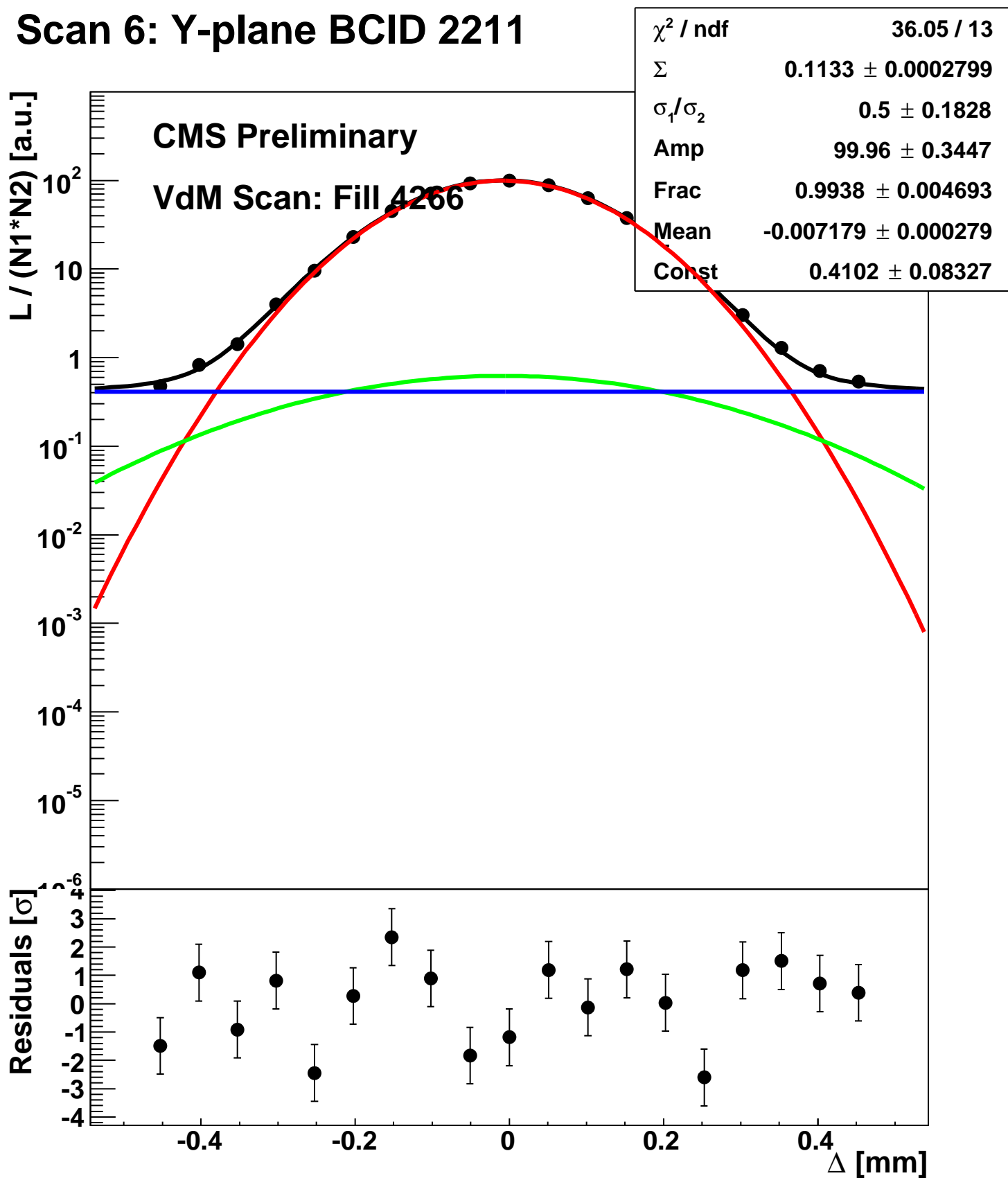
Scan 5: X-plane BCID sum



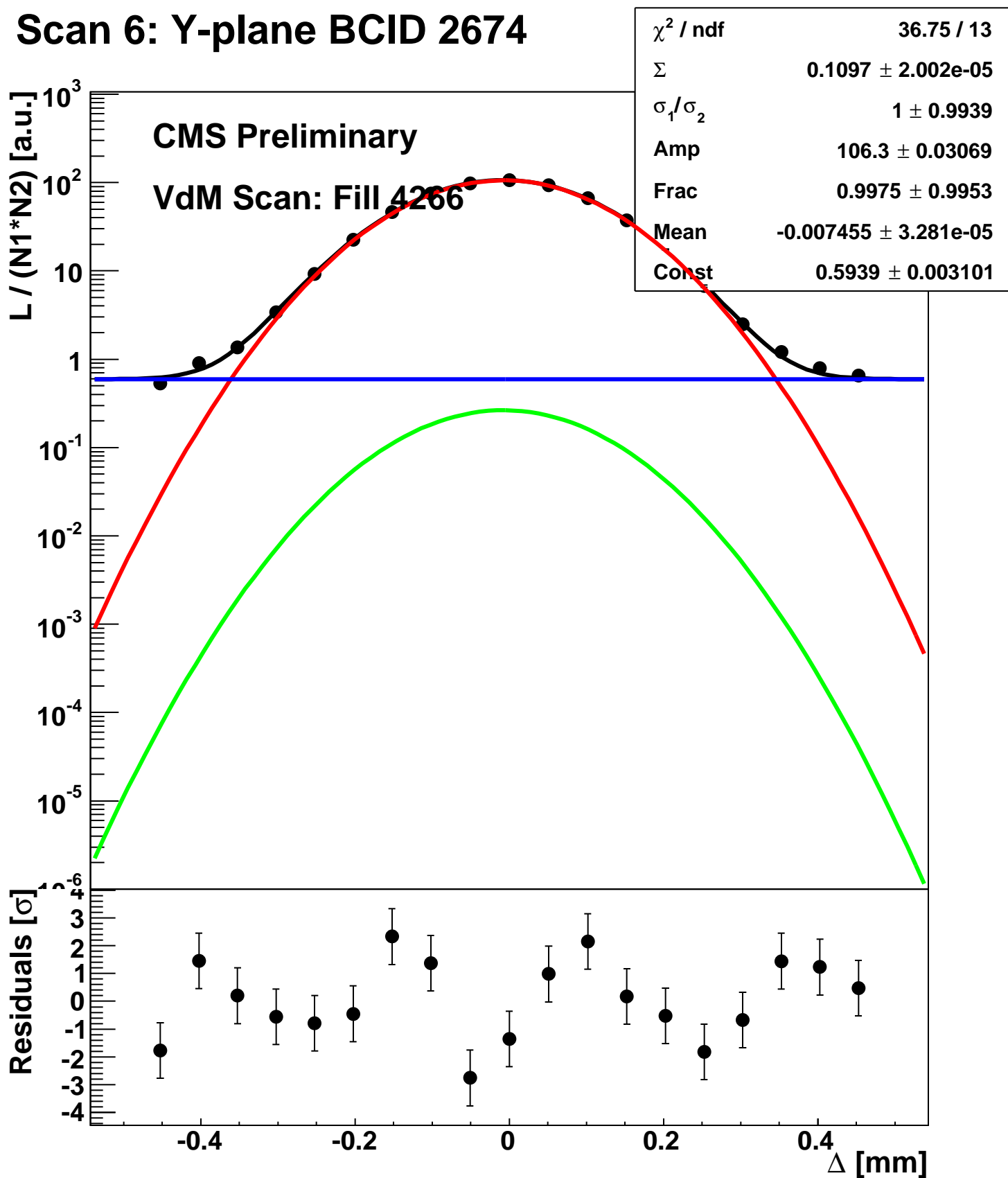
Scan 6: Y-plane BCID 1631



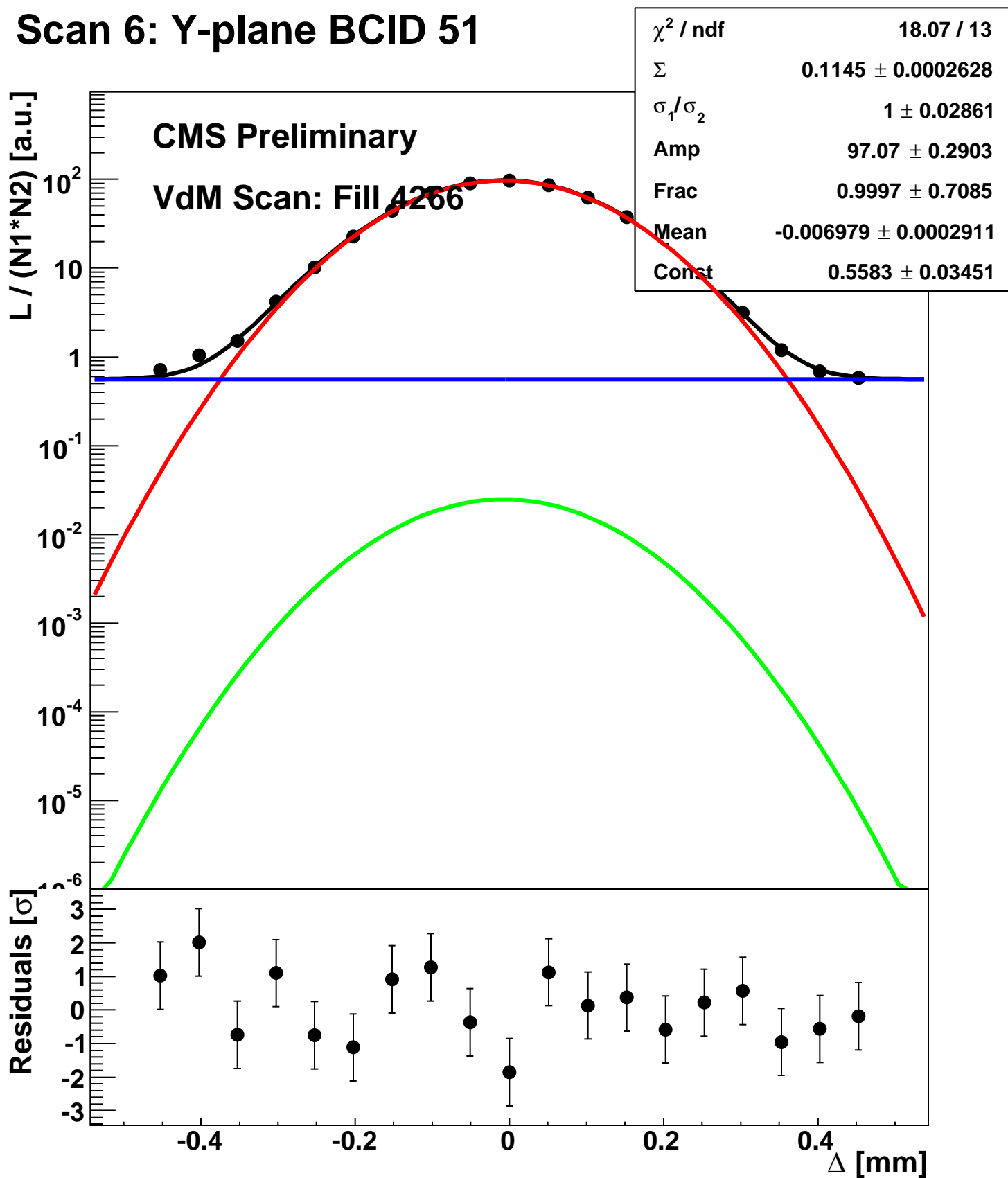
Scan 6: Y-plane BCID 2211



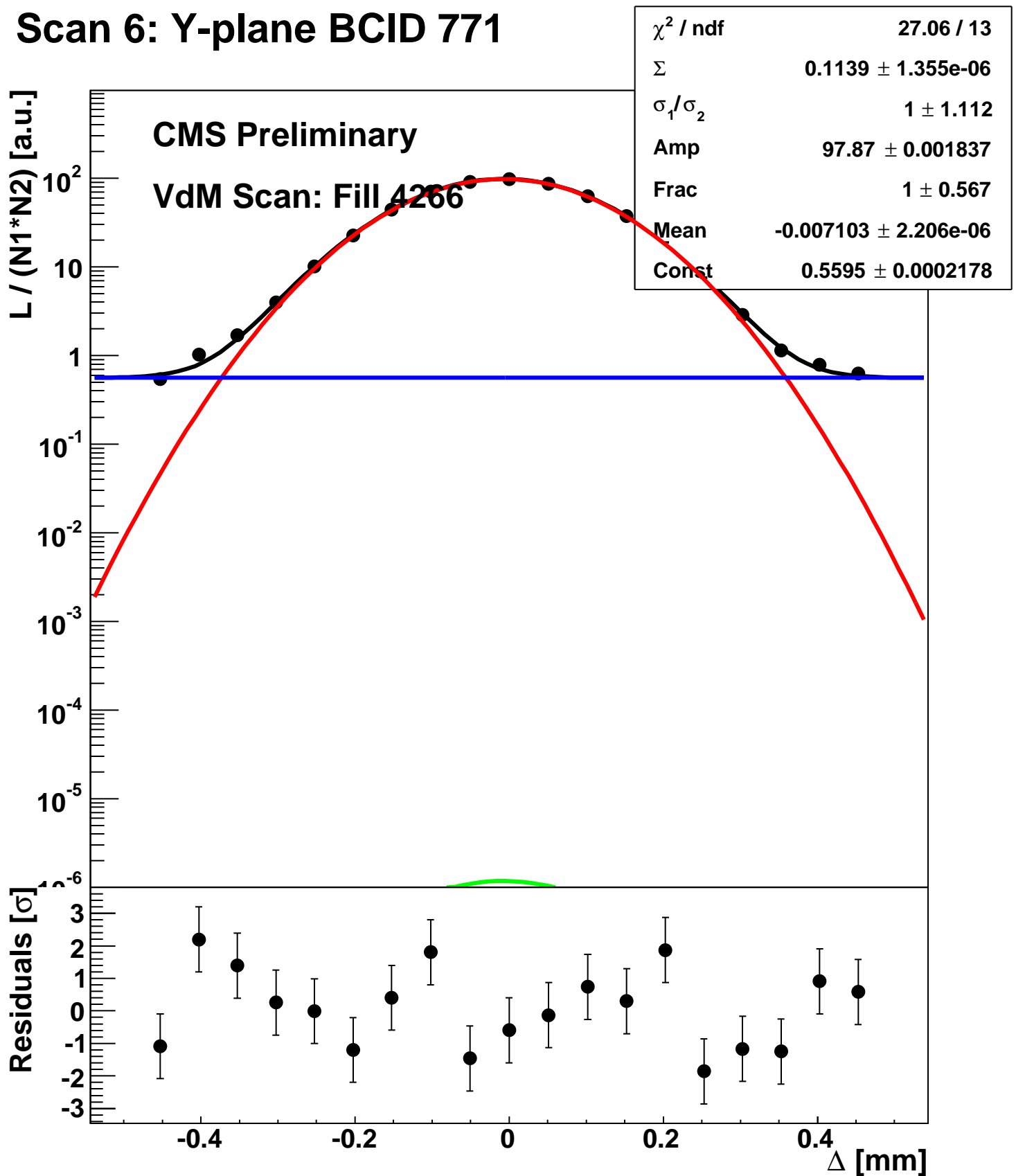
Scan 6: Y-plane BCID 2674



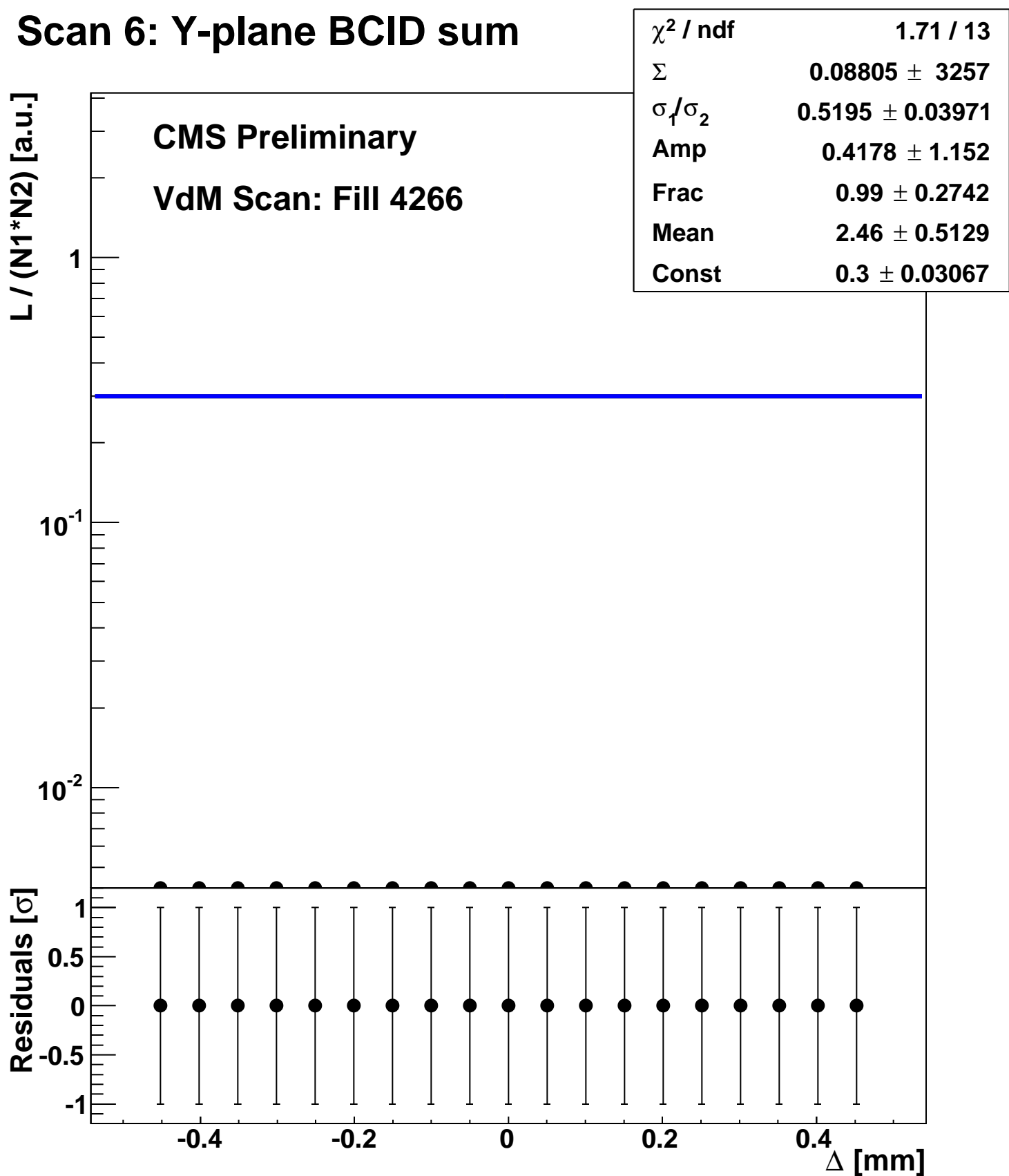
Scan 6: Y-plane BCID 51



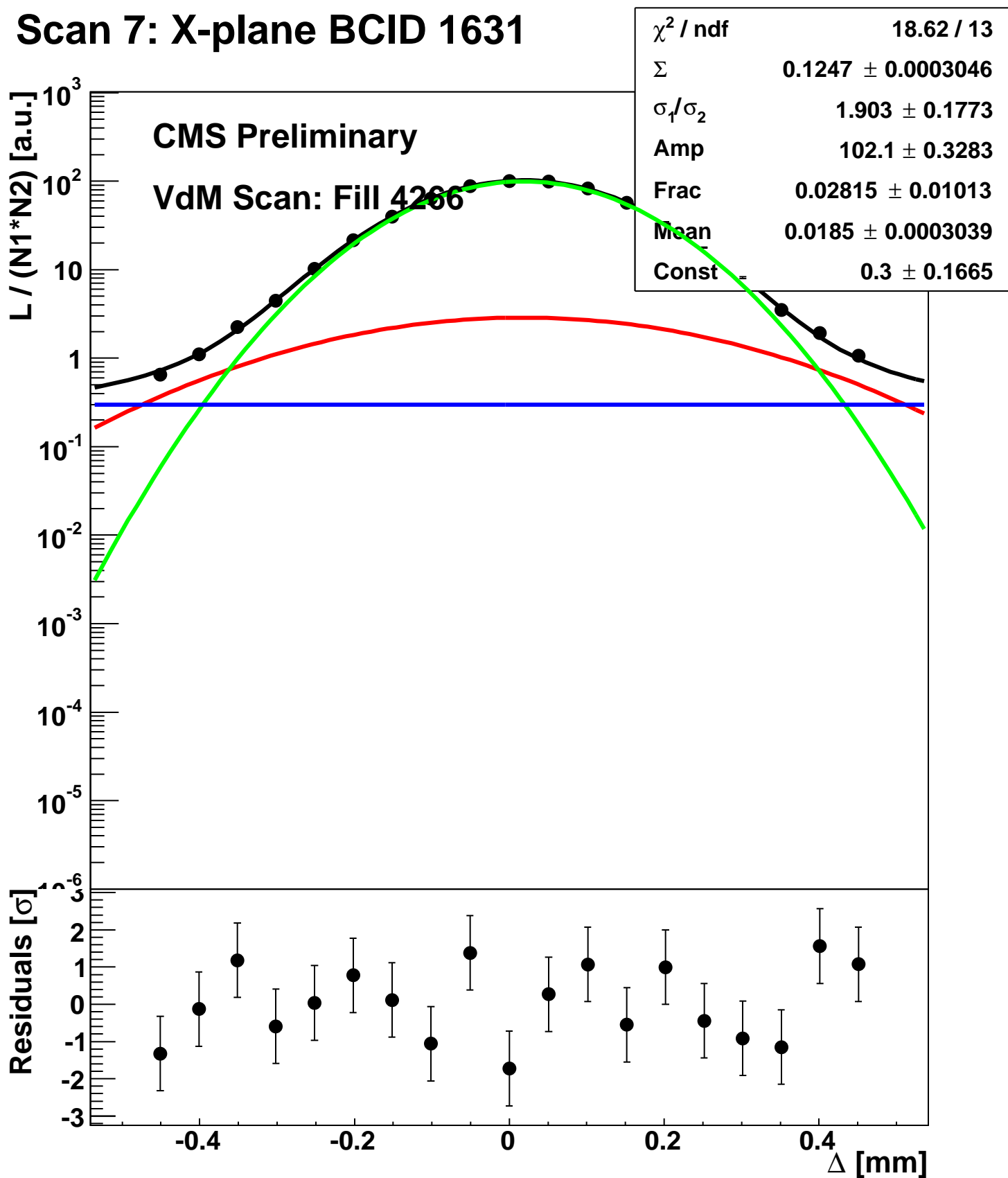
Scan 6: Y-plane BCID 771



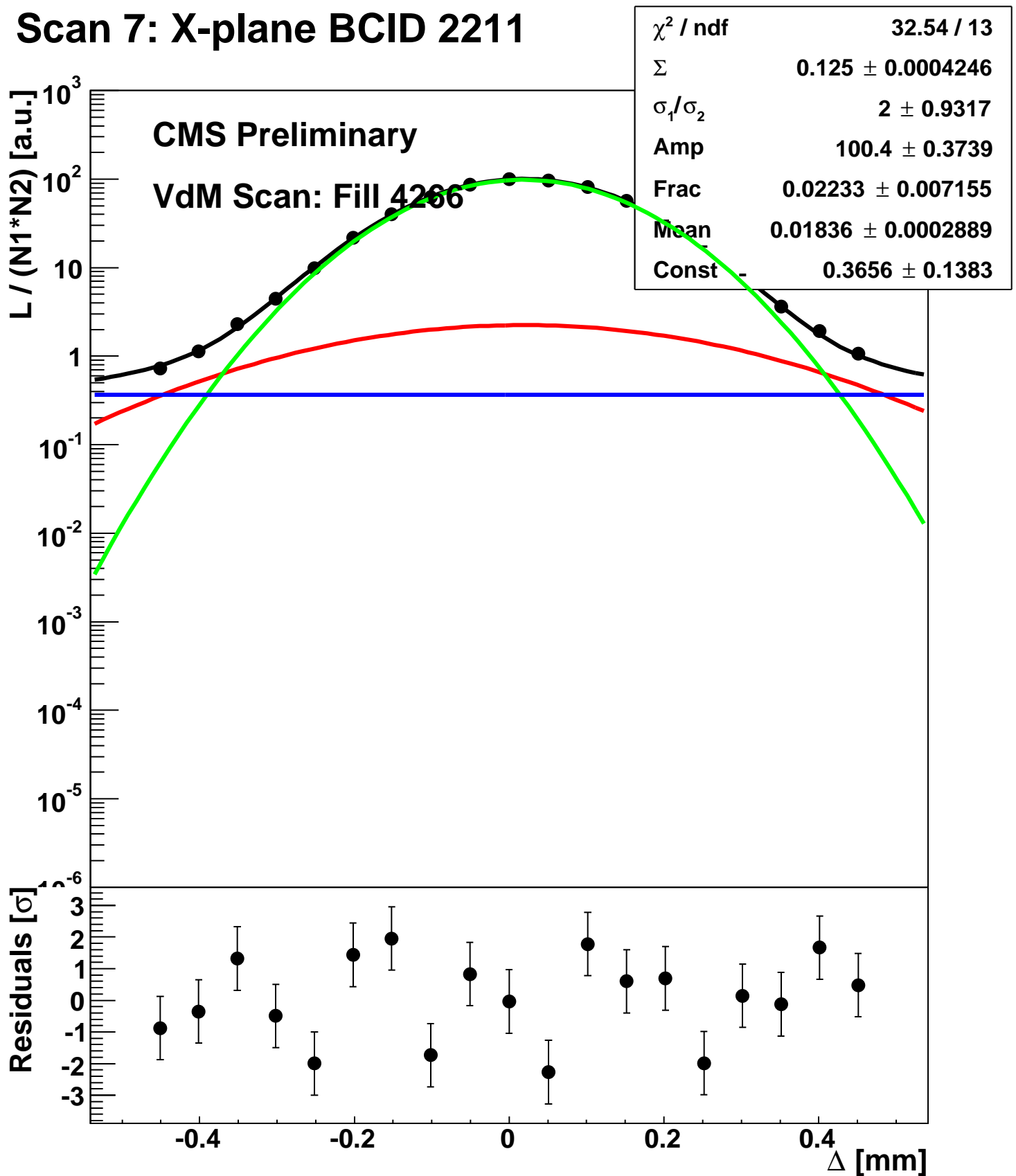
Scan 6: Y-plane BCID sum



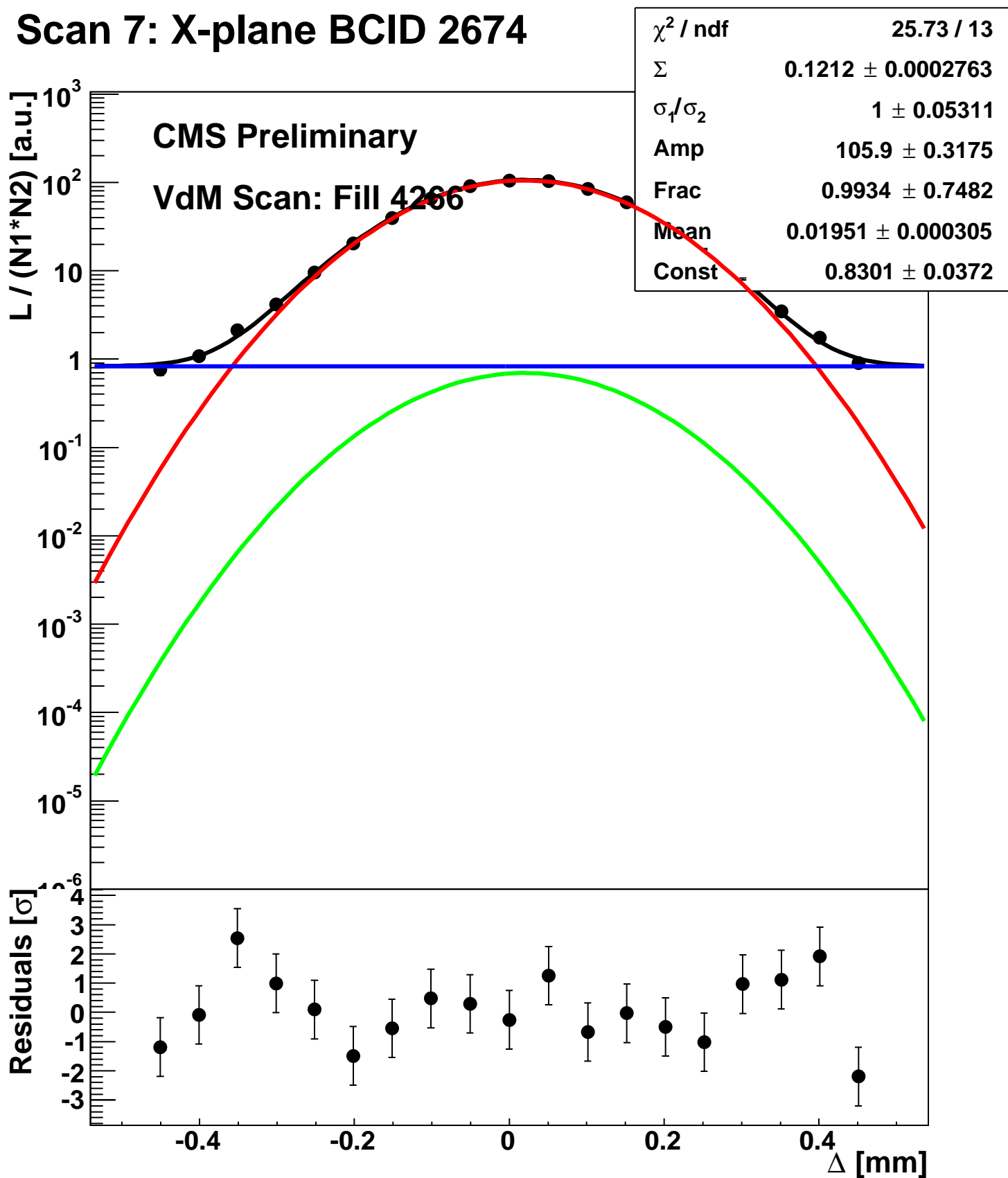
Scan 7: X-plane BCID 1631



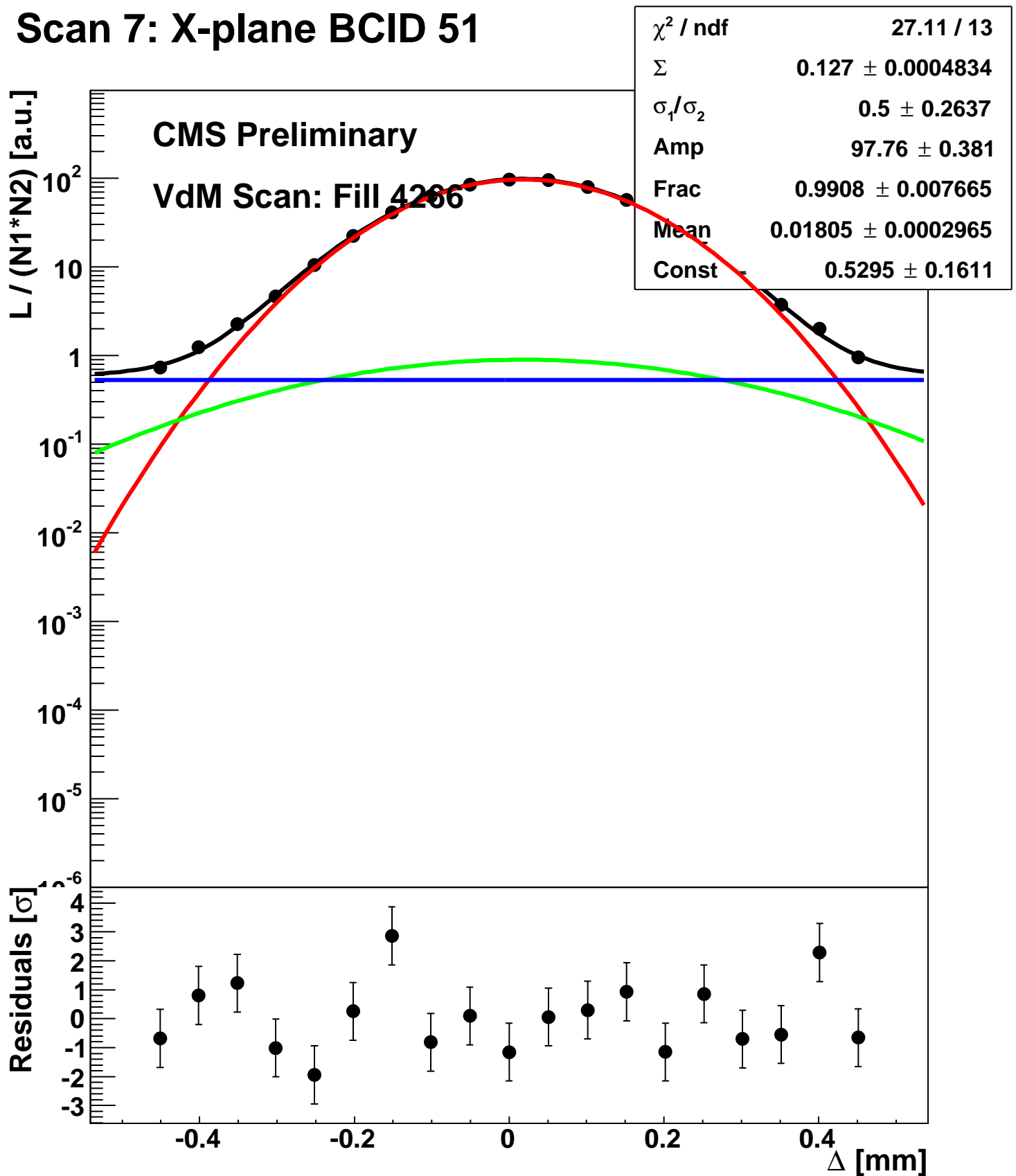
Scan 7: X-plane BCID 2211



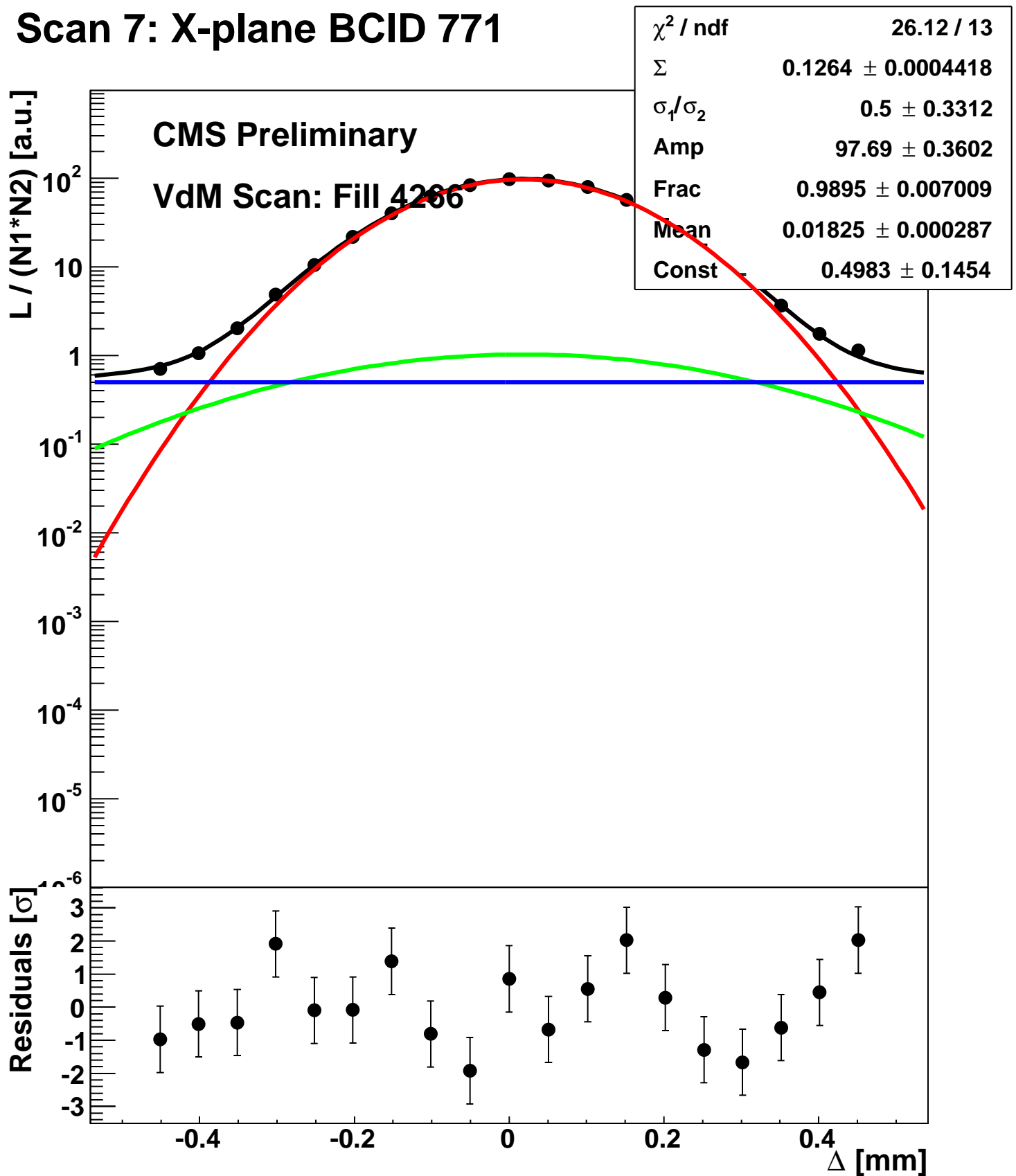
Scan 7: X-plane BCID 2674



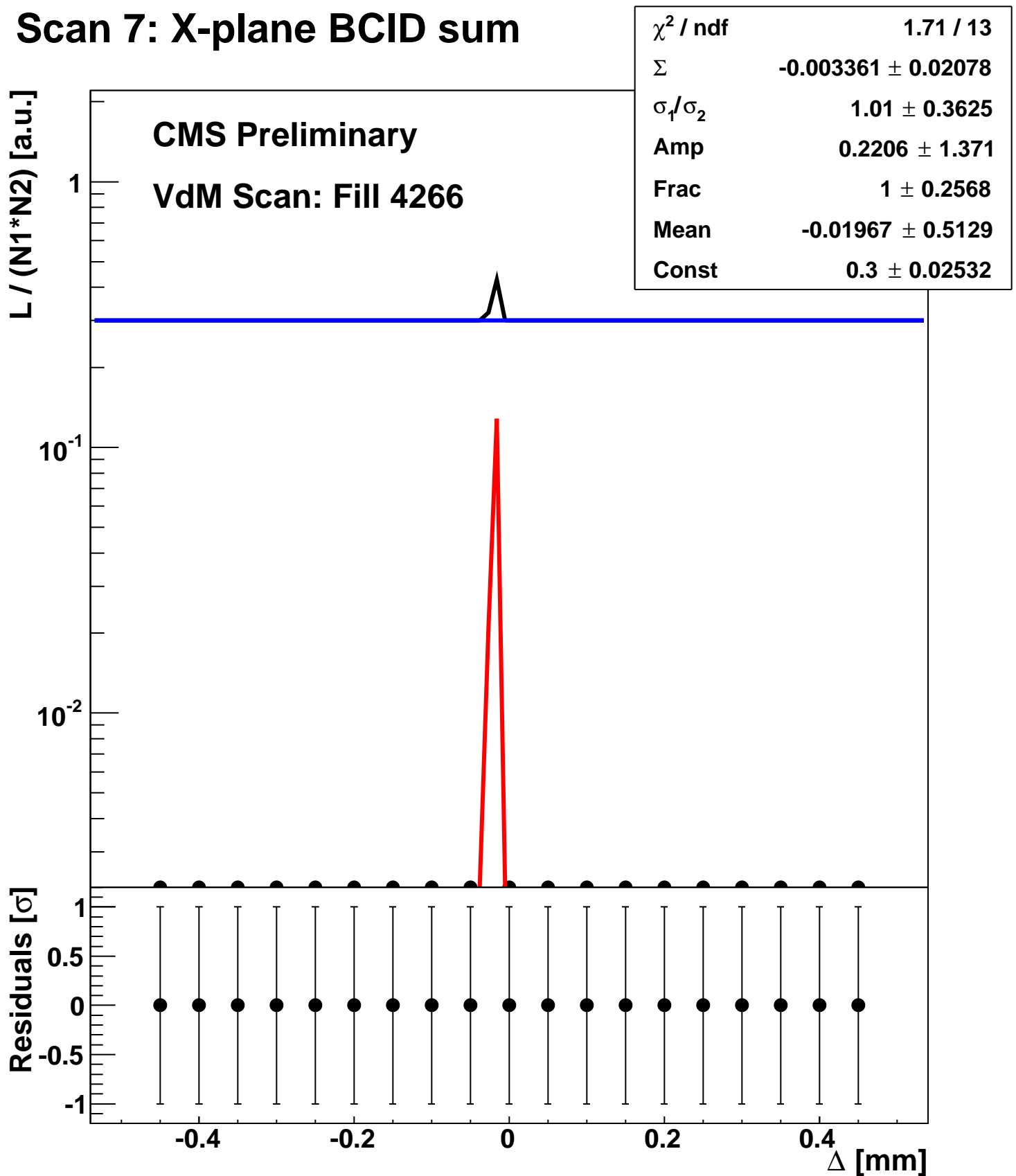
Scan 7: X-plane BCID 51



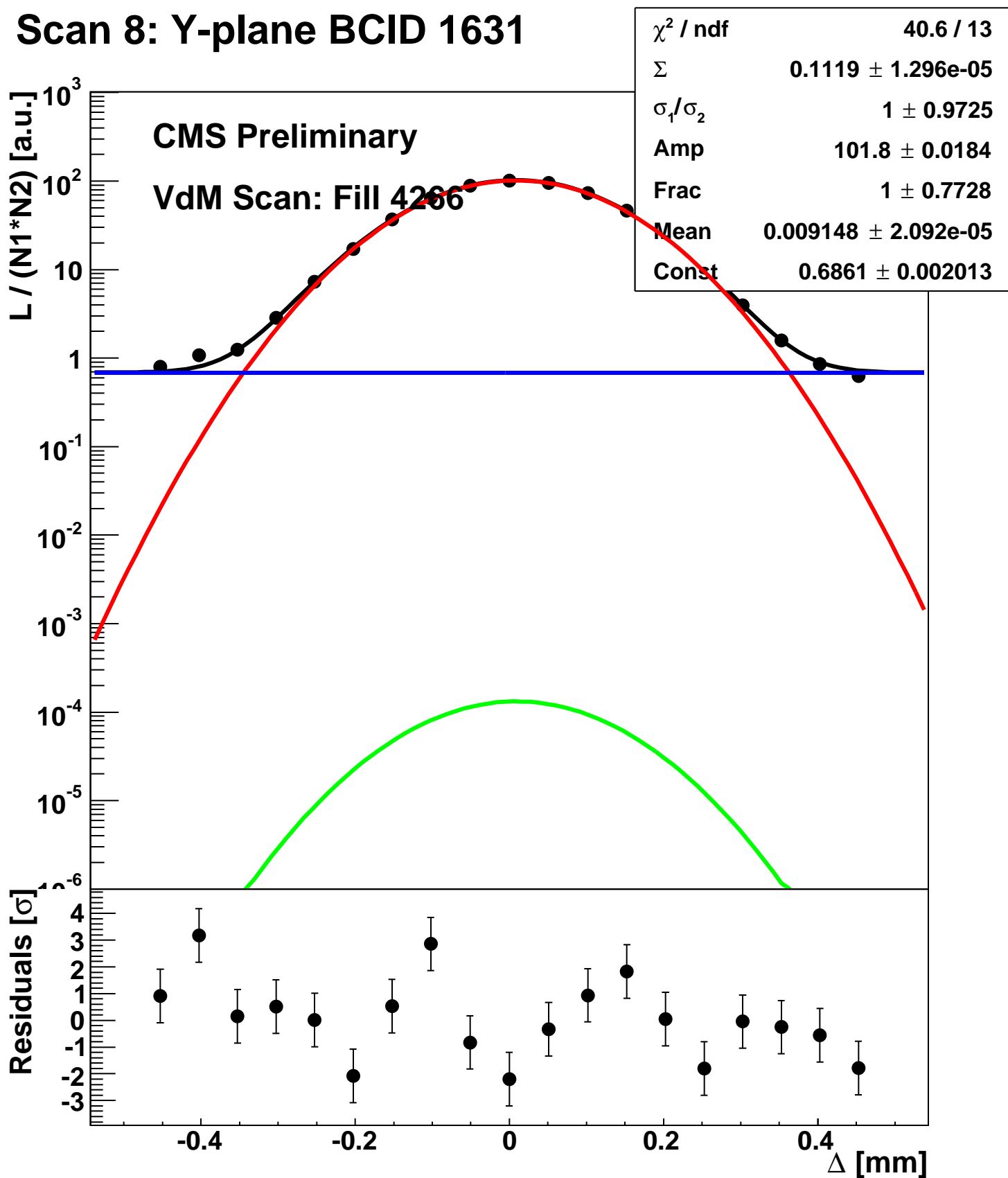
Scan 7: X-plane BCID 771



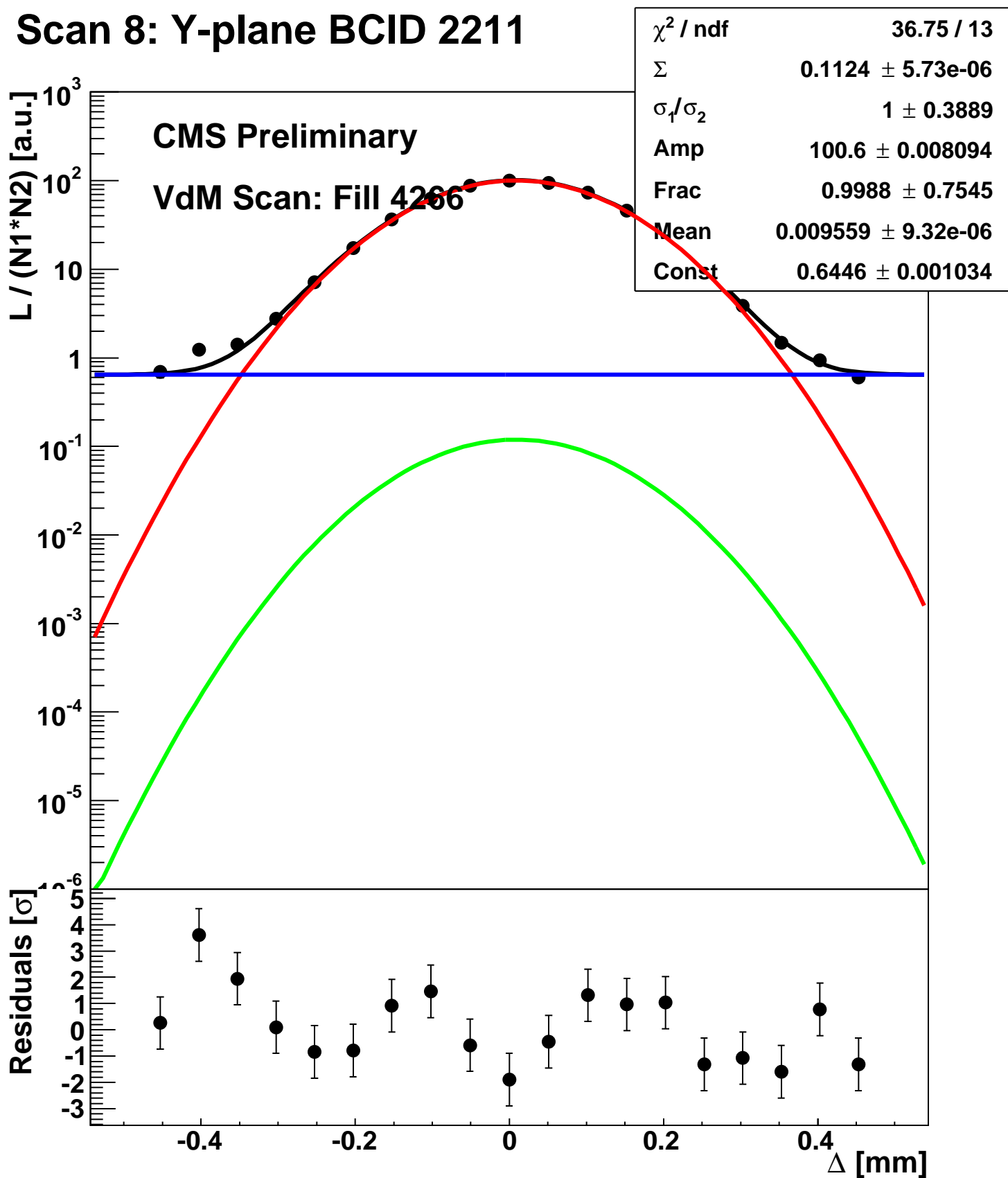
Scan 7: X-plane BCID sum



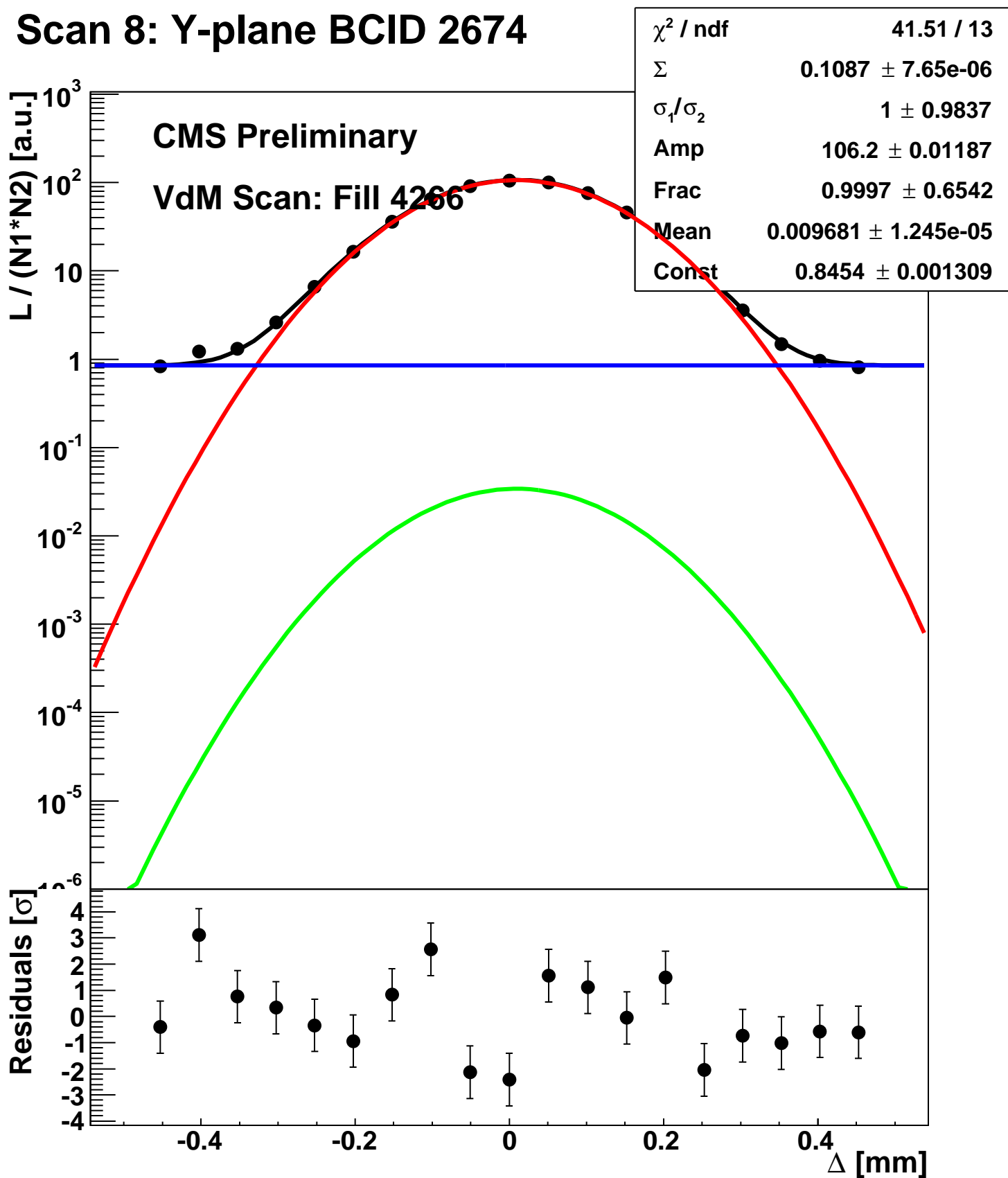
Scan 8: Y-plane BCID 1631



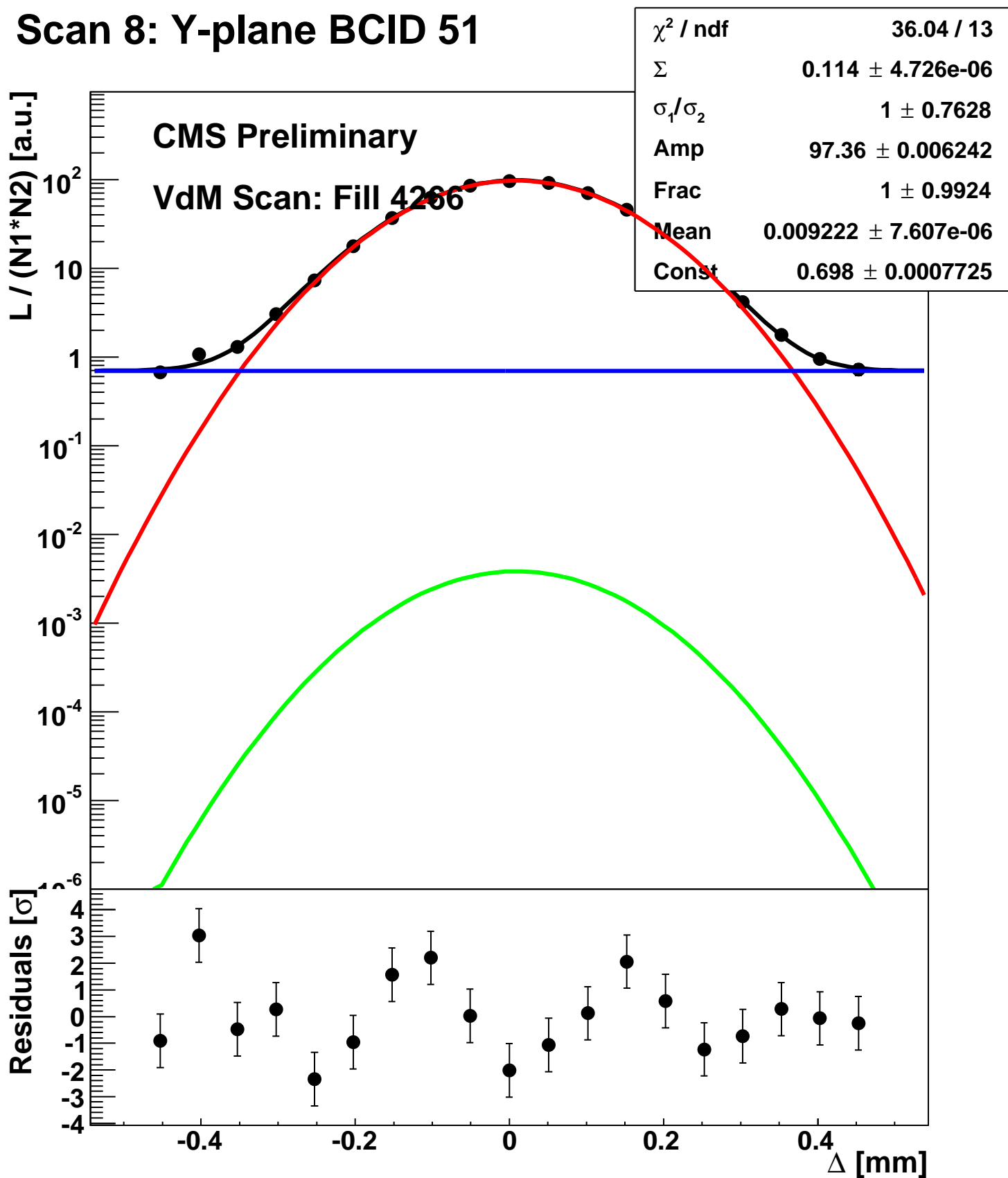
Scan 8: Y-plane BCID 2211



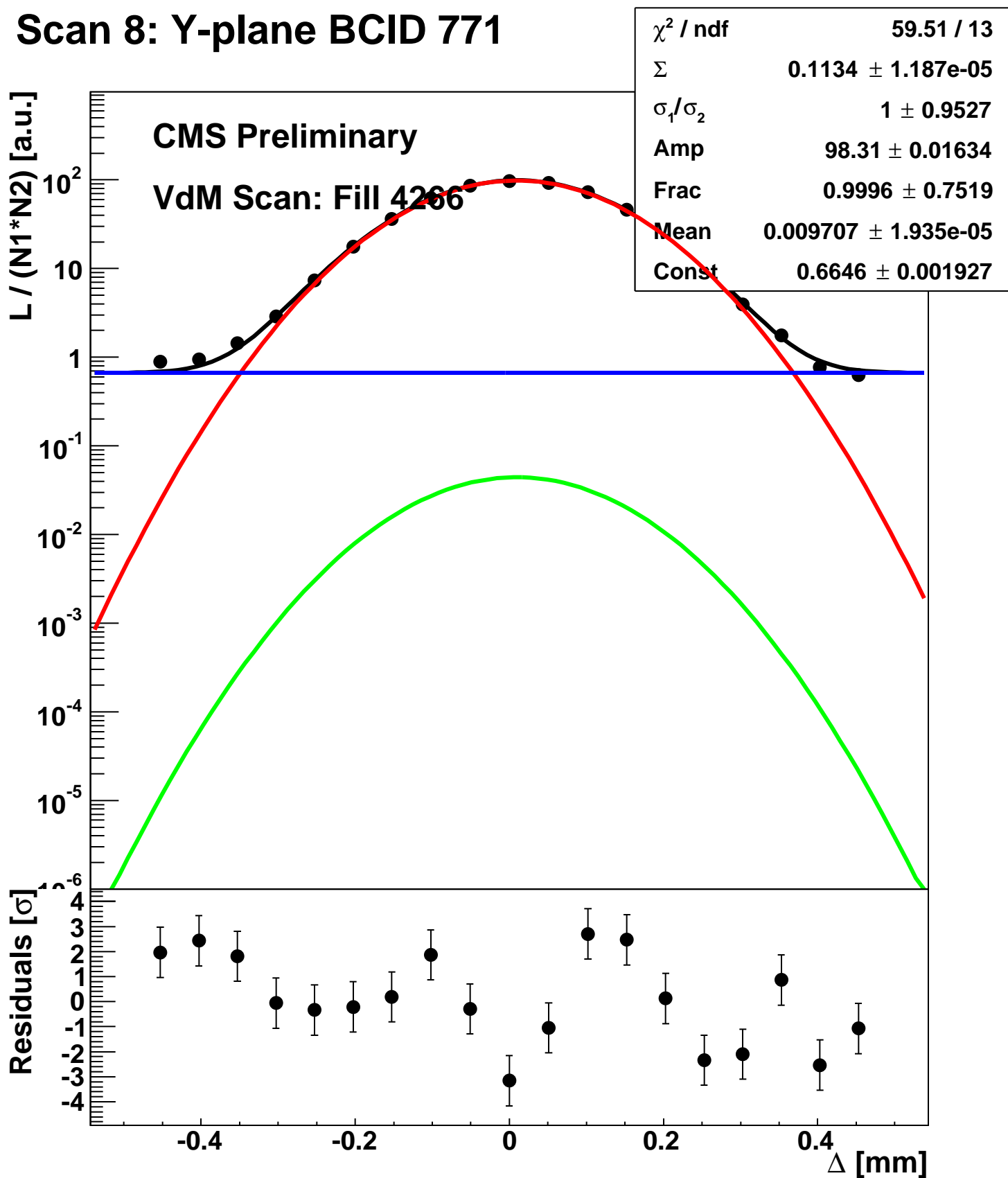
Scan 8: Y-plane BCID 2674



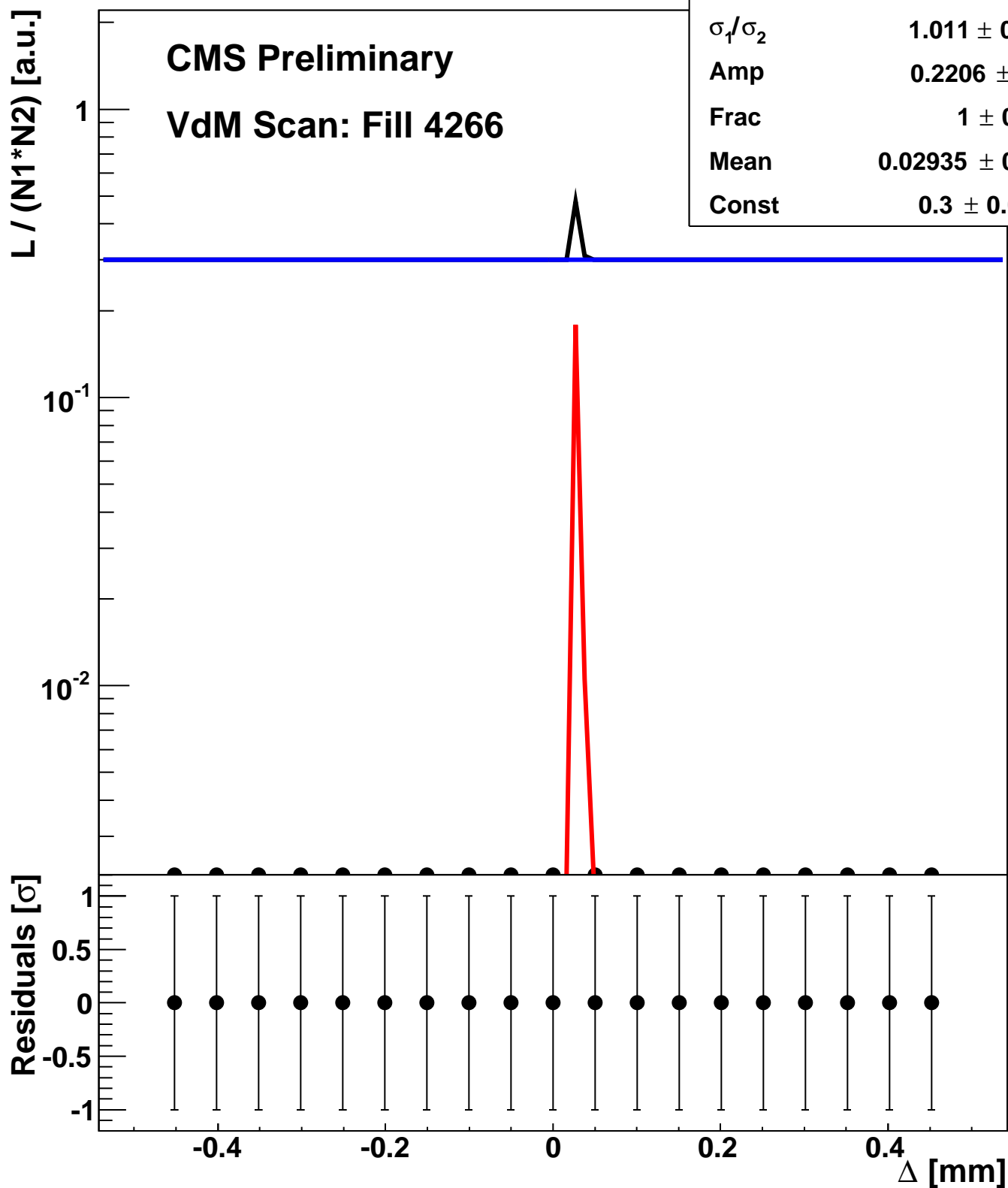
Scan 8: Y-plane BCID 51



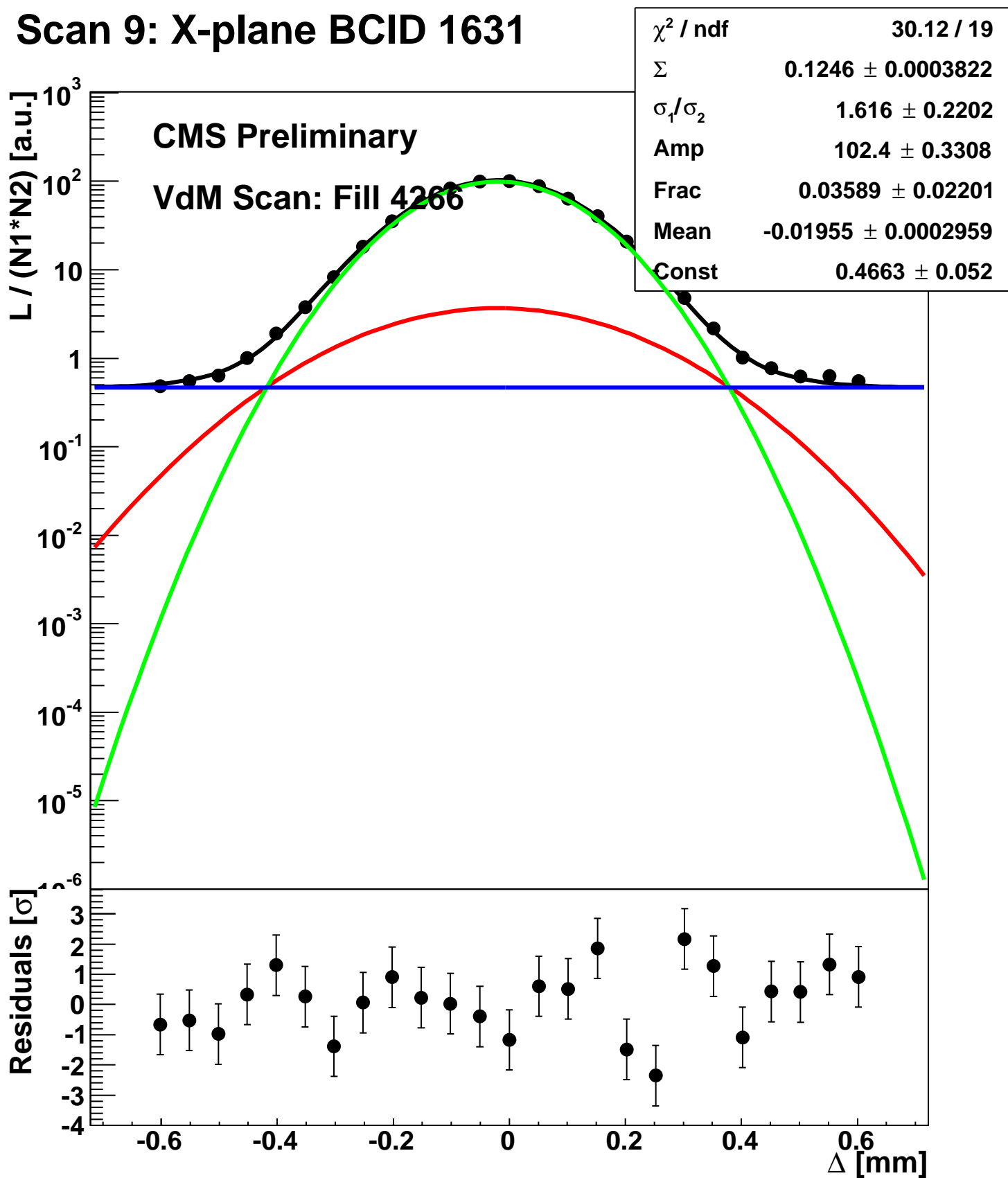
Scan 8: Y-plane BCID 771



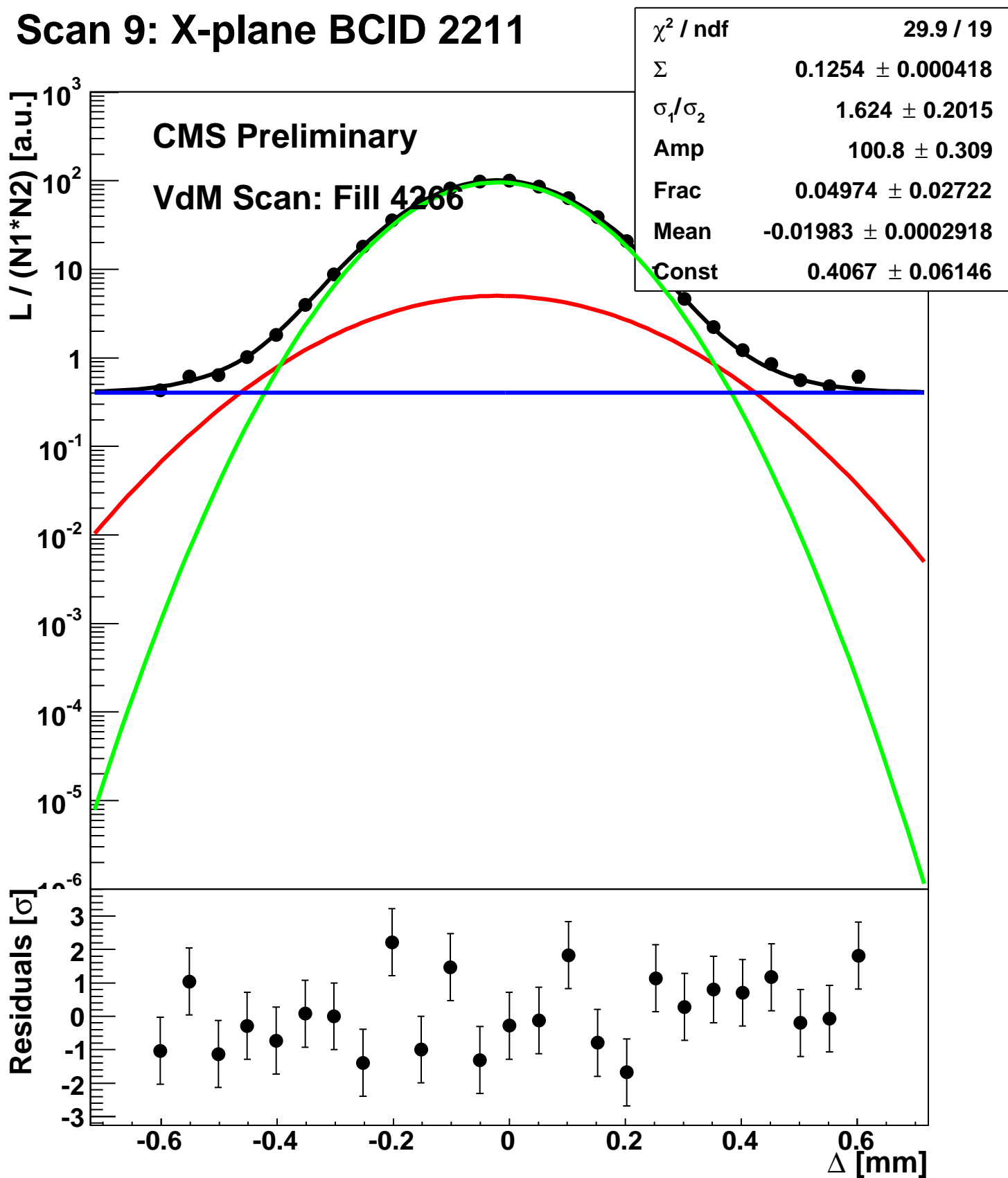
Scan 8: Y-plane BCID sum



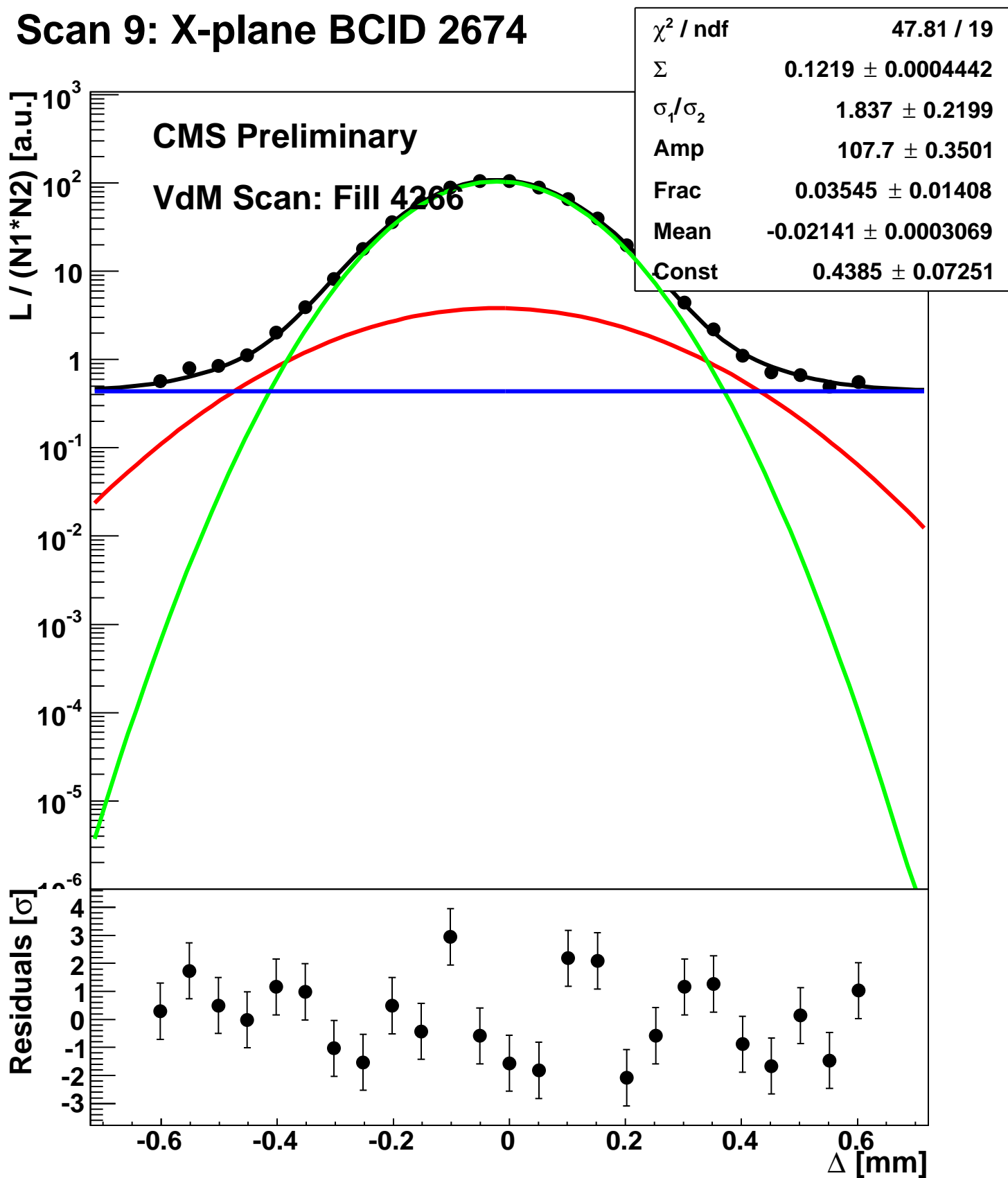
Scan 9: X-plane BCID 1631



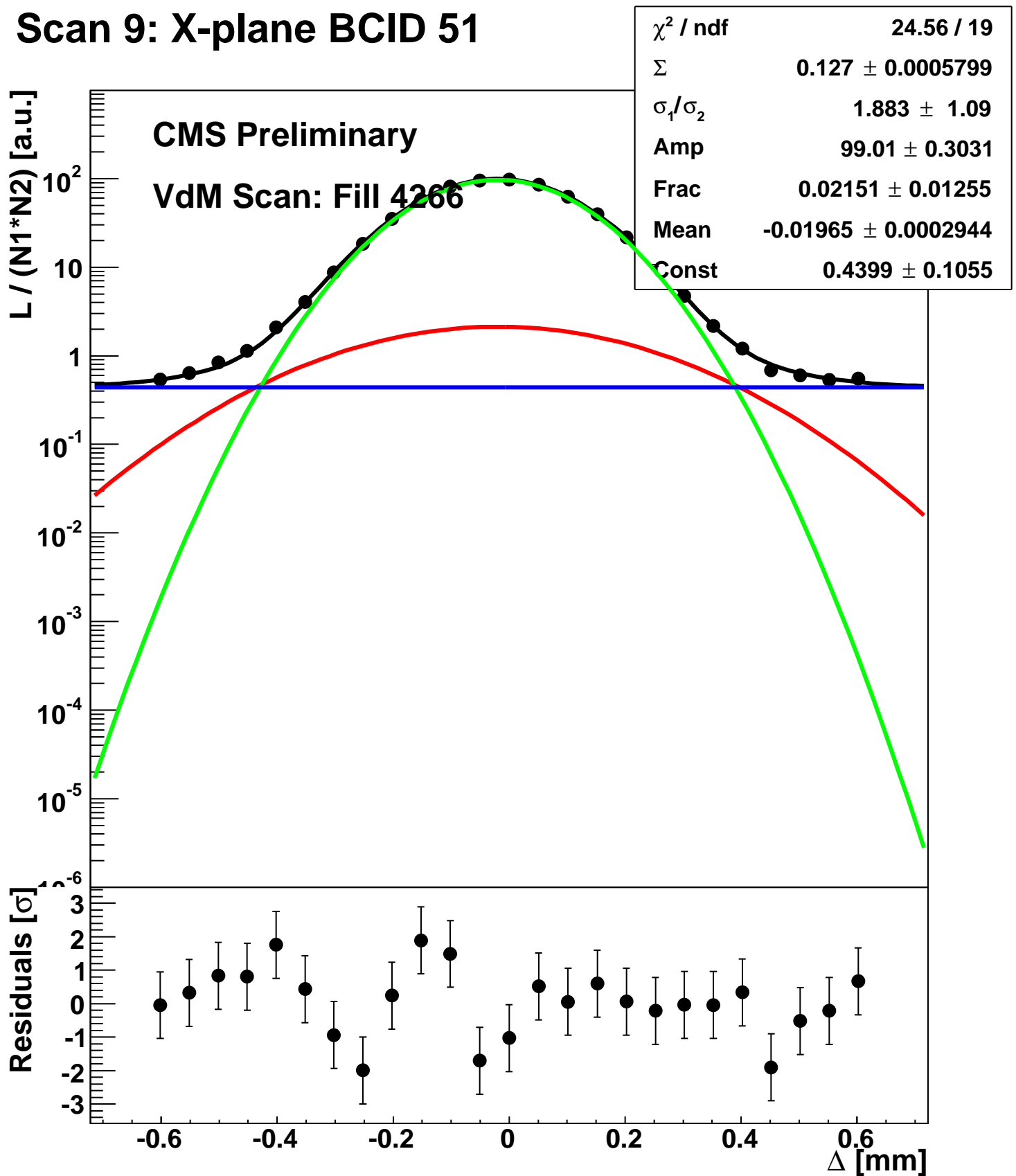
Scan 9: X-plane BCID 2211



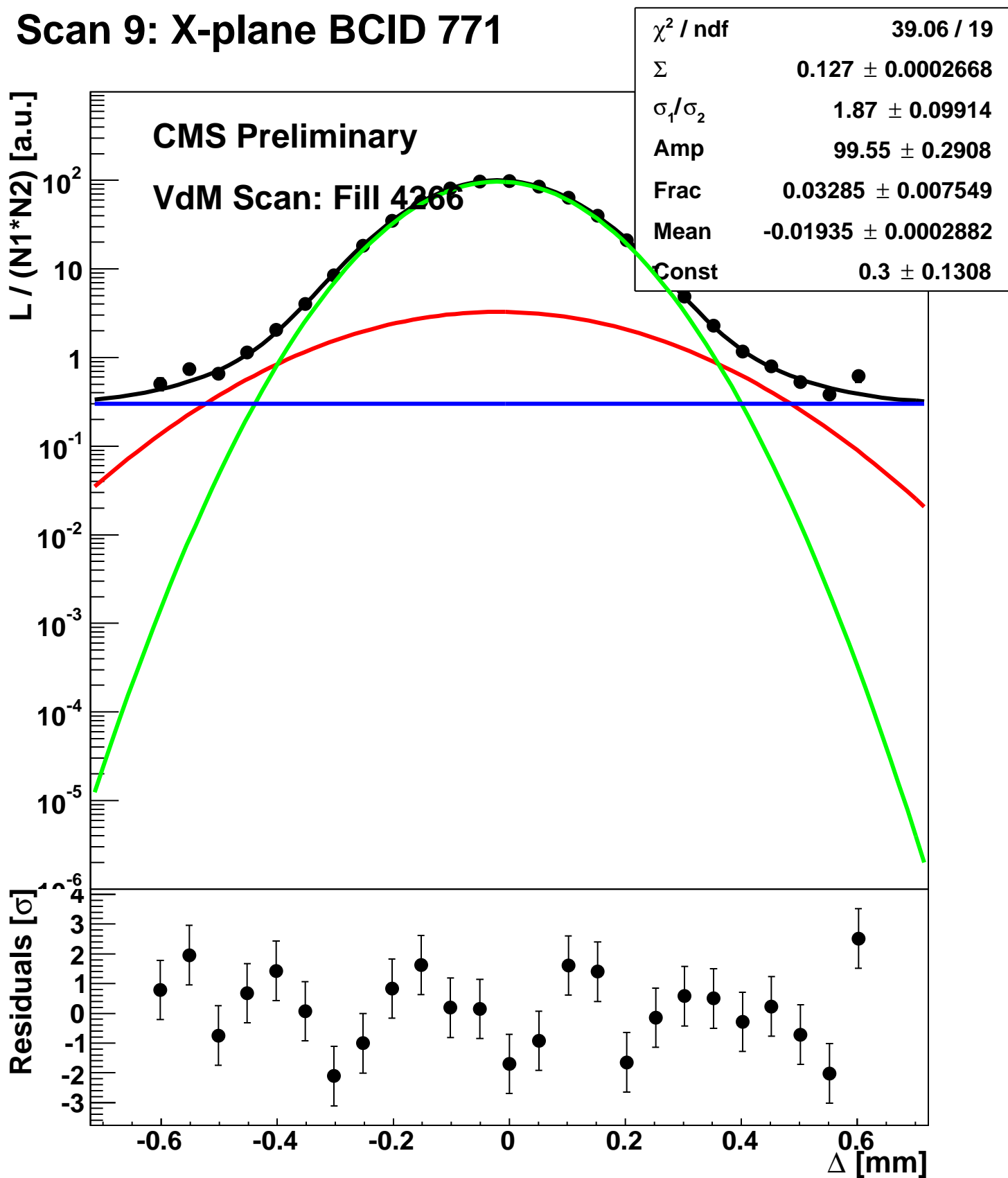
Scan 9: X-plane BCID 2674



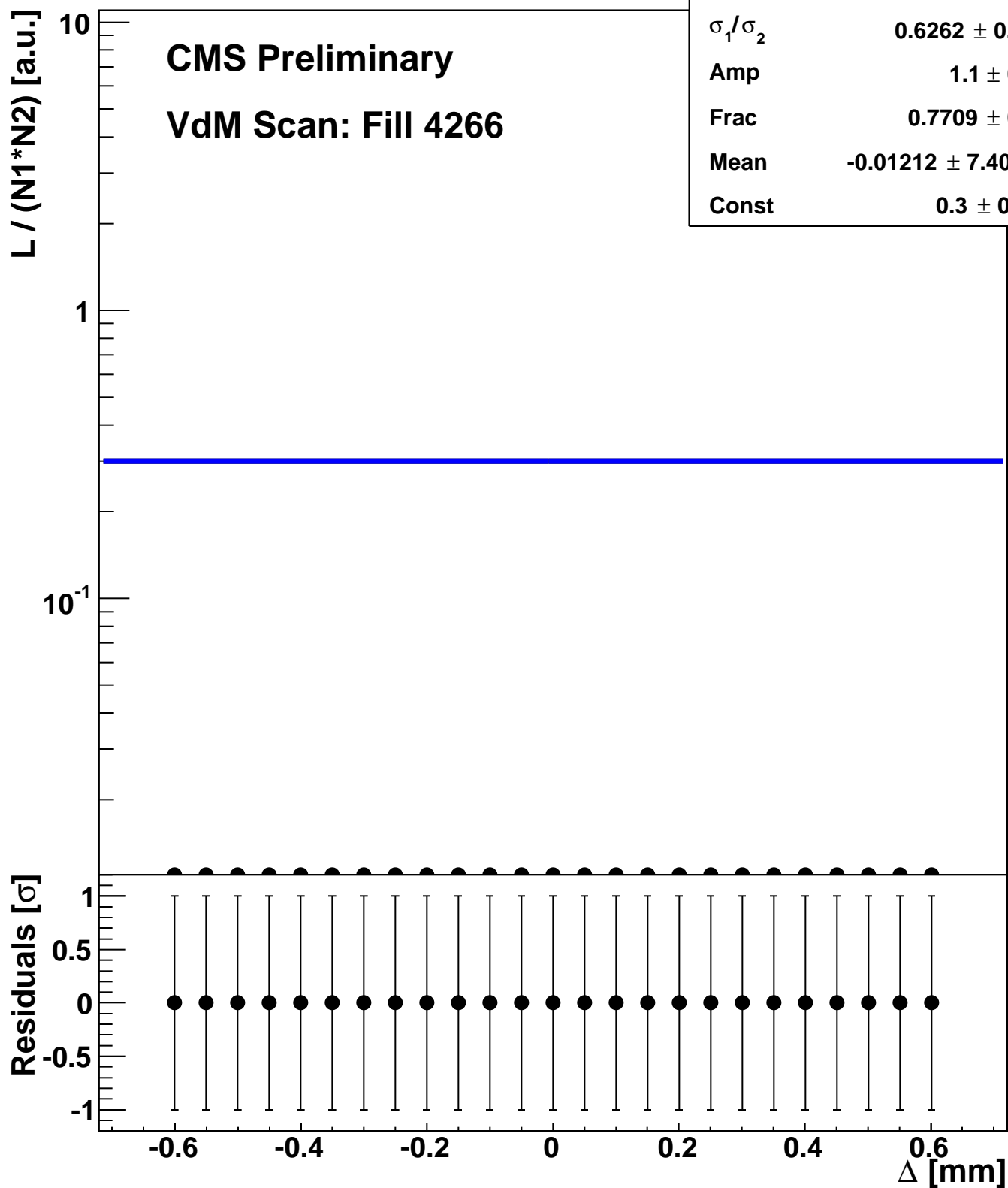
Scan 9: X-plane BCID 51



Scan 9: X-plane BCID 771



Scan 9: X-plane BCID sum



χ^2 / ndf	2.25 / 19
Σ	-0.0004097 ± 0.005027
σ_1 / σ_2	0.6262 ± 0.09913
Amp	1.1 ± 0.9873
Frac	0.7709 ± 0.2828
Mean	$-0.01212 \pm 7.405\text{e}+04$
Const	0.3 ± 0.02231